

# **BASt FE 86.0096/2014**

## **Brandüberschlag in Straßentunneln**

### **Anlage A2: Rechteck Neigung Richtungsverkehr 300 kg/s owF**

Bauherr: **BASt**  
Brüderstraße 53  
51427 Bergisch Gladbach

Auftraggeber: **BASt**  
Brüderstraße 53  
51427 Bergisch Gladbach

Auftrag Nr.: 6.1/14-011

Berechnete Bauteile:

Gesamtumfang: 75 Seiten

Aufgestellt:	Dr.-Ing. habil. Jörg Schmidt Dr. rer. nat. Peter Simon Dipl.-Ing. (BA) Tom Guder	10/2014
--------------	----------------------------------------------------------------------------------------	---------

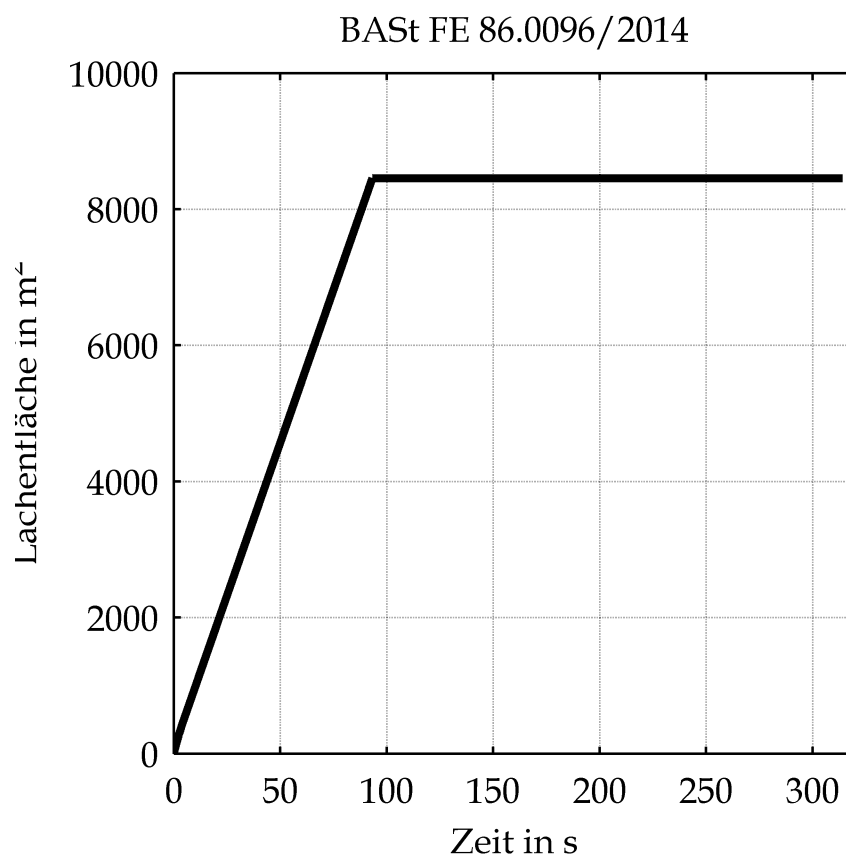
Intern geprüft:	Prof. Dr.-Ing. Frank Dehn
-----------------	---------------------------

Raum für Prüfeintragungen:

## I Gesamtinhaltsverzeichnis

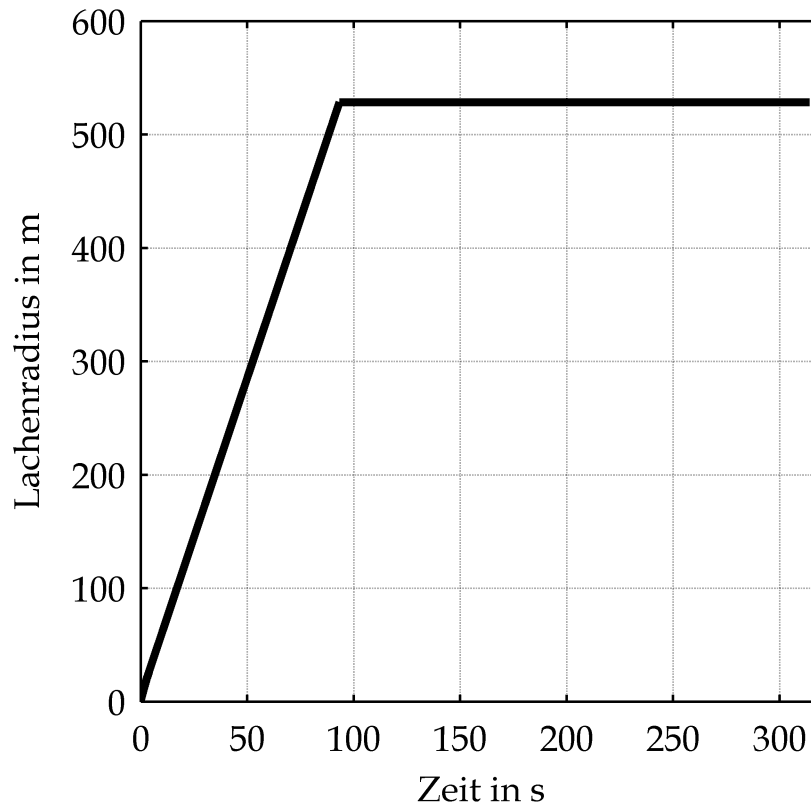
<b>II</b>	<b>Ermittlung der Lachengeometrie unter Berücksichtigung der Ventilation</b>	<b>2</b>
<b>III</b>	<b>Berechnungsergebnisse</b>	<b>14</b>
1	Energien und Bauteiltemperaturen . . . . .	14
2	Wärmestrahlung an der Tunneldecke . . . . .	22
3	Gastemperaturen . . . . .	28
4	Gasgeschwindigkeiten . . . . .	34
5	Sauerstoffgehalt . . . . .	40
6	Kohlendioxidgehalt . . . . .	46
7	Kohlenmonoxidgehalt . . . . .	52
8	Optische Dichte . . . . .	58
9	Sichtweiten . . . . .	64
<b>IV</b>	<b>Bewerteter Temperatur-Zeit-Verlauf</b>	<b>70</b>
<b>V</b>	<b>Durchwärmungsverhalten</b>	<b>71</b>

## II Ermittlung der Lachengeometrie unter Berücksichtigung der Ventilation



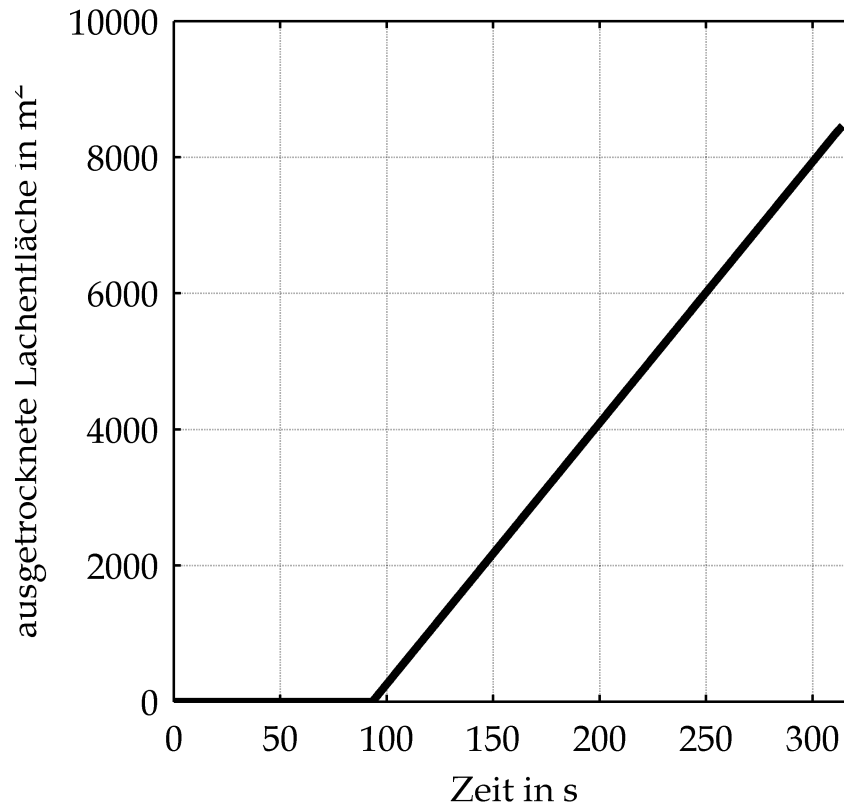
Fläche der Lache in Abhängigkeit von der Zeit

### BASt FE 86.0096/2014



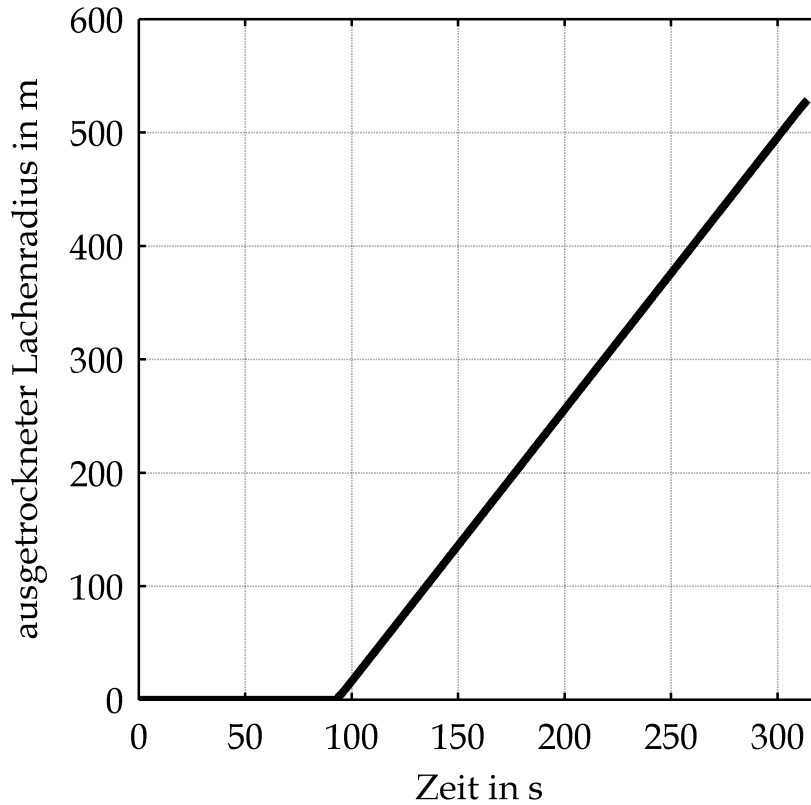
Radius der Lache in Abhängigkeit von der Zeit

### BAST FE 86.0096/2014

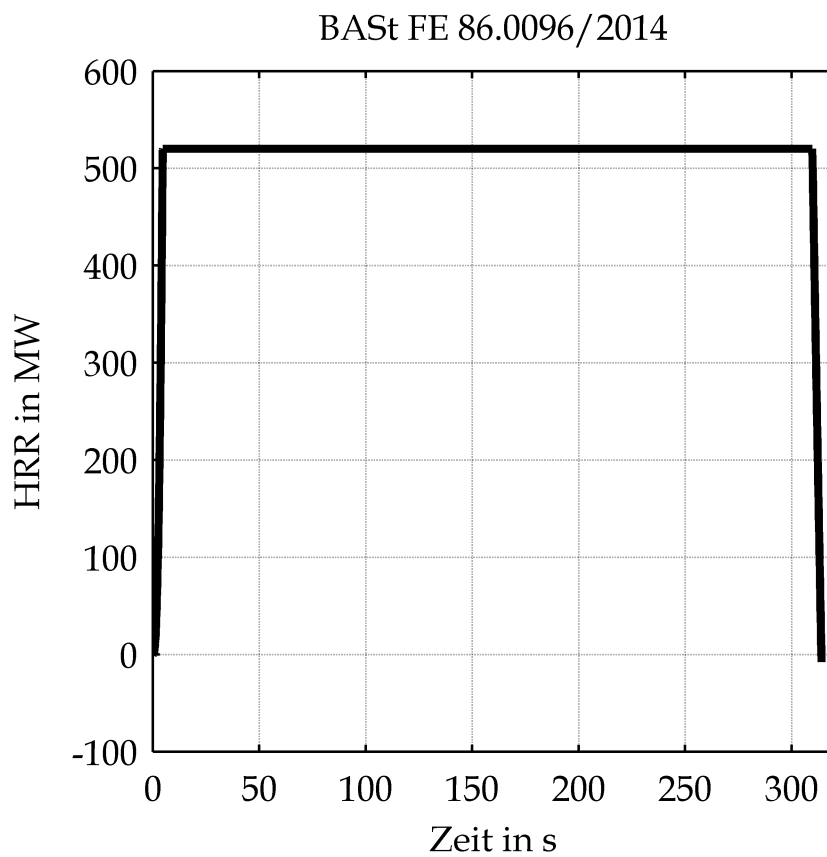


Fläche der ausgetrockneten Lache in Abhängigkeit von der Zeit

### BASt FE 86.0096/2014

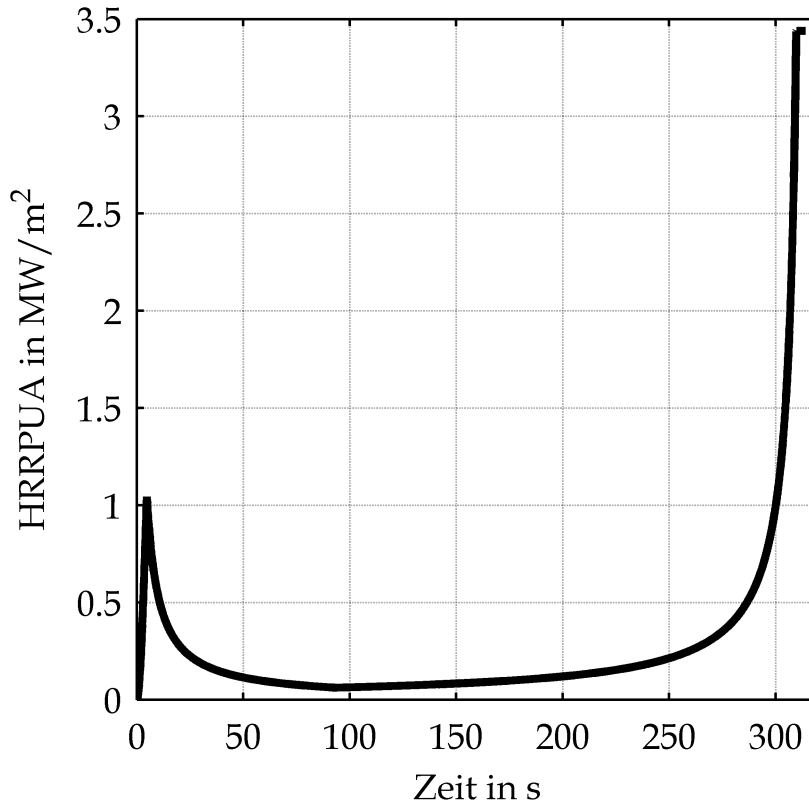


Radius der ausgetrockneten Lache in Abhängigkeit von der Zeit



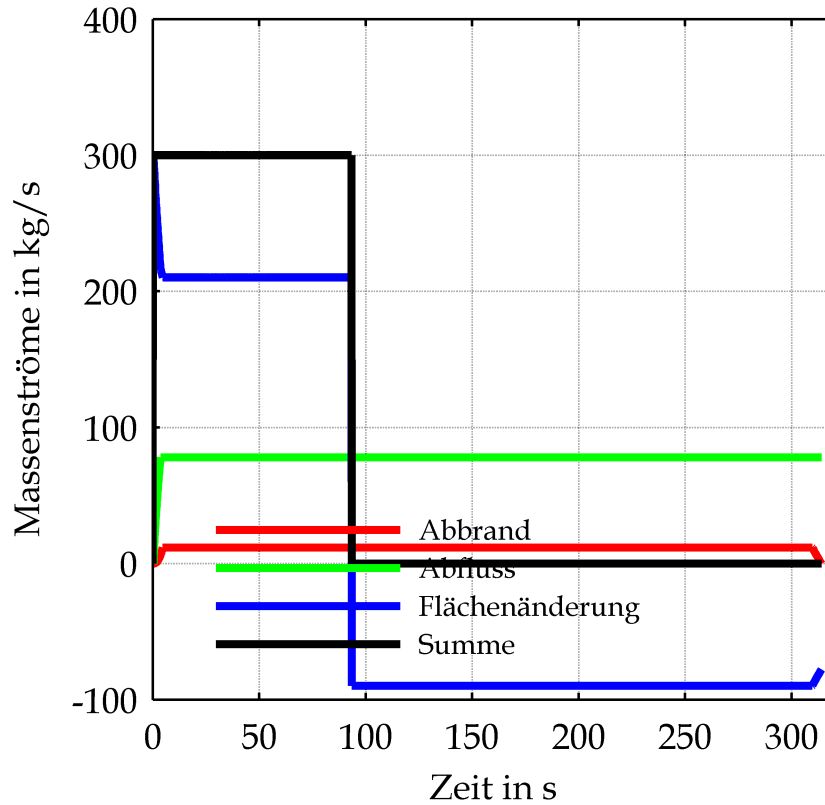
Wärmefreisetzungsrate (HRR) in Abhängigkeit von der Zeit

BASSt FE 86.0096/2014



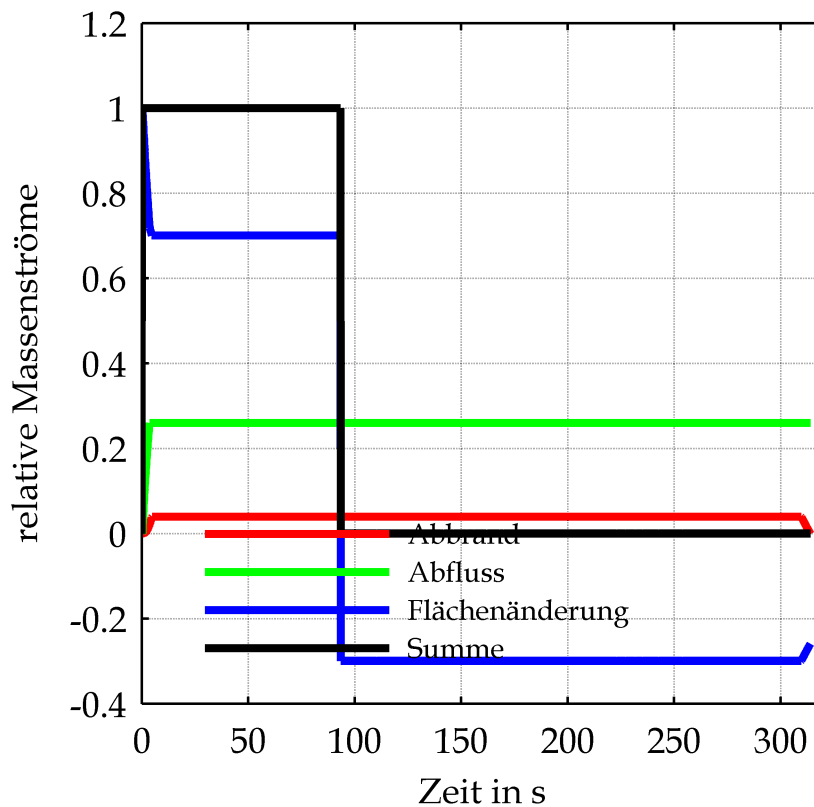
Wärmefreisetzungsrate pro Flächeneinheit (HRRPUA)  
in Abhängigkeit von der Zeit

### BASSt FE 86.0096/2014



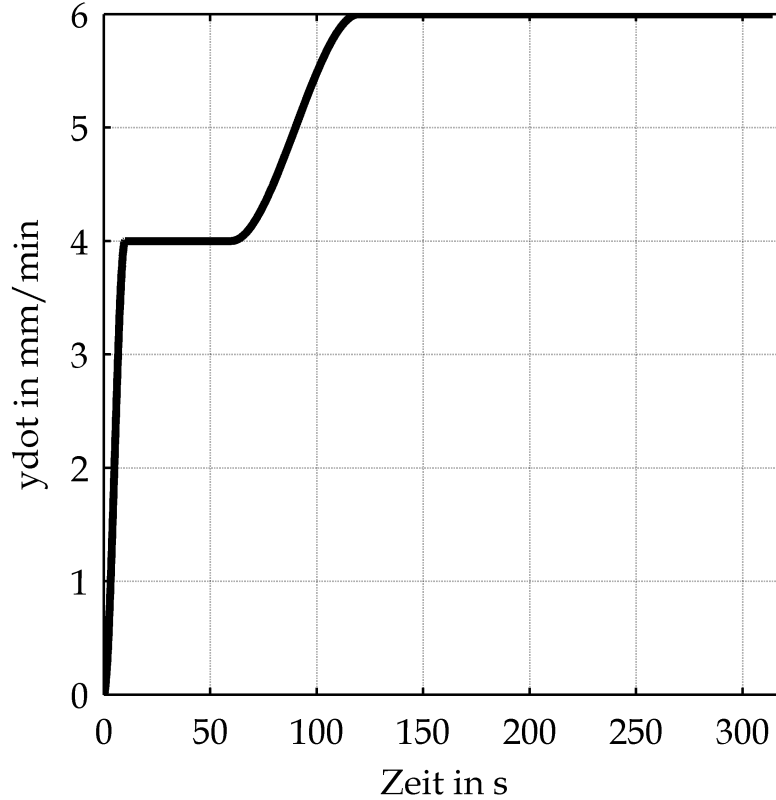
Gesamtübersicht der Massenströme in Abhängigkeit von der Zeit

### BASSt FE 86.0096/2014



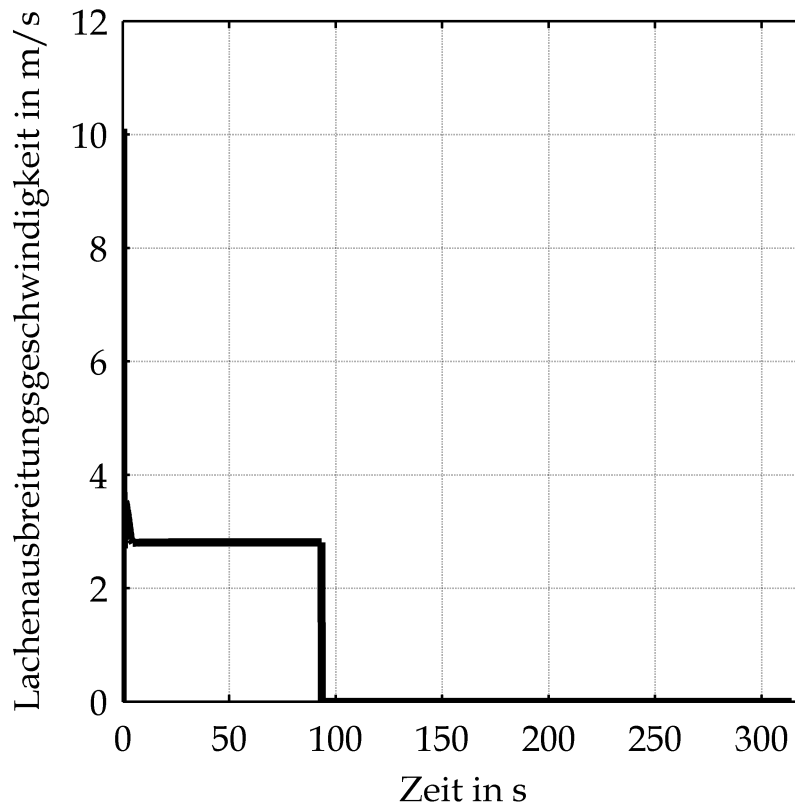
Gesamtübersicht der auf die austretende Flüssigkeit bezogenen Massenströme in Abhängigkeit von der Zeit

BAST FE 86.0096/2014

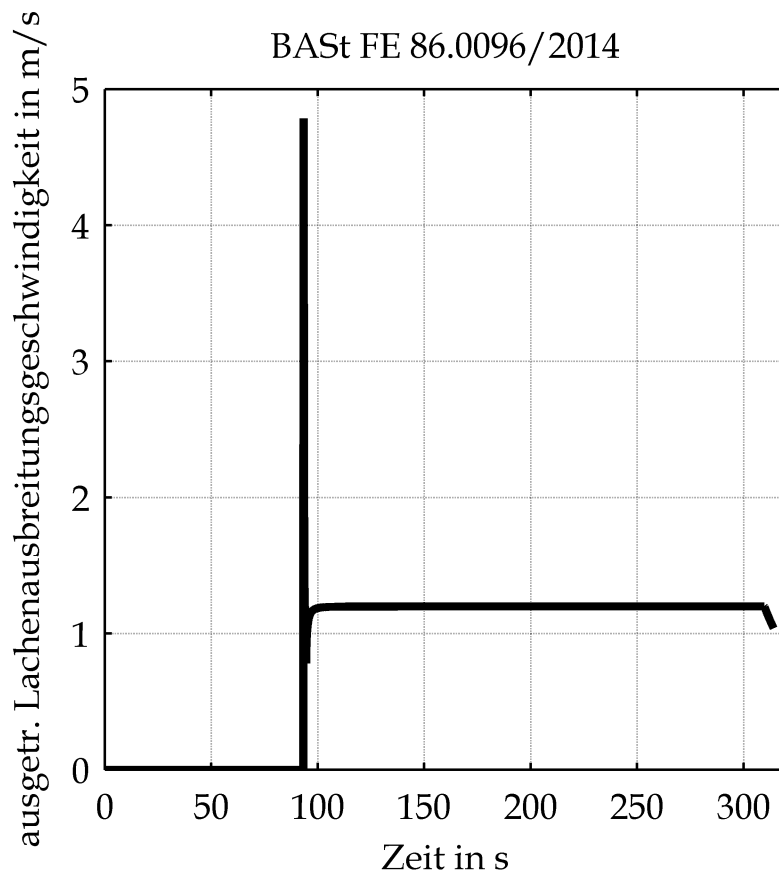


Vorgegebene Abbrandgeschwindigkeit in Abhängigkeit von der Zeit

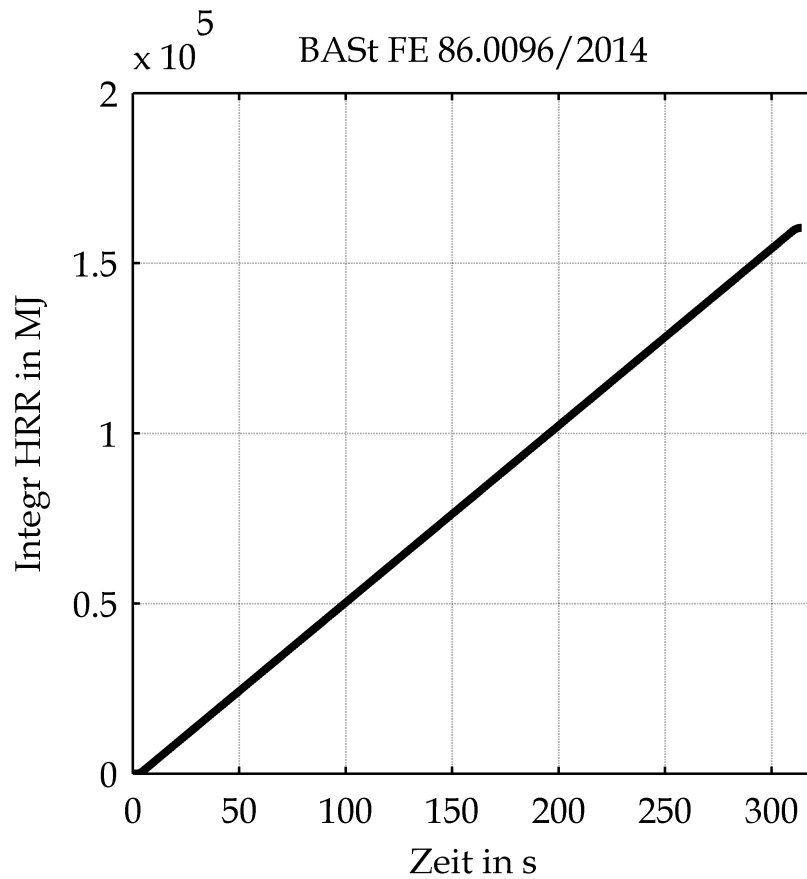
### BASt FE 86.0096/2014



Ausbreitungsgeschwindigkeit der Lache in Abhängigkeit von der Zeit



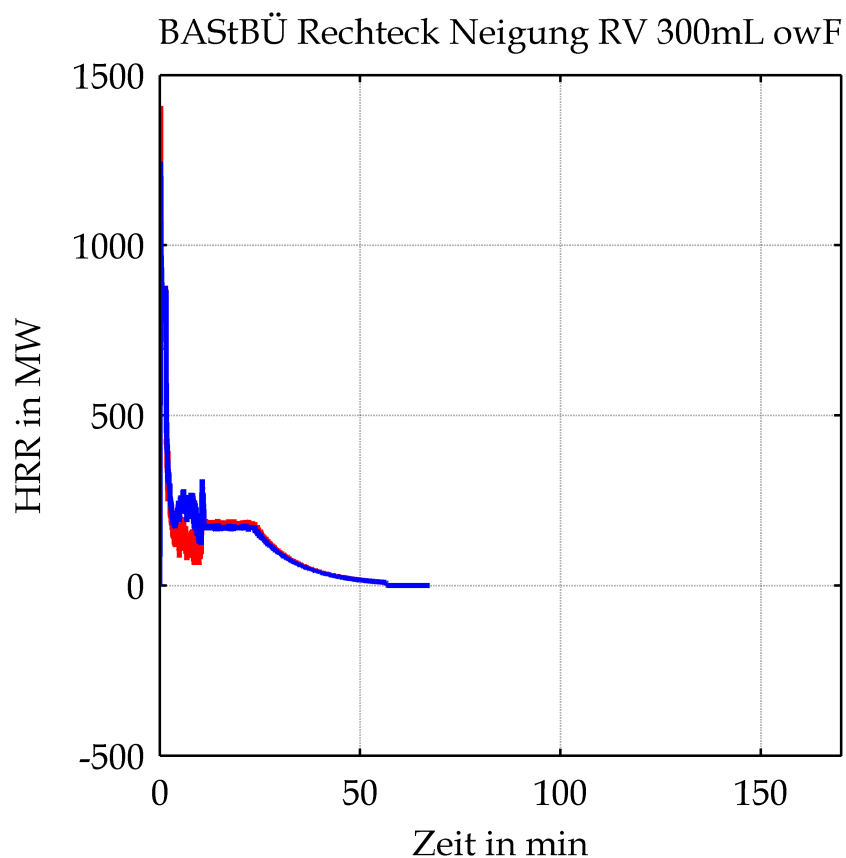
Austrocknungsgeschwindigkeit der Lache in  
Abhängigkeit von der Zeit



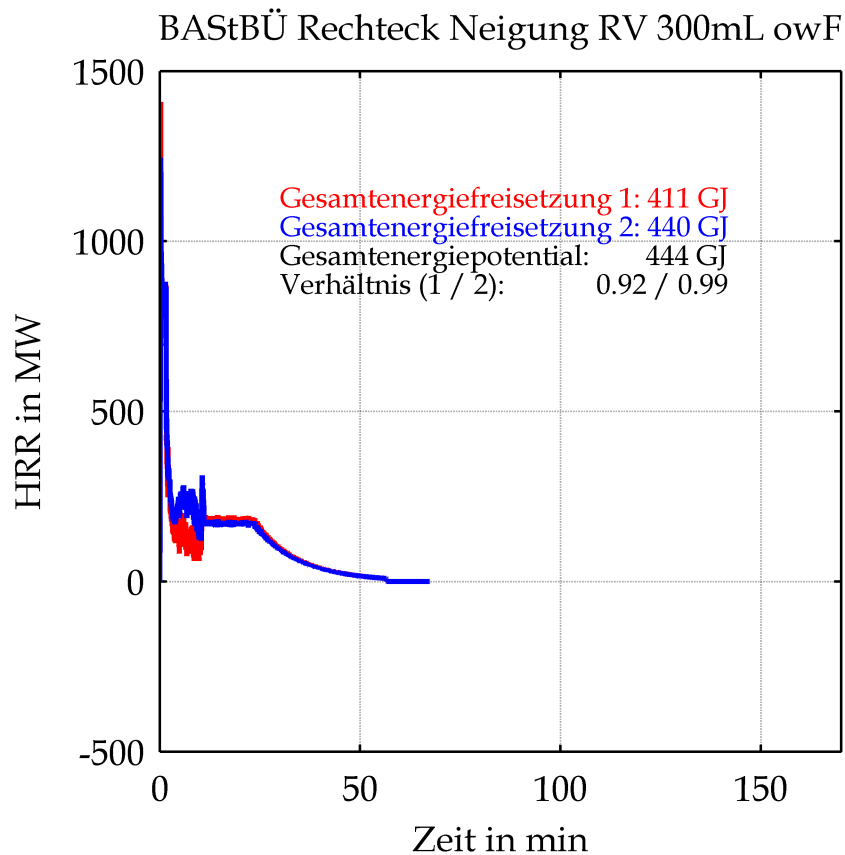
Freigesetzte Gesamtenergie in Abhängigkeit von der  
Zeit

### III Berechnungsergebnisse

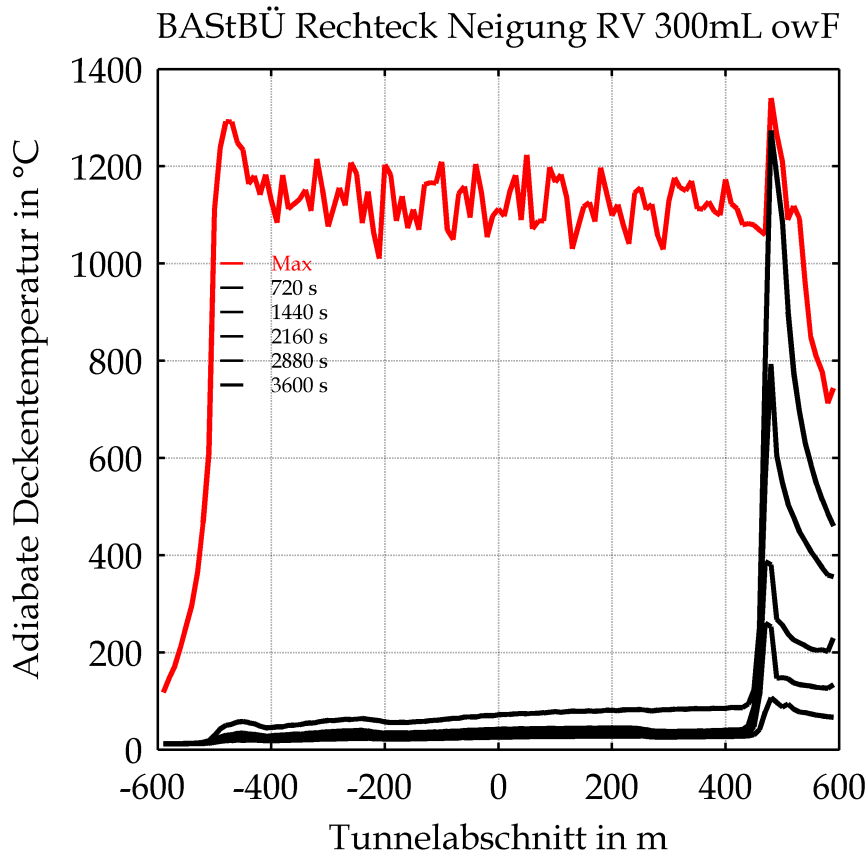
#### 1 Energien und Bauteiltemperaturen



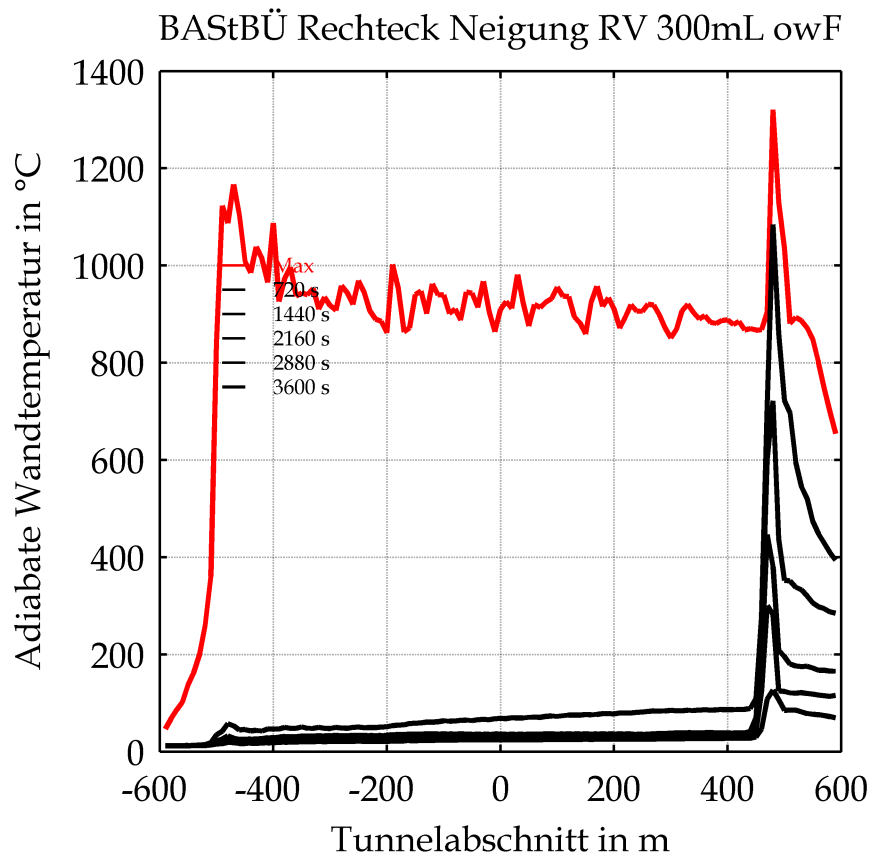
Mittels CFD-Berechnung ermittelte Wärmefreisetzungsrate in Abhängigkeit von der Zeit unter Berücksichtigung der Ventilationsbedingungen bzw. der Sauerstoffversorgung (rot: Integral der Energiedichte; blau: Energieverluste an den Modellgrenzen)



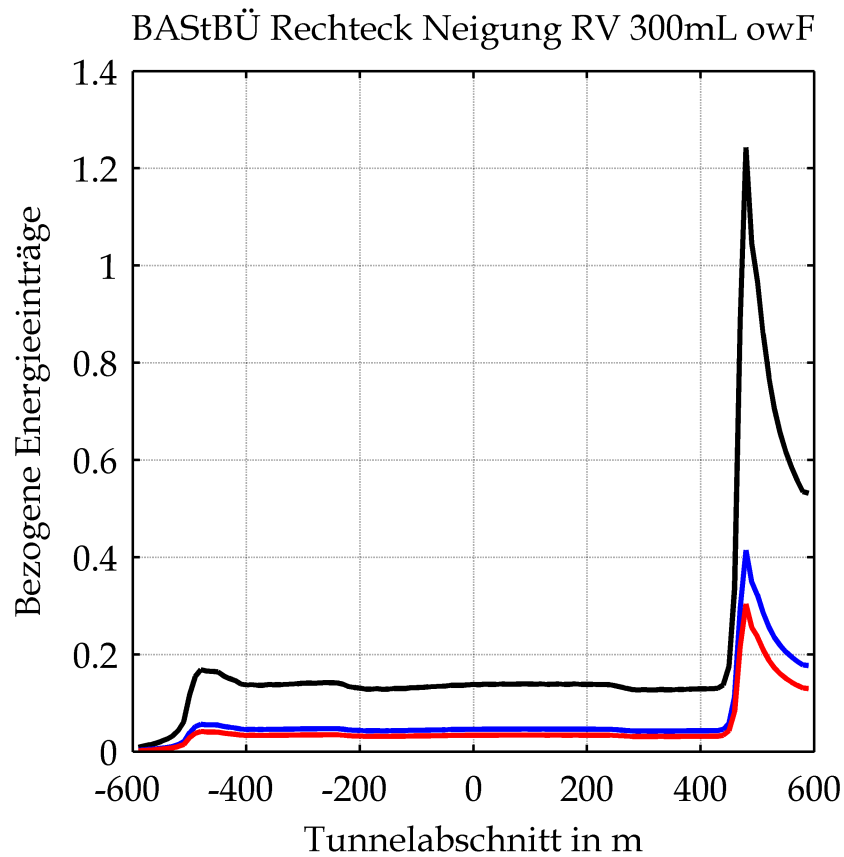
Mittels CFD-Berechnung ermittelte Wärmefreisetzungsrate in Abhängigkeit von der Zeit unter Berücksichtigung der Ventilationsbedingungen bzw. der Sauerstoffversorgung (rot: Integral der Energiedichte; blau: Energieverluste an den Modellgrenzen) sowie Vergleich der Gesamtenergiefreisetzung mit dem Gesamtenergiepotential



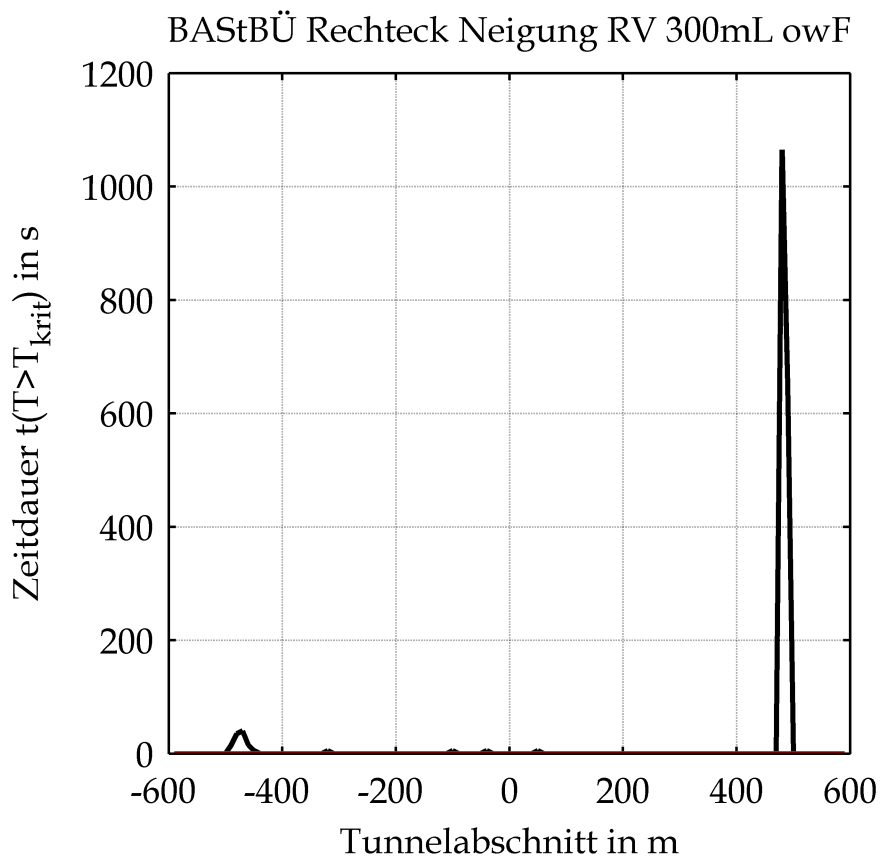
Mittels CFD-Berechnung ermittelte adiabate Deckentemperaturen in Abhängigkeit von der Zeit unter Berücksichtigung der Ventilationsbedingungen bzw. der Sauerstoffversorgung (rot: Maximalwerte, schwarz: Temperaturen in Abhängigkeit von der Einwirkungsdauer)



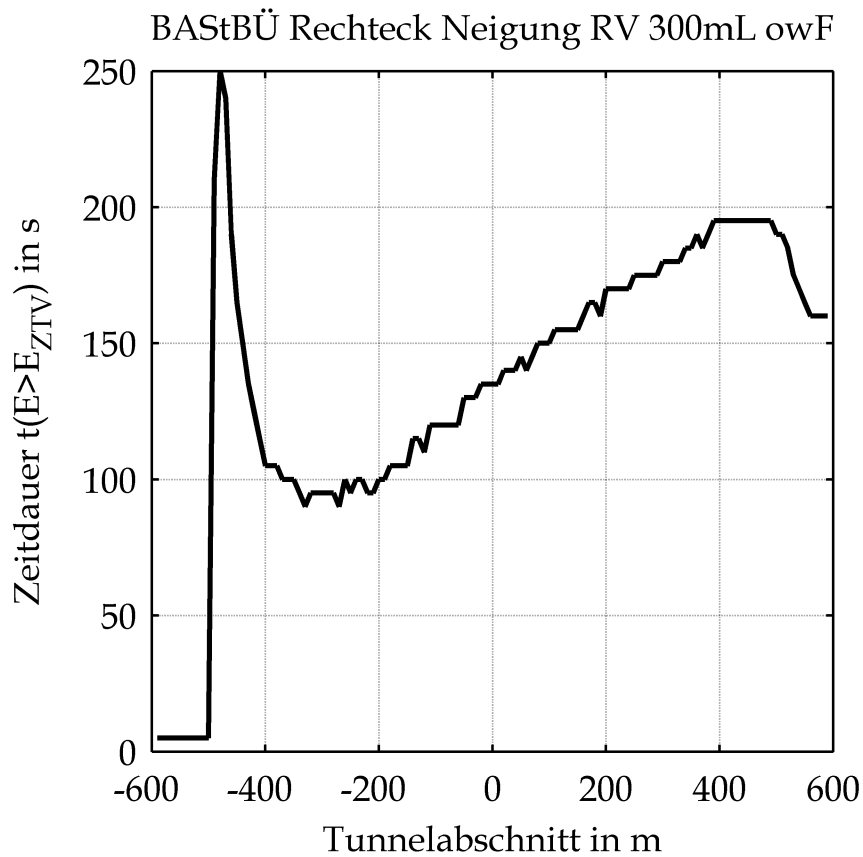
Mittels CFD-Berechnung ermittelte adiabate Wandtemperaturen in 3 m Höhe in Abhängigkeit von der Zeit unter Berücksichtigung der Ventilationsbedingungen bzw. der Sauerstoffversorgung (rot: Maximalwerte, schwarz: Temperaturen in Abhängigkeit von der Einwirkungsdauer)



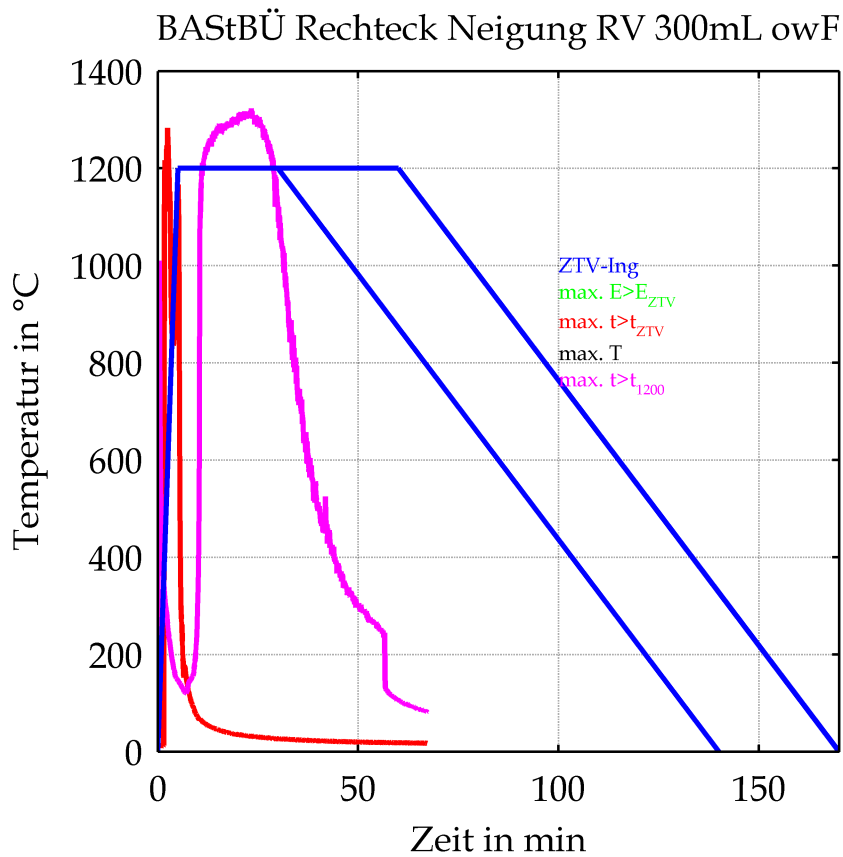
Mittels CFD-Berechnung ermittelte, auf den Energieeintrag der ZTV-ING-Temperatur-Zeit-Kurve bezogene Energieeinträge in Abhängigkeit von der Tunnellänge unter Berücksichtigung der Ventilationsbedingungen bzw. der Sauerstoffversorgung (blau: Basiswert ZTV-ING 150 min, schwarz: Basiswert ZTV-ING 30 min)



Mittels CFD-Berechnung ermittelte Zeitdauer der adiabaten Deckentemperatur größer 1200°C (schwarz) bzw. größer 1350°C (rot) in Abhängigkeit von der Tunnellänge unter Berücksichtigung der Ventilationsbedingungen bzw. der Sauerstoffversorgung



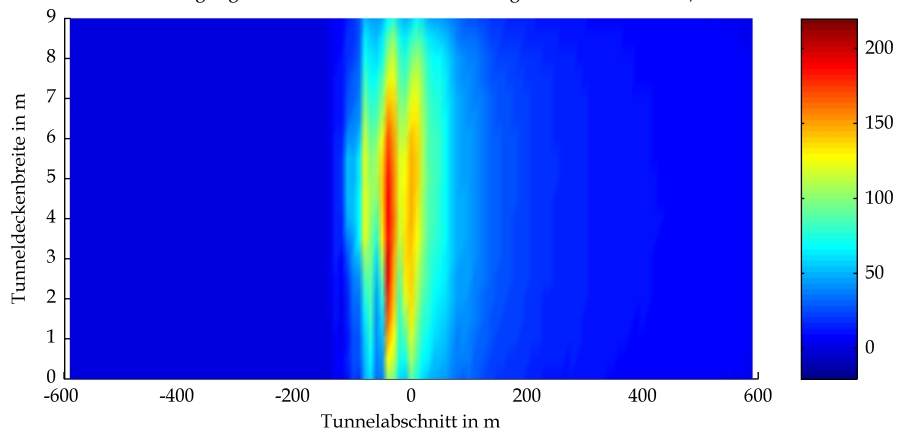
Mittels CFD-Berechnung ermittelte Zeitdauer mit im Vergleich zur ZTV-ING-Kurve höheren Energieeinträgen in die Tunneldecke in Abhängigkeit von der Tunnellänge unter Berücksichtigung der Ventilationsbedingungen bzw. der Sauerstoffversorgung



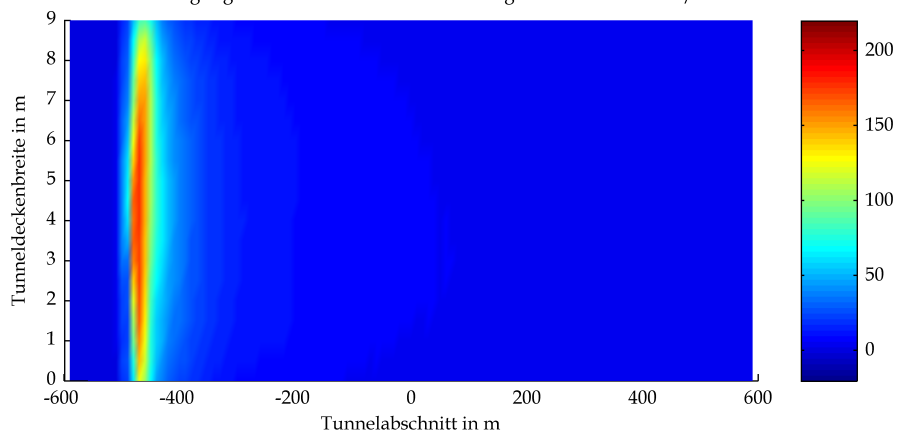
Mittels CFD-Berechnung ermittelte  
Temperatur-Zeit-Verläufe für die Maximalwerte der  
zuvor dargestellten Kriterien unter Berücksichtigung der  
Ventilationsbedingungen bzw. der Sauerstoffversorgung  
(blau: ZTV-ING-Temperatur-Zeit-Verlauf)

## 2 Wärmestrahlung an der Tunneldecke

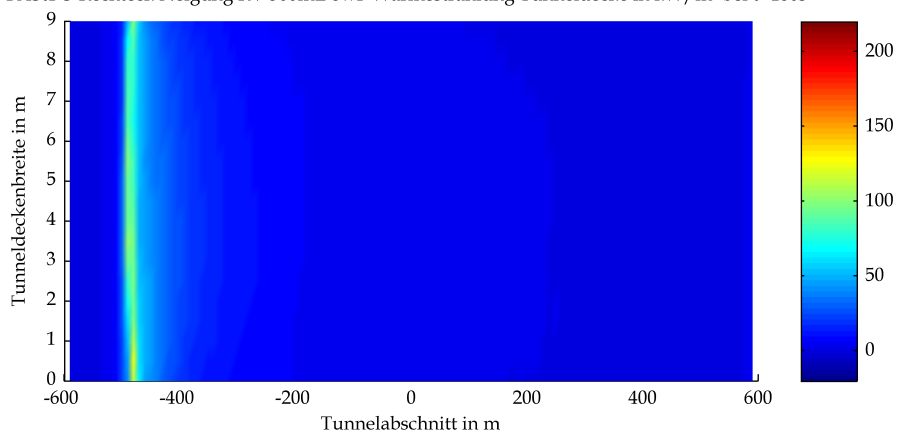
BAStBÜ Rechteck Neigung RV 300mL owF Wärmestrahlung Tunneldecke in kW/m<sup>2</sup> bei t=60s



BAStBÜ Rechteck Neigung RV 300mL owF Wärmestrahlung Tunneldecke in kW/m<sup>2</sup> bei t=120s

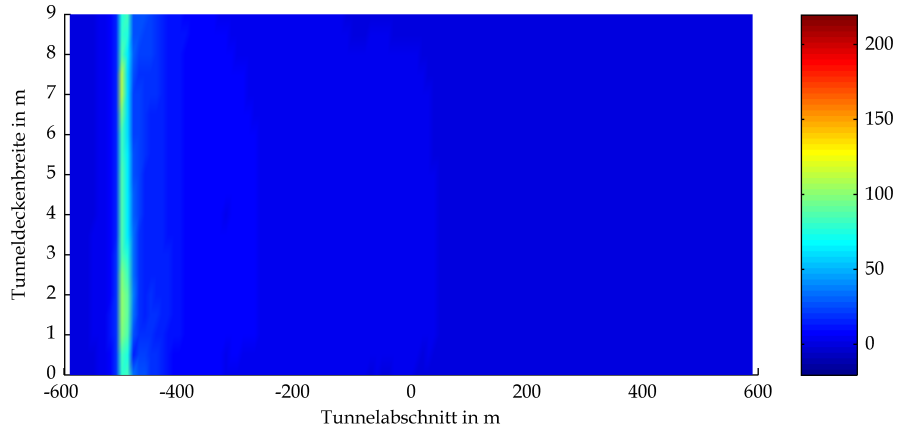


BAStBÜ Rechteck Neigung RV 300mL owF Wärmestrahlung Tunneldecke in kW/m<sup>2</sup> bei t=180s

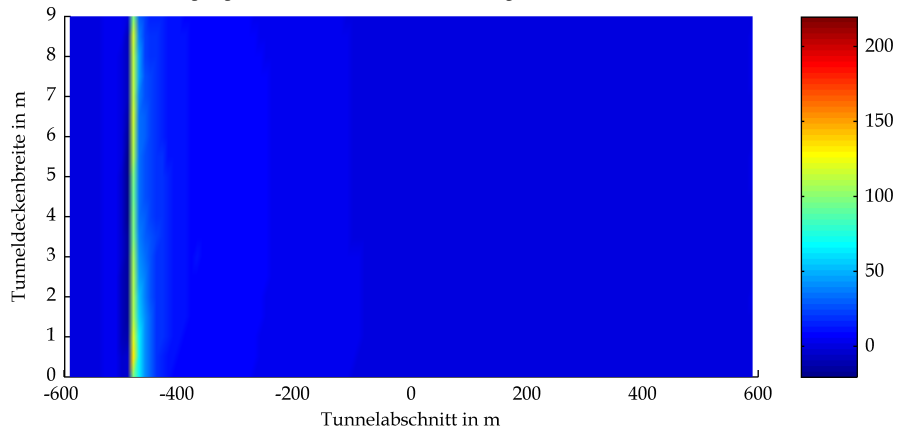


Mittels CFD-Berechnung ermittelte Strahlungswärme an der Tunneldecke

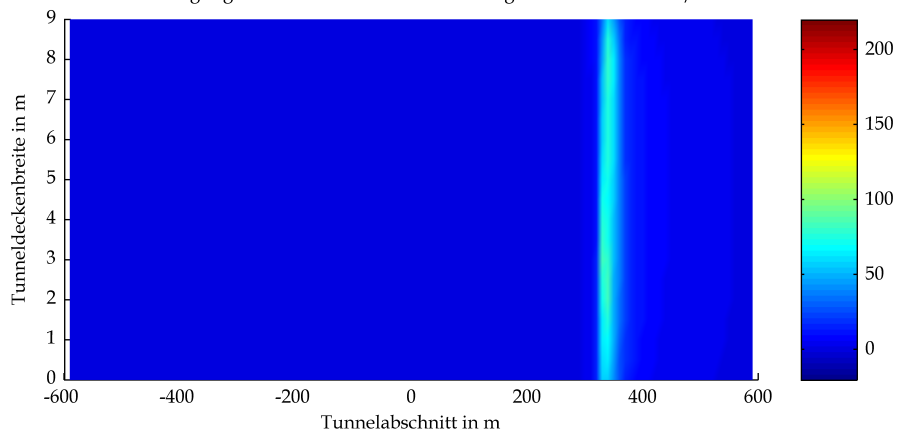
BAStBÜ Rechteck Neigung RV 300mL owF Wärmestrahlung Tunneldecke in kW/m<sup>2</sup> bei t=240s



BAStBÜ Rechteck Neigung RV 300mL owF Wärmestrahlung Tunneldecke in kW/m<sup>2</sup> bei t=300s

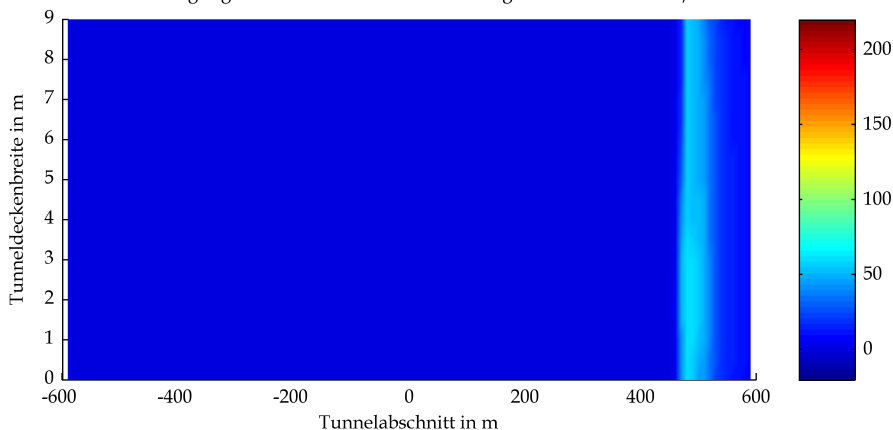


BAStBÜ Rechteck Neigung RV 300mL owF Wärmestrahlung Tunneldecke in kW/m<sup>2</sup> bei t=600s

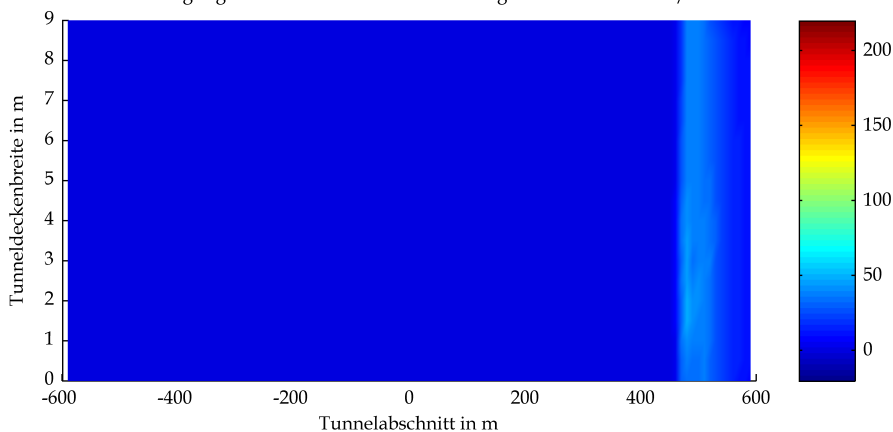


Mittels CFD-Berechnung ermittelte Strahlungswärme an der Tunneldecke

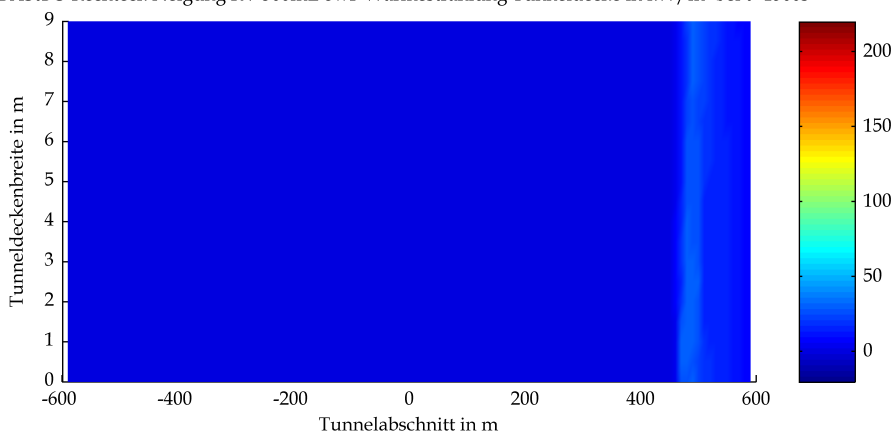
BASTBÜ Rechteck Neigung RV 300mL owF Wärmestrahlung Tunneldecke in kW/m<sup>2</sup> bei t=900s



BASTBÜ Rechteck Neigung RV 300mL owF Wärmestrahlung Tunneldecke in kW/m<sup>2</sup> bei t=1200s

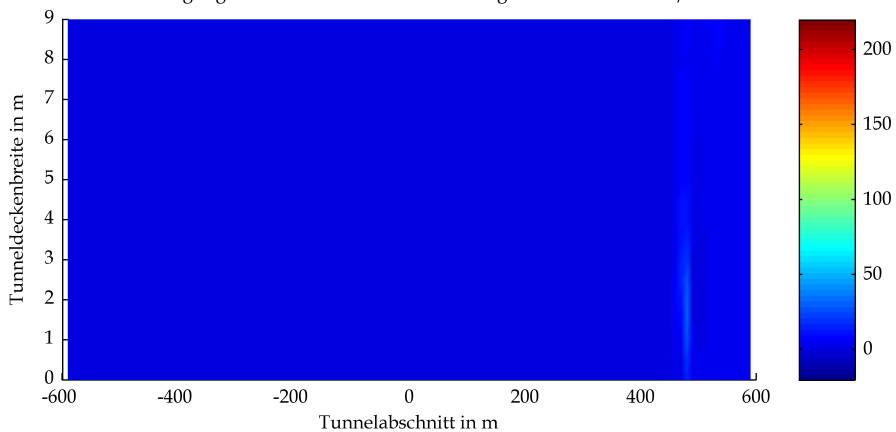


BASTBÜ Rechteck Neigung RV 300mL owF Wärmestrahlung Tunneldecke in kW/m<sup>2</sup> bei t=1500s

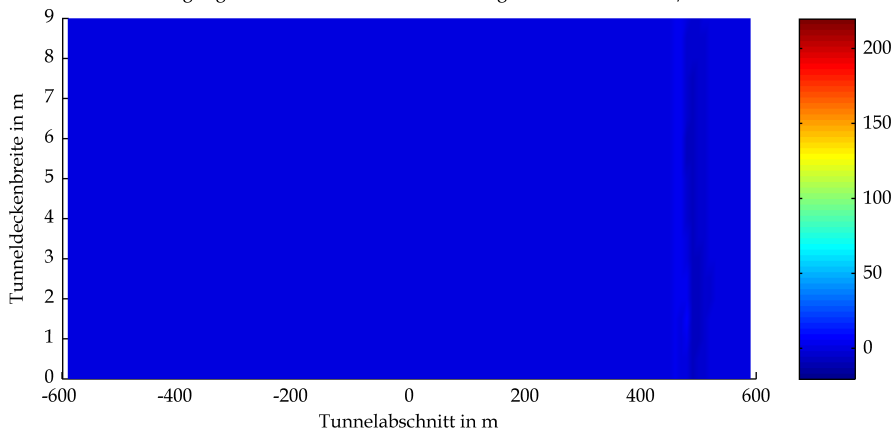


Mittels CFD-Berechnung ermittelte Strahlungswärme an der Tunneldecke

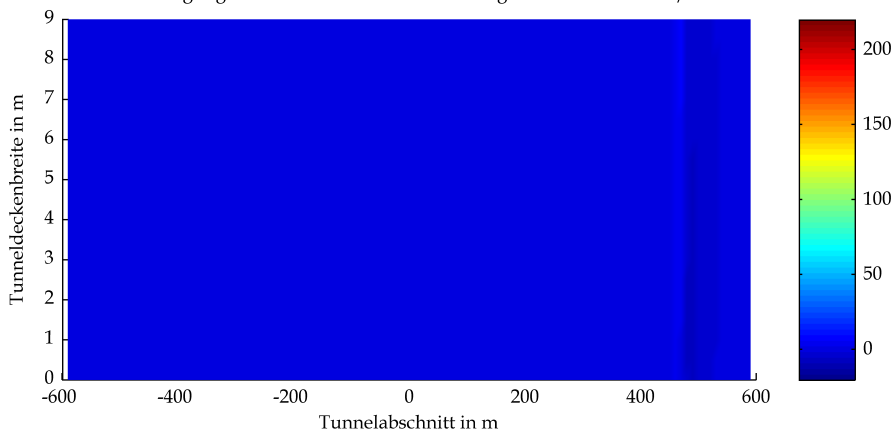
BASTBÜ Rechteck Neigung RV 300mL owF Wärmestrahlung Tunneldecke in kW/m<sup>2</sup> bei t=1800s



BASTBÜ Rechteck Neigung RV 300mL owF Wärmestrahlung Tunneldecke in kW/m<sup>2</sup> bei t=2100s

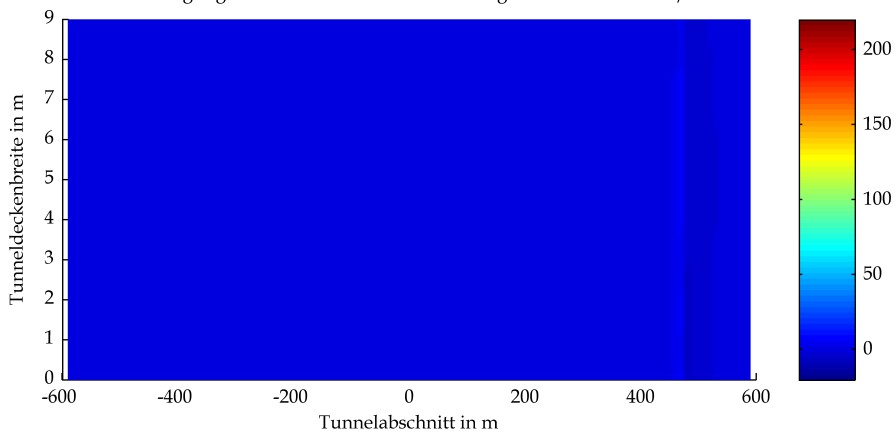


BASTBÜ Rechteck Neigung RV 300mL owF Wärmestrahlung Tunneldecke in kW/m<sup>2</sup> bei t=2400s

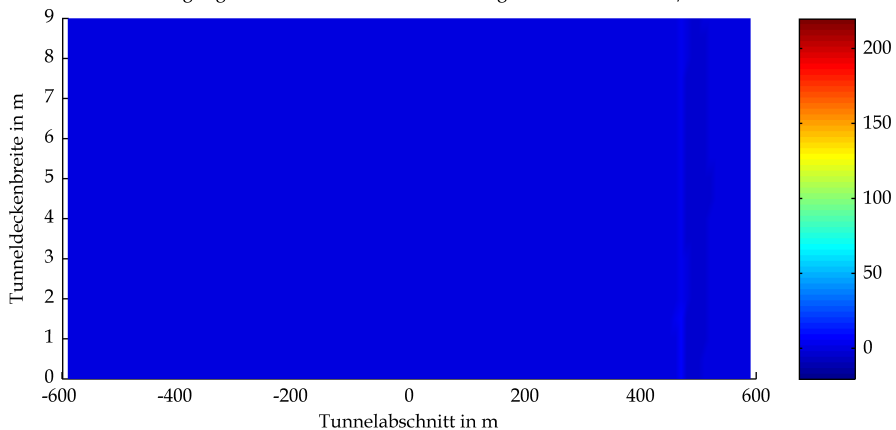


Mittels CFD-Berechnung ermittelte Strahlungswärme an der Tunneldecke

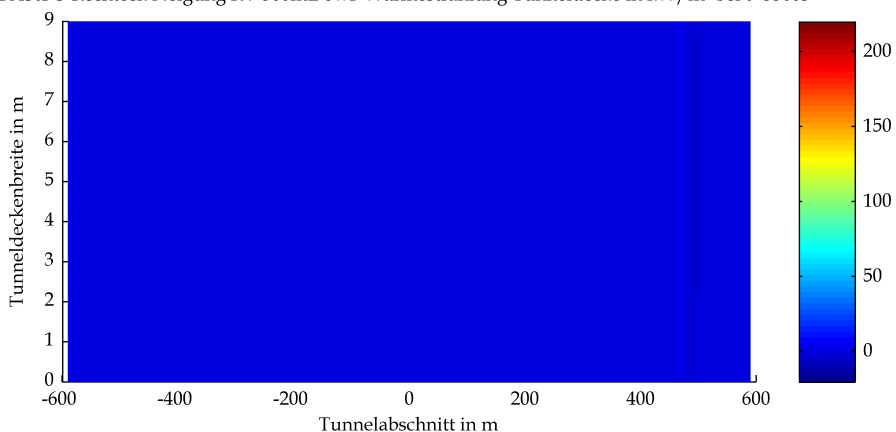
BASTBÜ Rechteck Neigung RV 300mL owF Wärmestrahlung Tunneldecke in kW/m<sup>2</sup> bei t=2700s



BASTBÜ Rechteck Neigung RV 300mL owF Wärmestrahlung Tunneldecke in kW/m<sup>2</sup> bei t=3000s

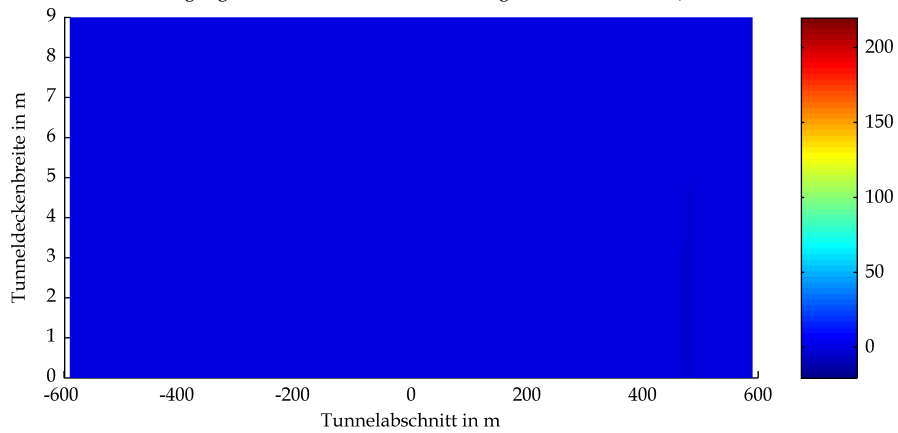


BASTBÜ Rechteck Neigung RV 300mL owF Wärmestrahlung Tunneldecke in kW/m<sup>2</sup> bei t=3300s



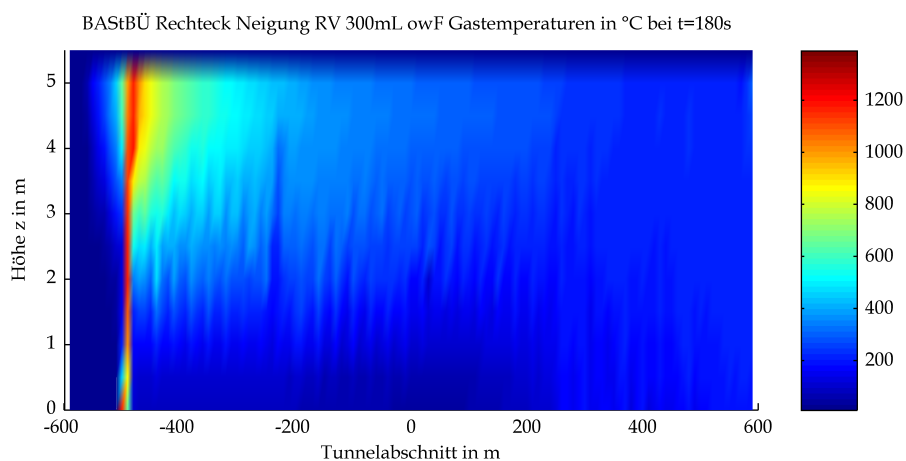
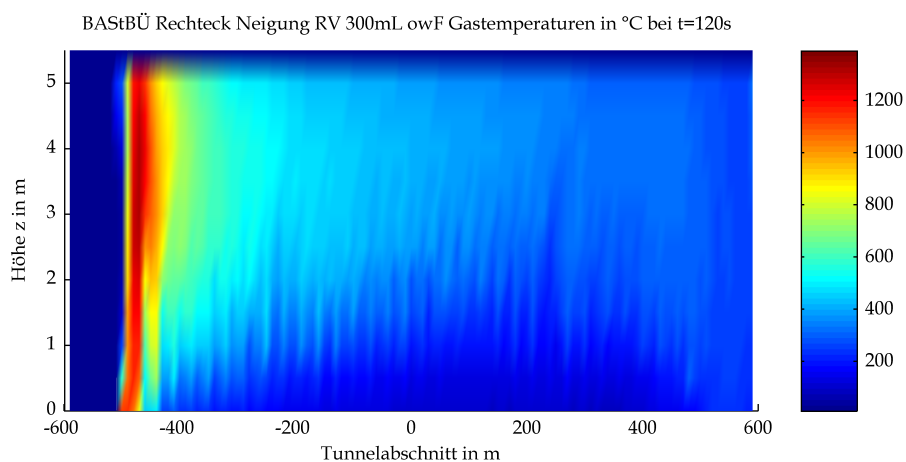
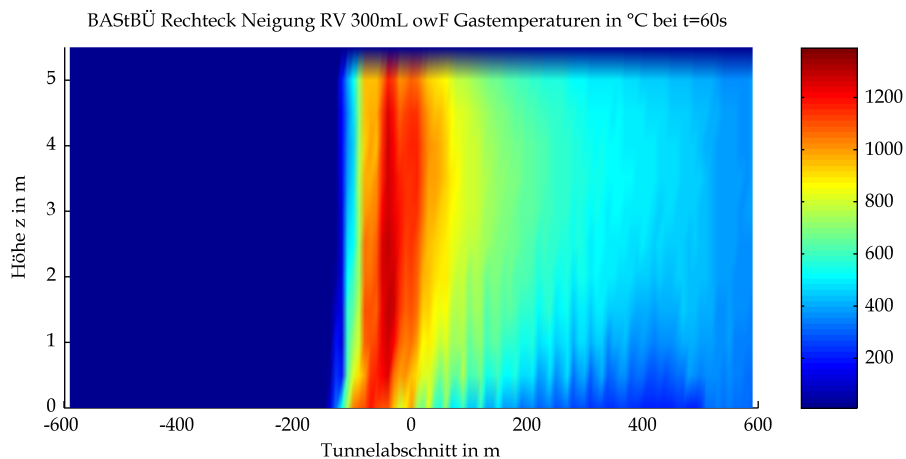
Mittels CFD-Berechnung ermittelte Strahlungswärme an der Tunneldecke

BAStBÜ Rechteck Neigung RV 300mL owF Wärmestrahlung Tunneldecke in kW/m<sup>2</sup> bei t=3600s

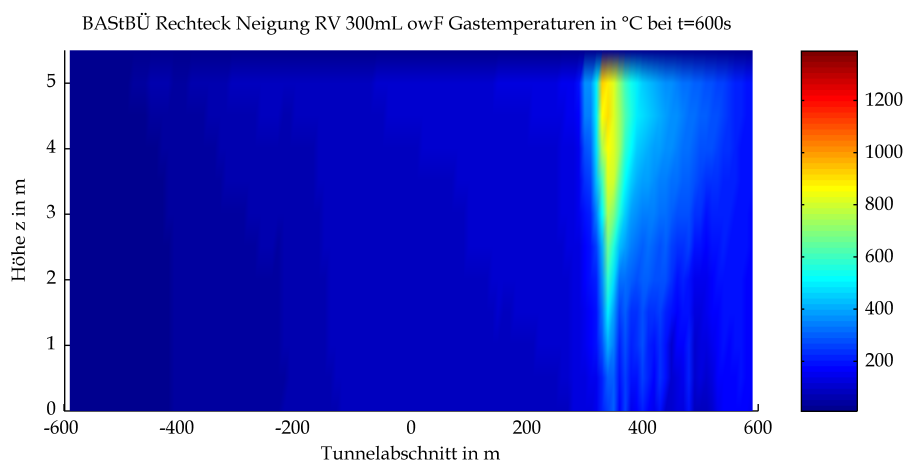
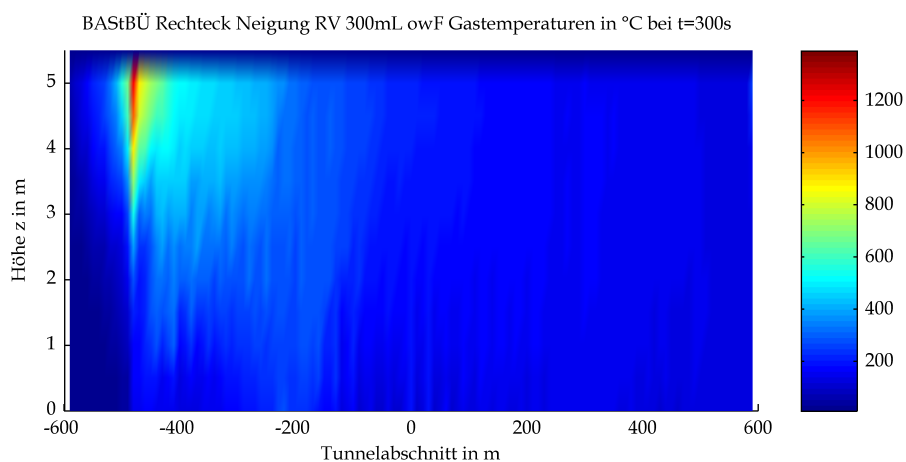
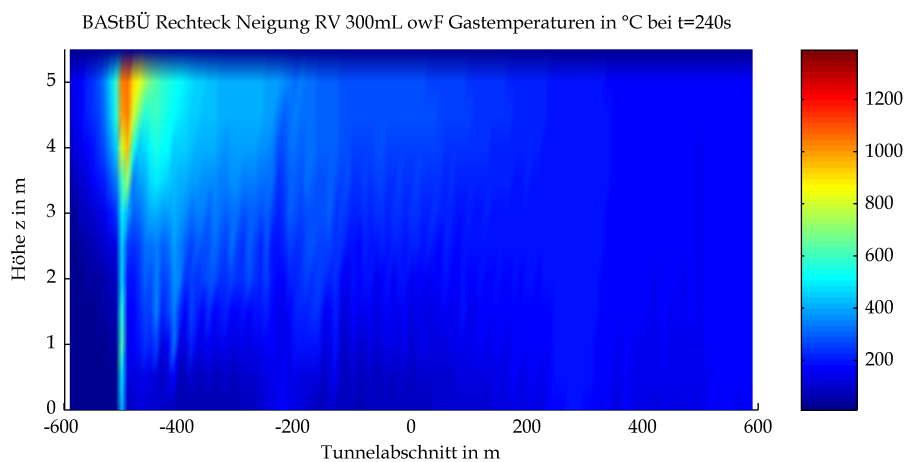


Mittels CFD-Berechnung ermittelte Strahlungswärme an der Tunneldecke

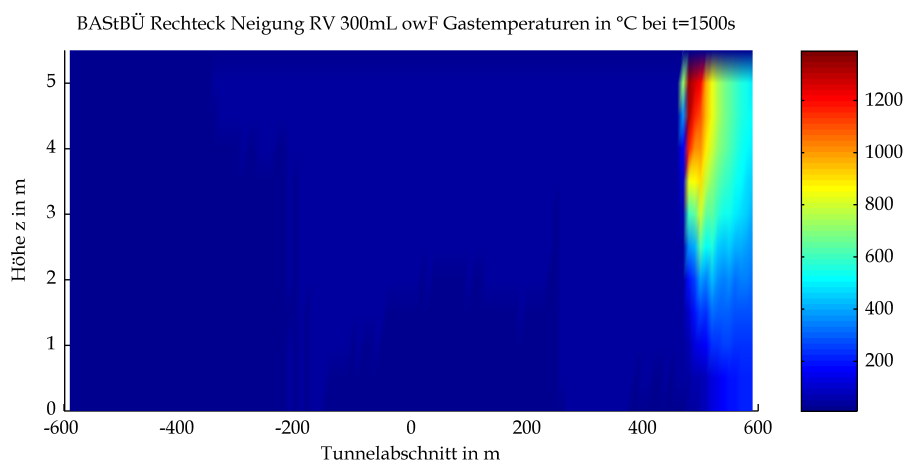
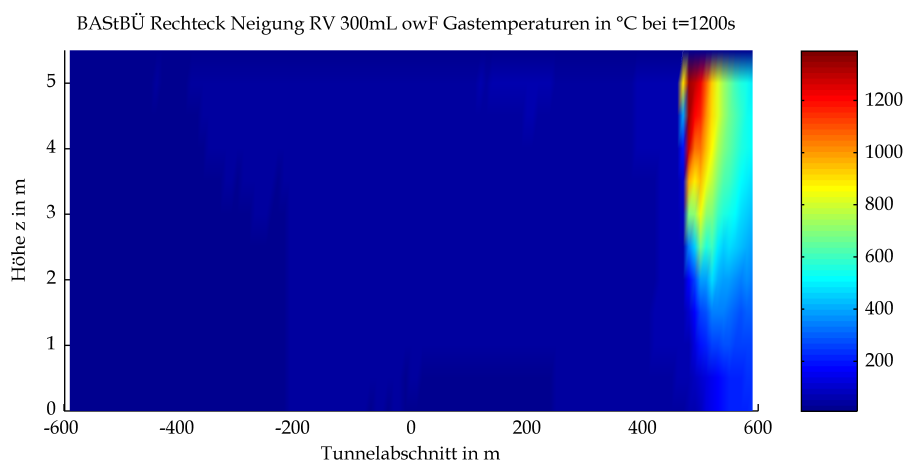
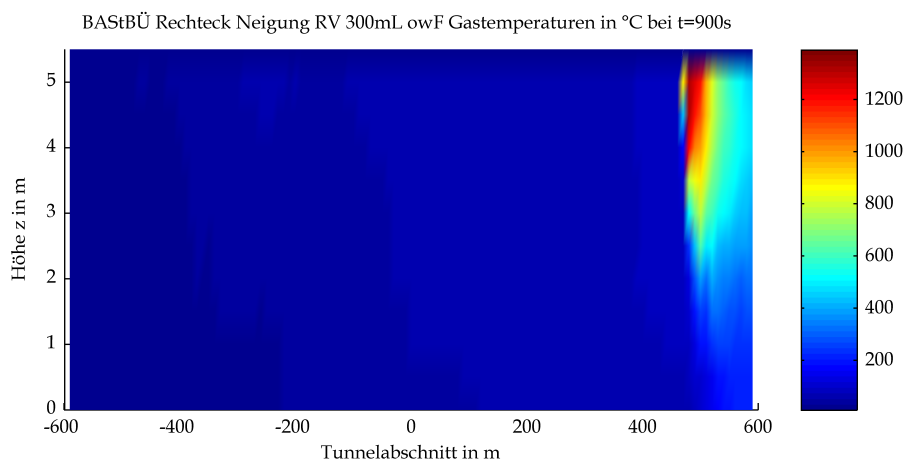
### 3 Gastemperaturen



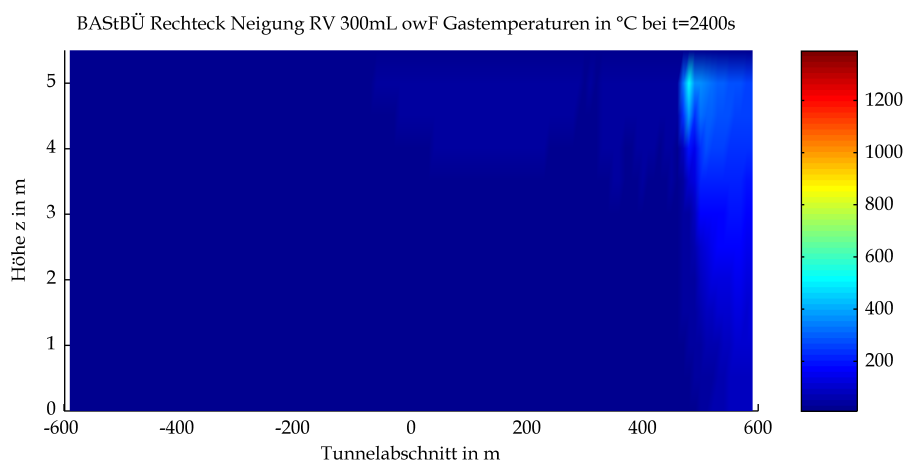
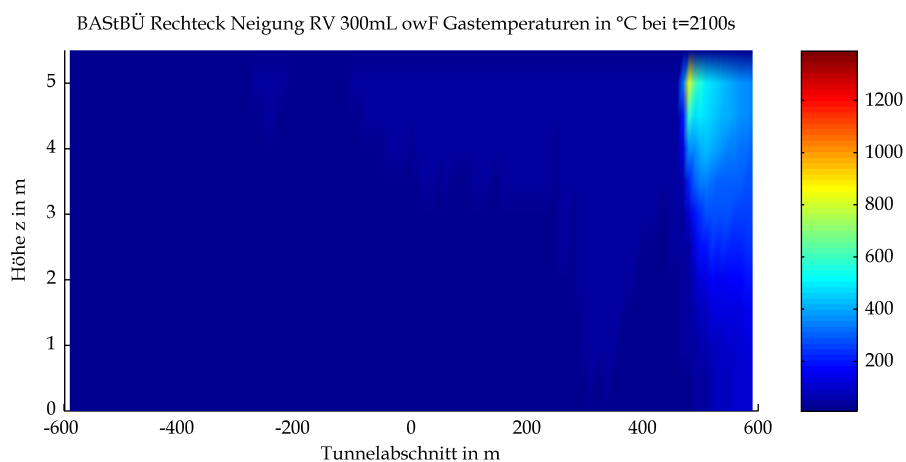
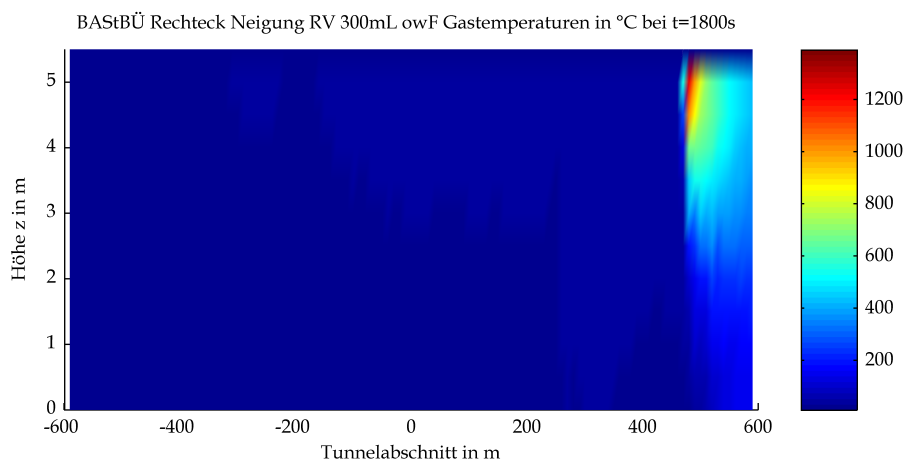
Mittels CFD-Berechnung ermittelte Gastemperaturen



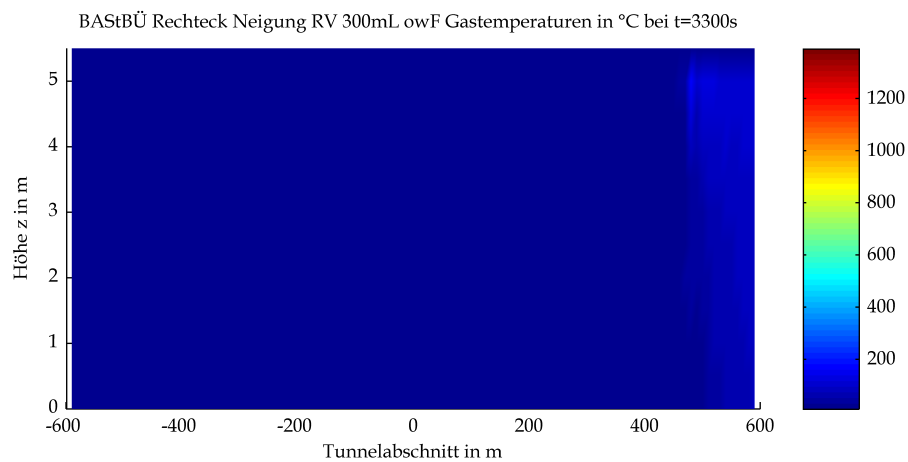
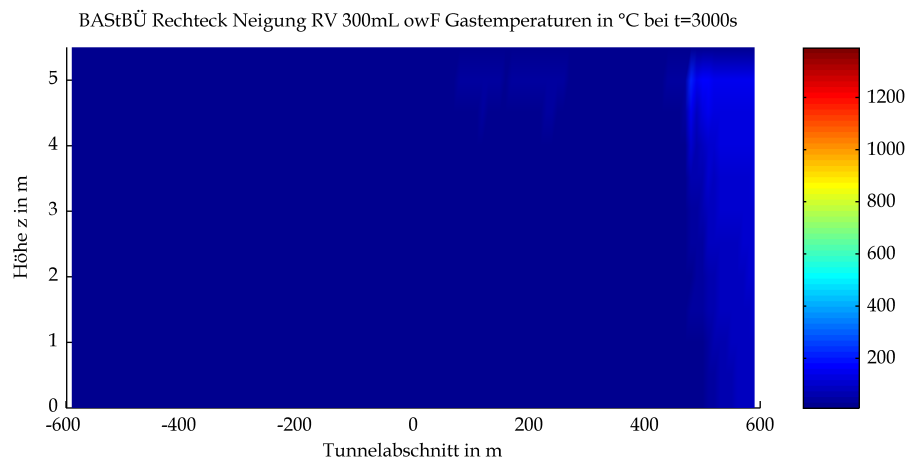
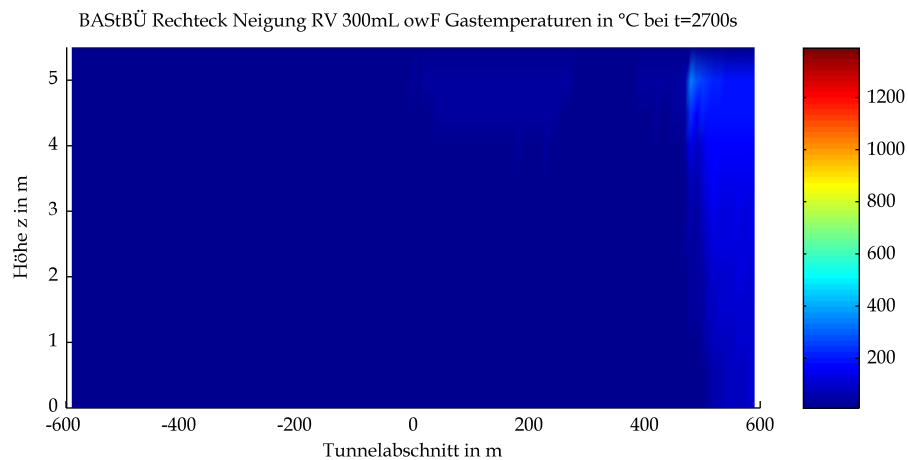
Mittels CFD-Berechnung ermittelte Gastemperaturen



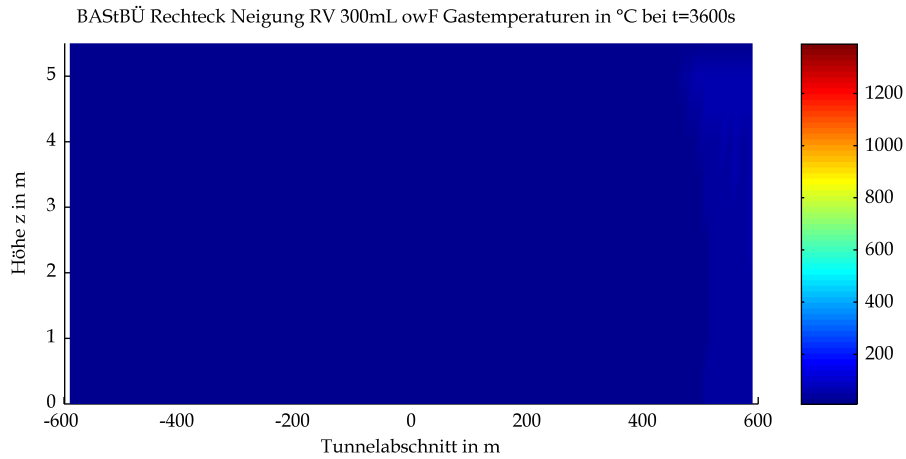
Mittels CFD-Berechnung ermittelte Gastemperaturen



Mittels CFD-Berechnung ermittelte Gastemperaturen

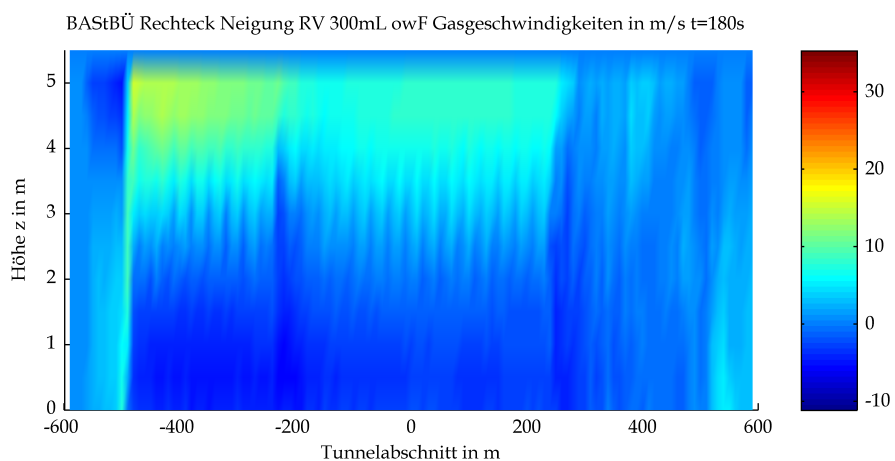
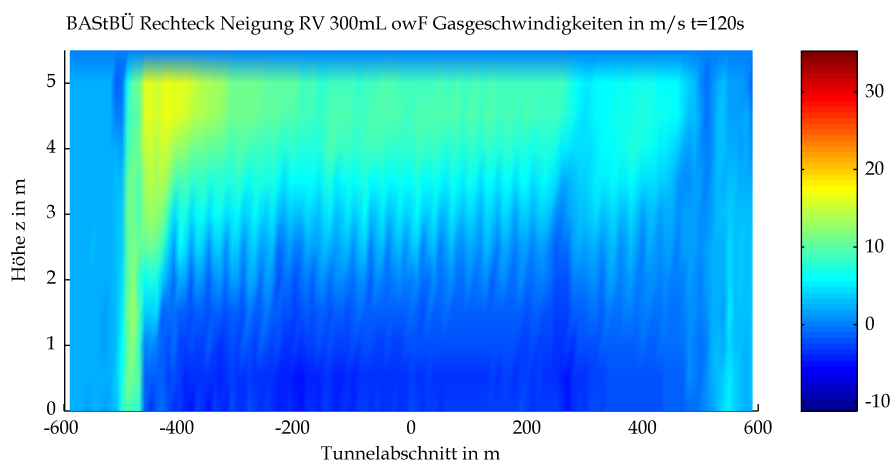
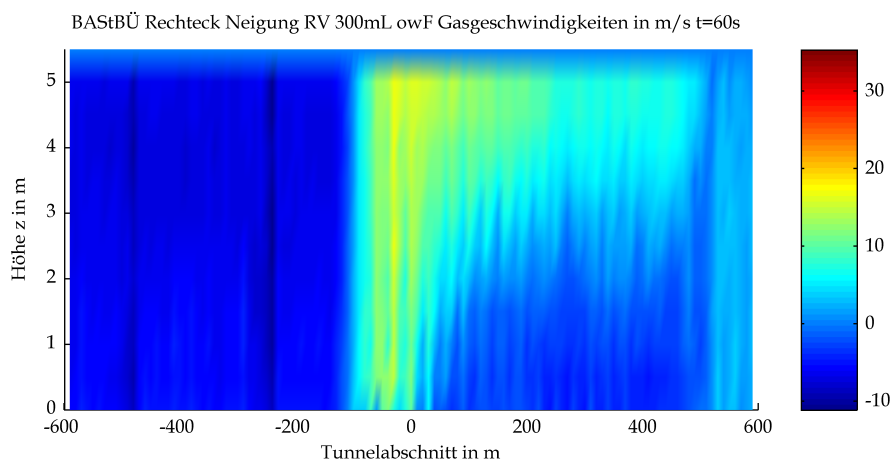


Mittels CFD-Berechnung ermittelte Gastemperaturen

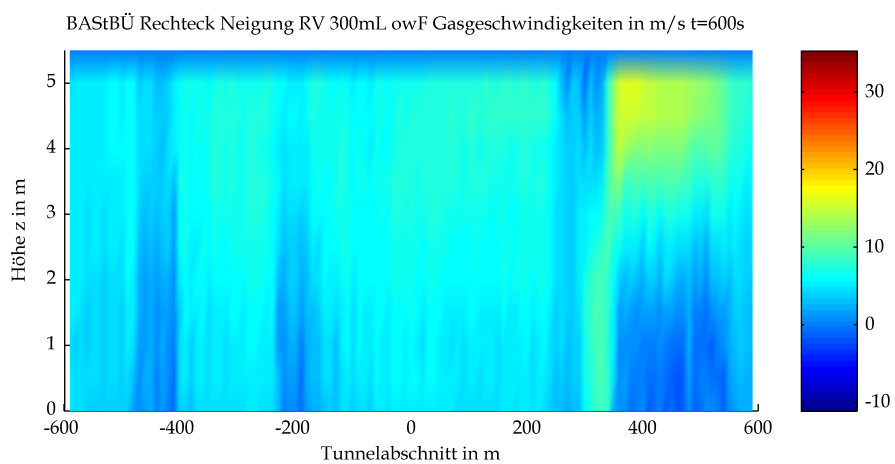
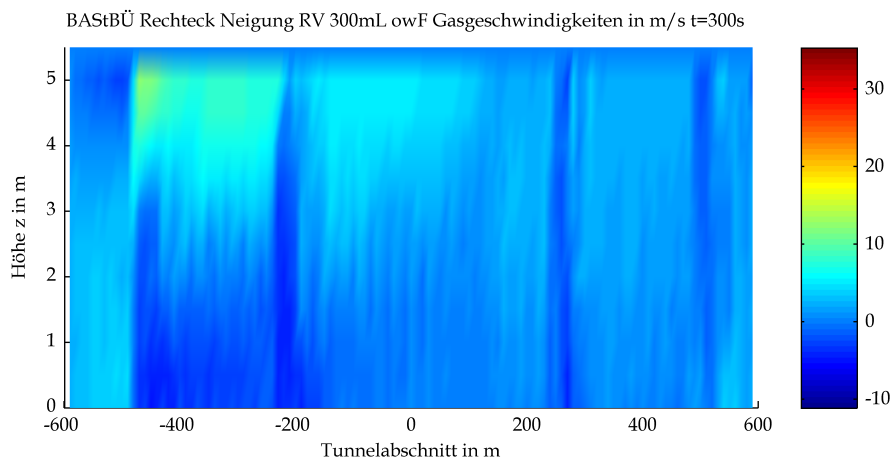
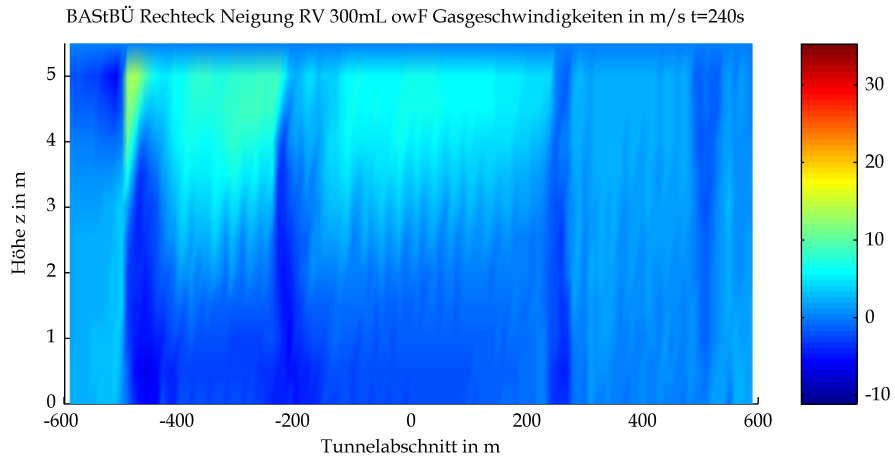


Mittels CFD-Berechnung ermittelte Gastemperaturen

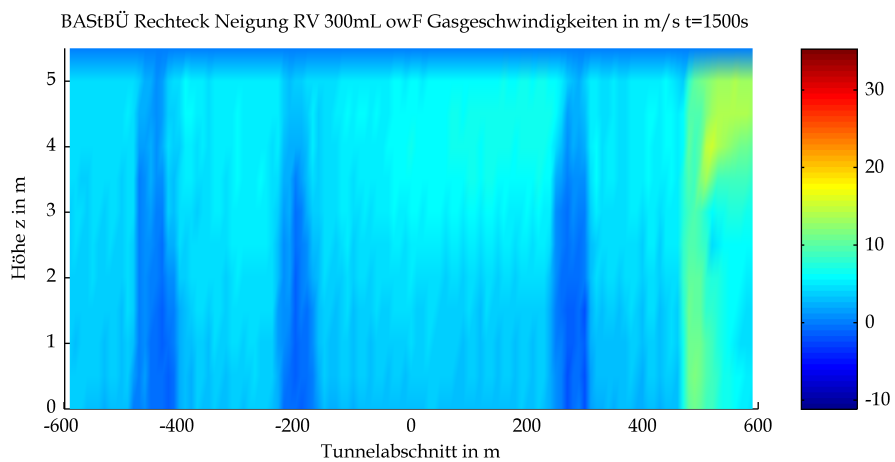
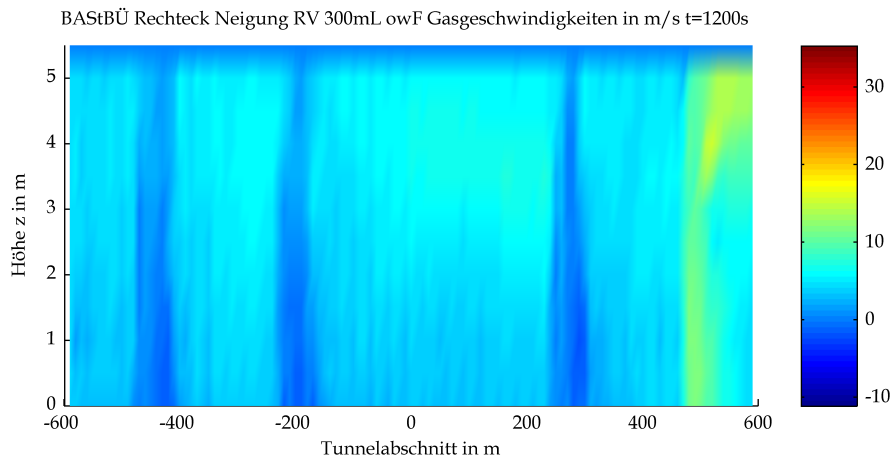
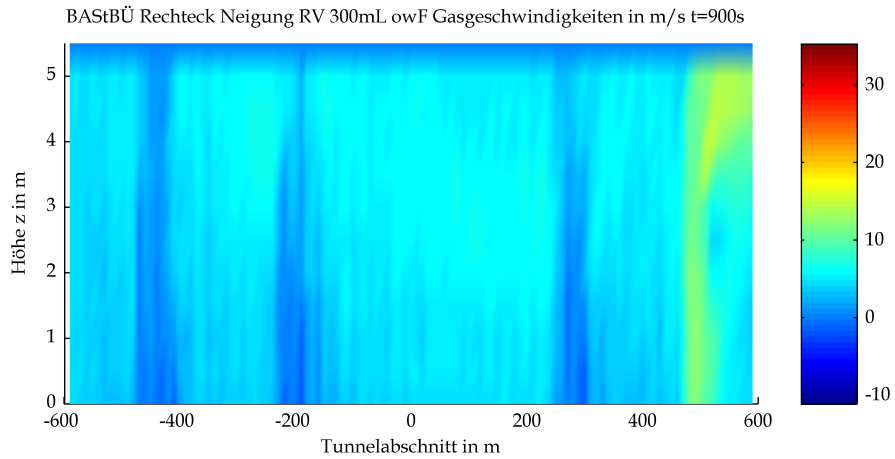
## 4 Gasgeschwindigkeiten



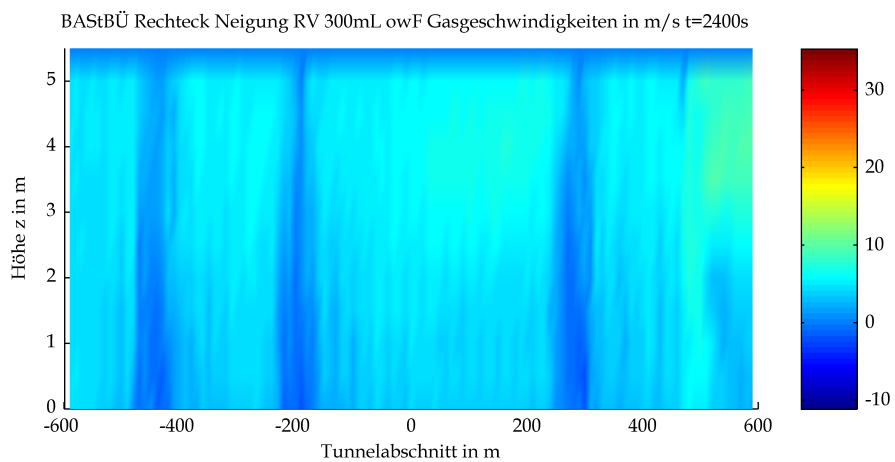
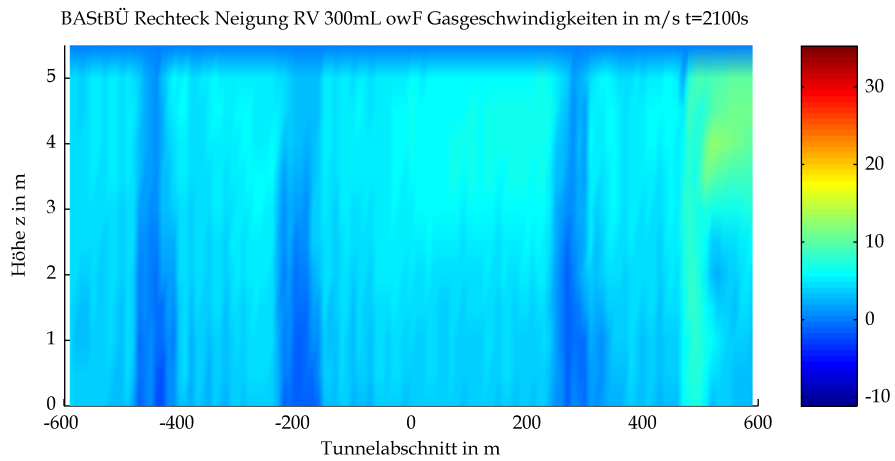
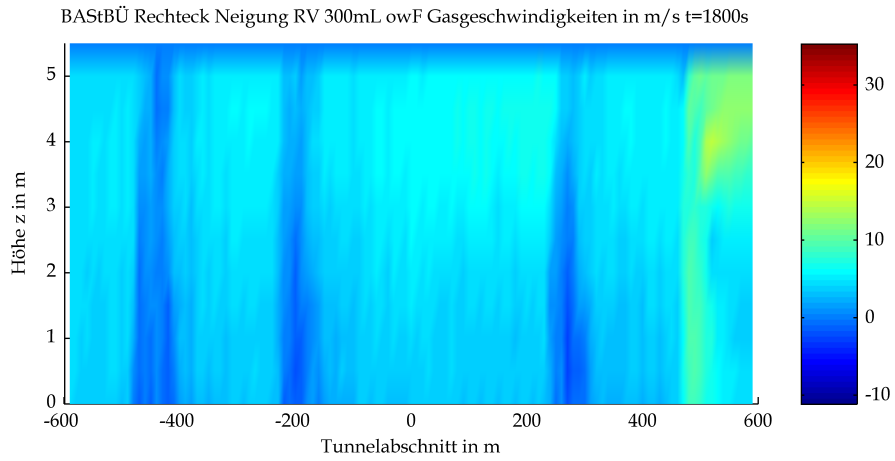
Mittels CFD-Berechnung ermittelte Gasgeschwindigkeit



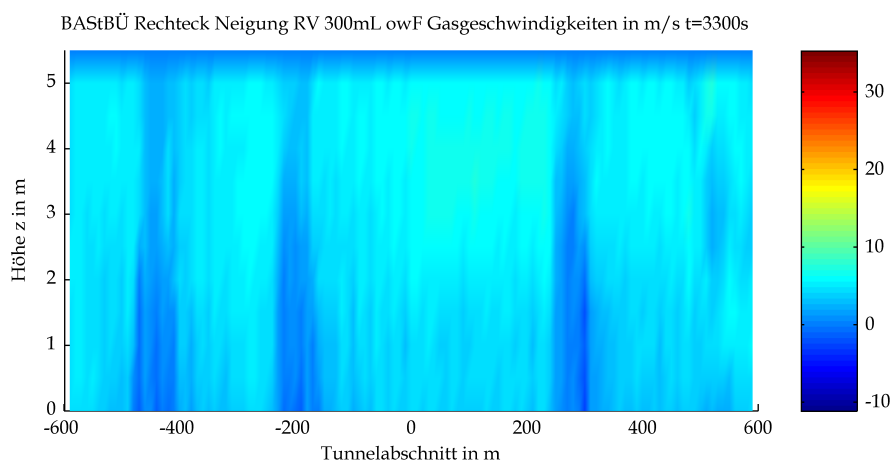
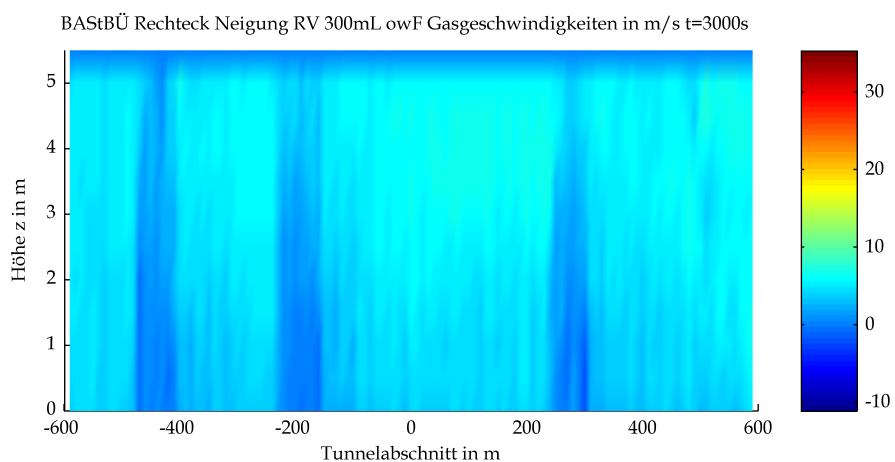
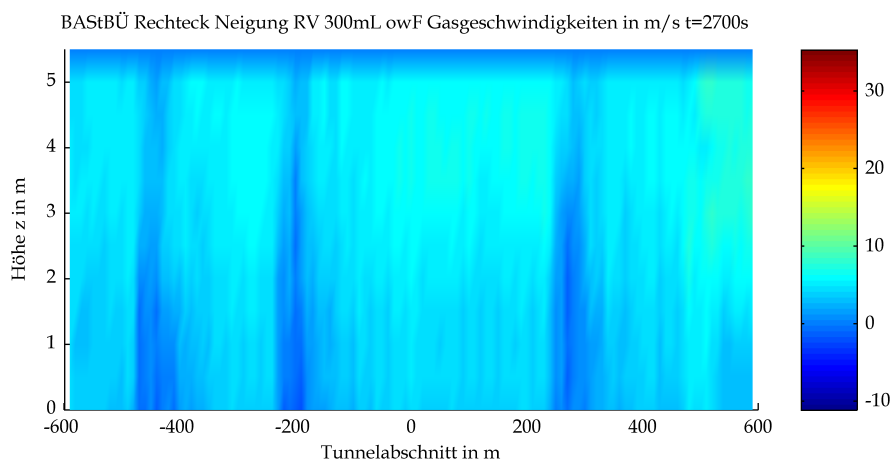
Mittels CFD-Berechnung ermittelte Gasgeschwindigkeit



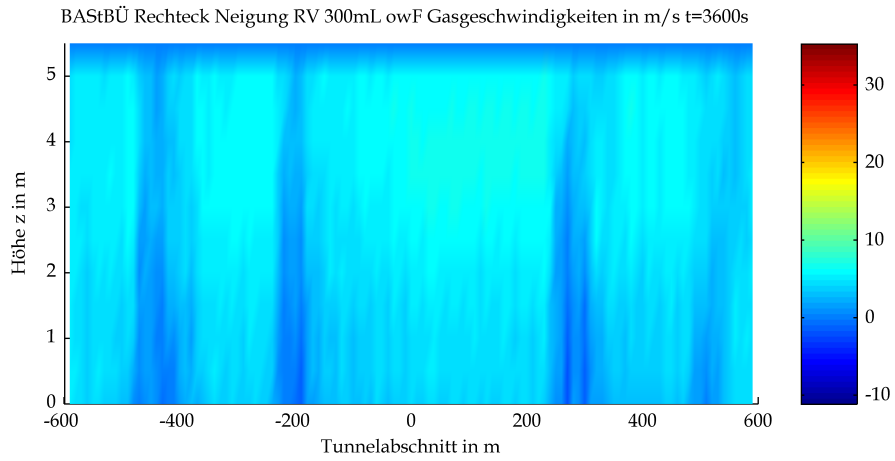
Mittels CFD-Berechnung ermittelte Gasgeschwindigkeit



Mittels CFD-Berechnung ermittelte Gasgeschwindigkeit



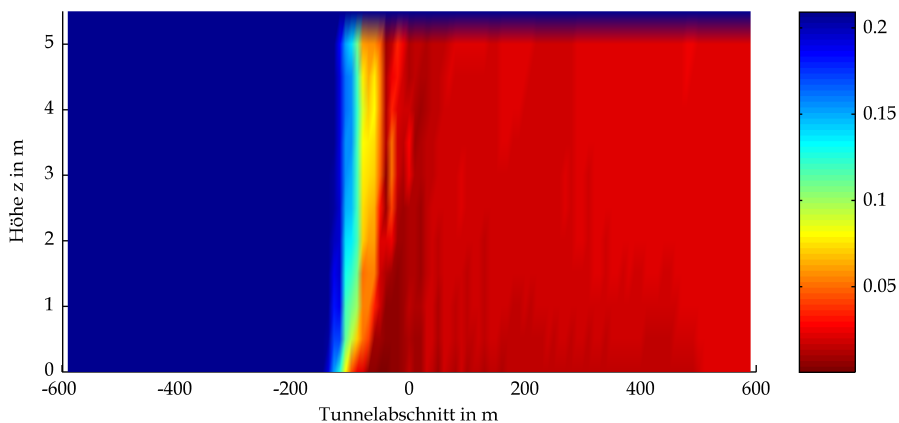
Mittels CFD-Berechnung ermittelte Gasgeschwindigkeit



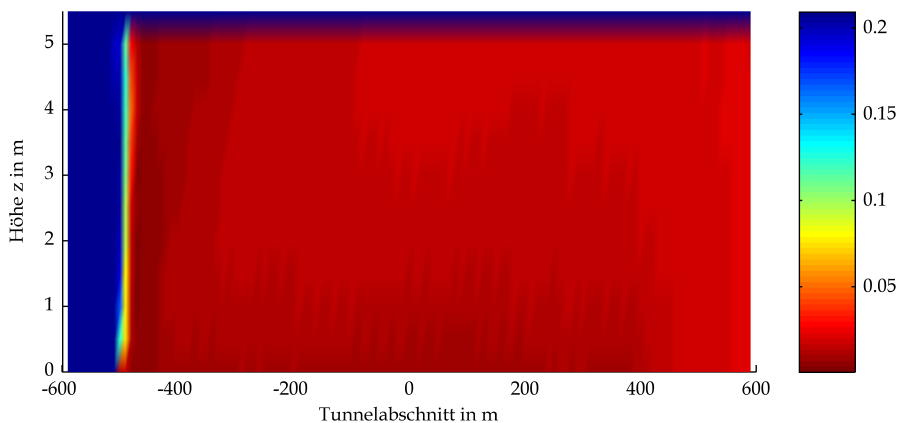
Mittels CFD-Berechnung ermittelte Gasgeschwindigkeit

## 5 Sauerstoffgehalt

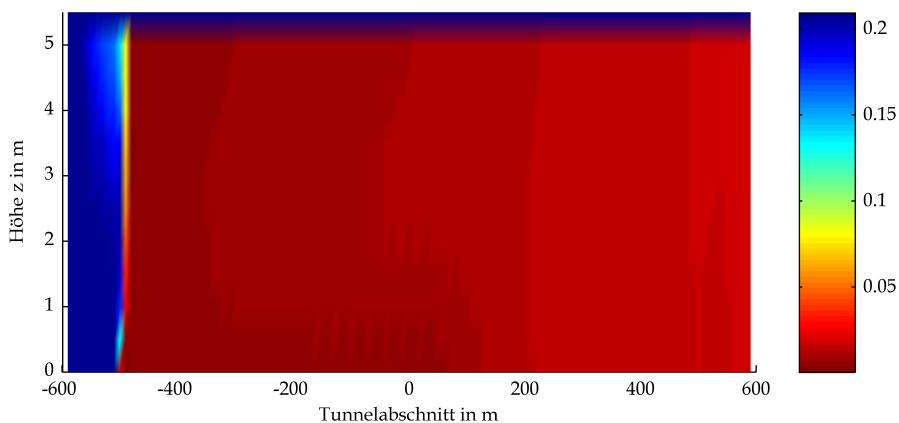
BAStBÜ Rechteck Neigung RV 300mL owF Sauerstoffkonzentration in Vol-% bei t=60s



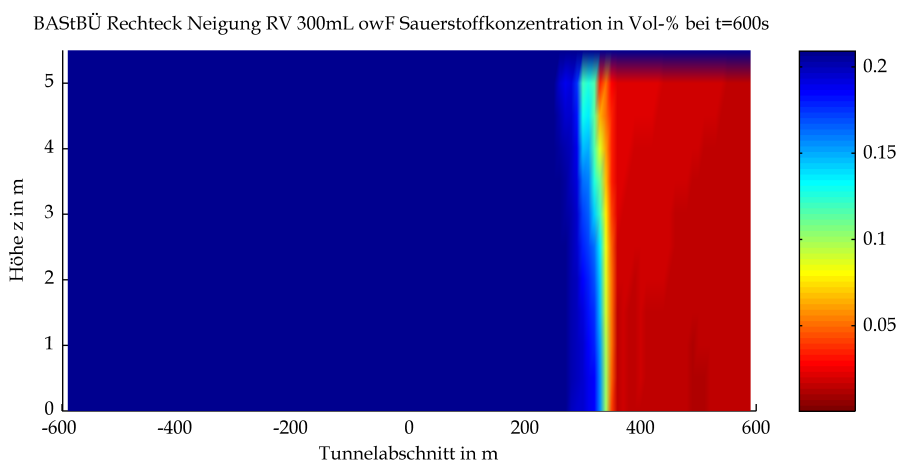
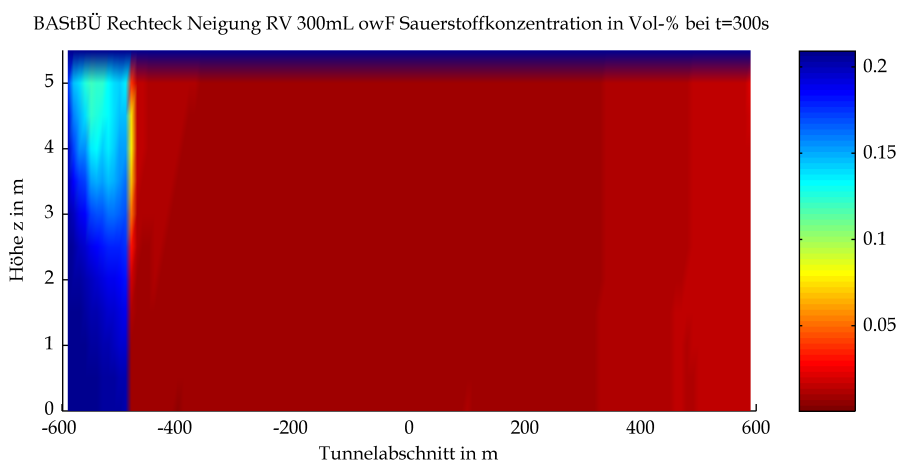
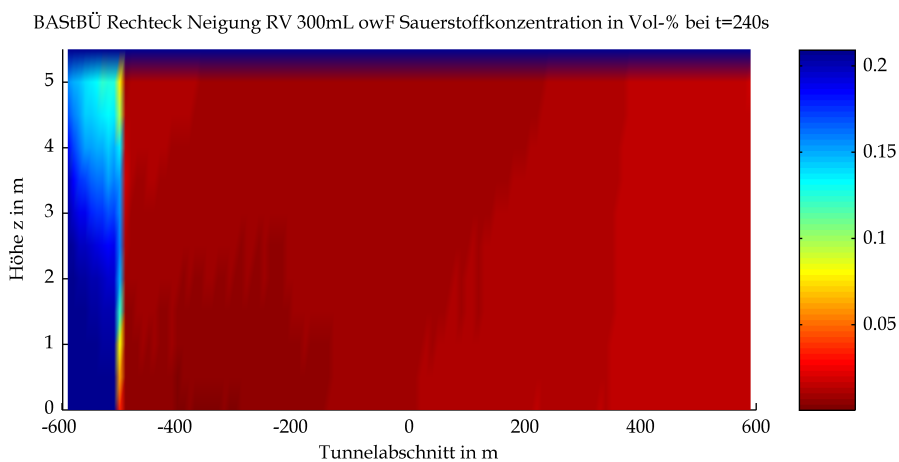
BAStBÜ Rechteck Neigung RV 300mL owF Sauerstoffkonzentration in Vol-% bei t=120s



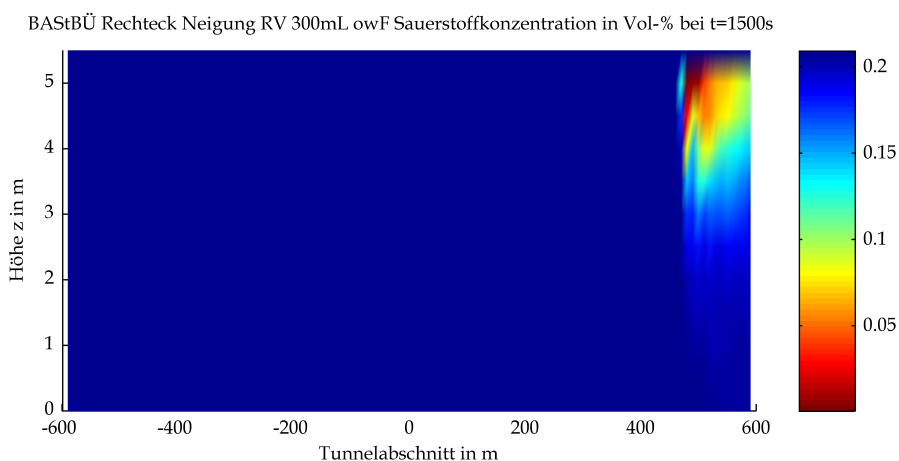
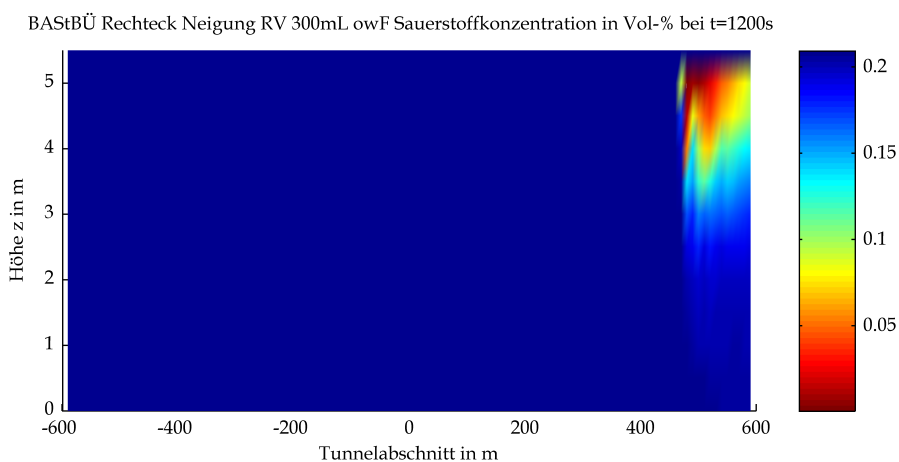
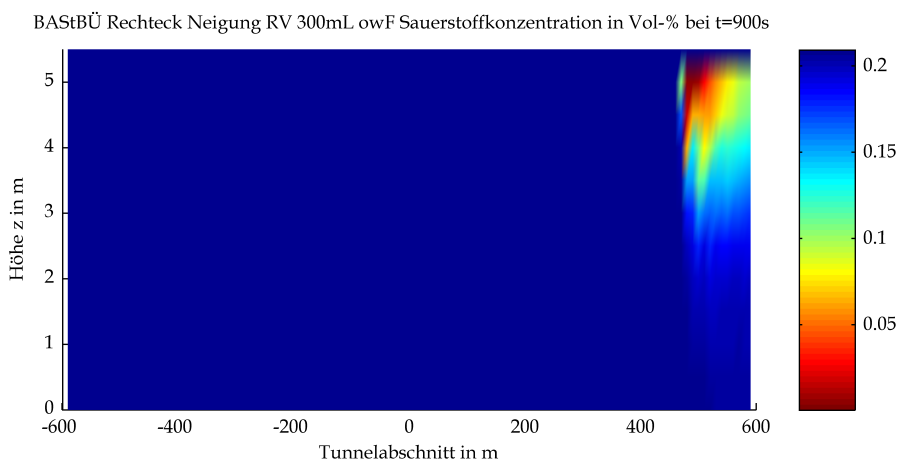
BAStBÜ Rechteck Neigung RV 300mL owF Sauerstoffkonzentration in Vol-% bei t=180s



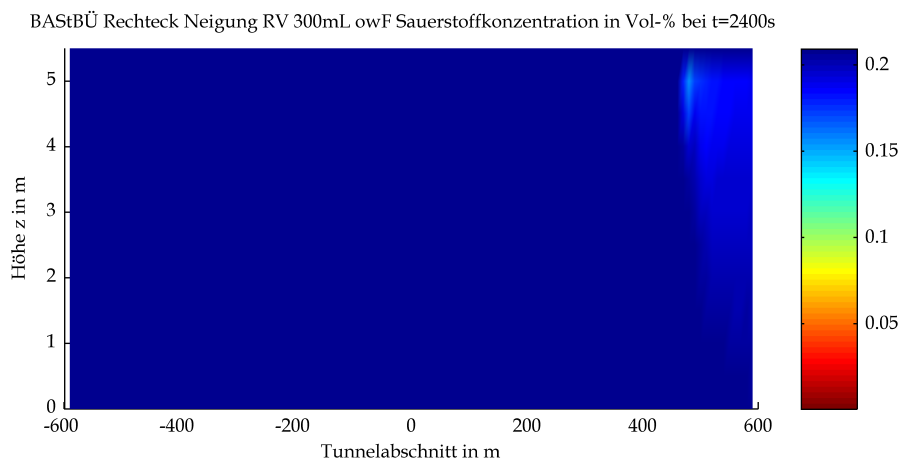
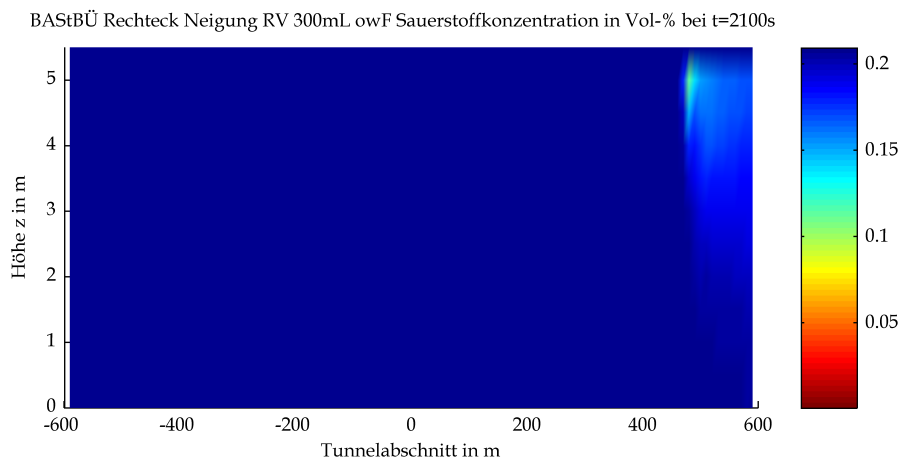
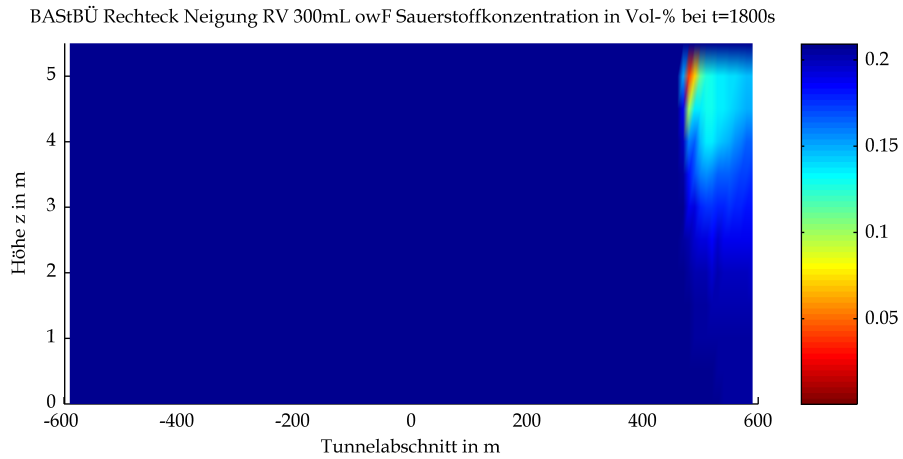
Mittels CFD-Berechnung ermittelte Sauerstoffgehalte



Mittels CFD-Berechnung ermittelte Sauerstoffgehalte

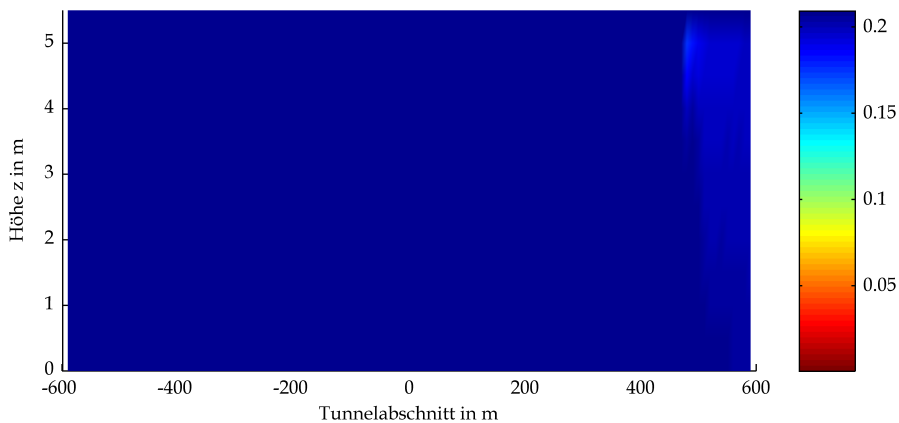


Mittels CFD-Berechnung ermittelte Sauerstoffgehalte

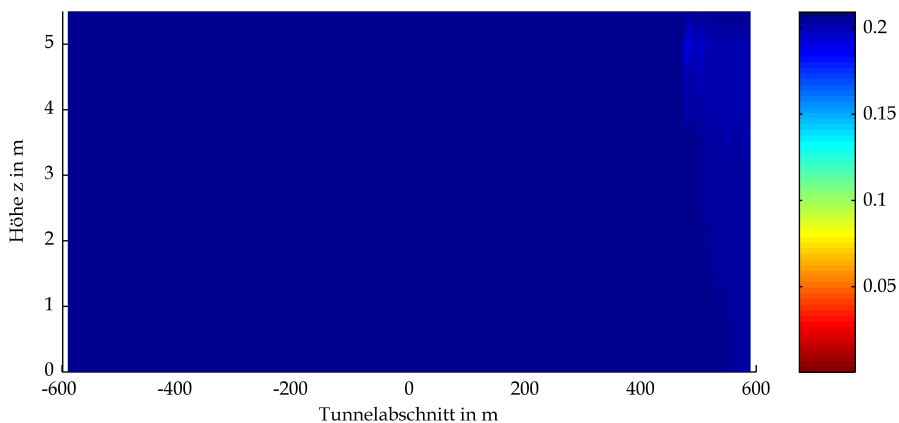


Mittels CFD-Berechnung ermittelte Sauerstoffgehalte

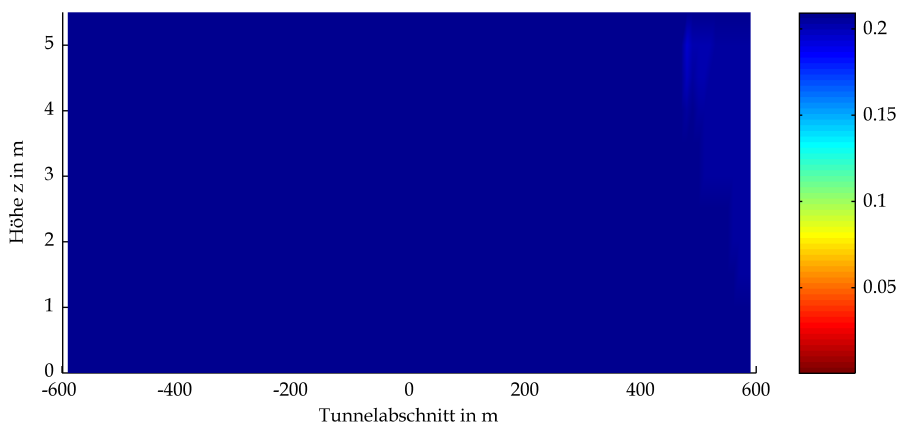
BAStBÜ Rechteck Neigung RV 300mL owF Sauerstoffkonzentration in Vol-% bei t=2700s



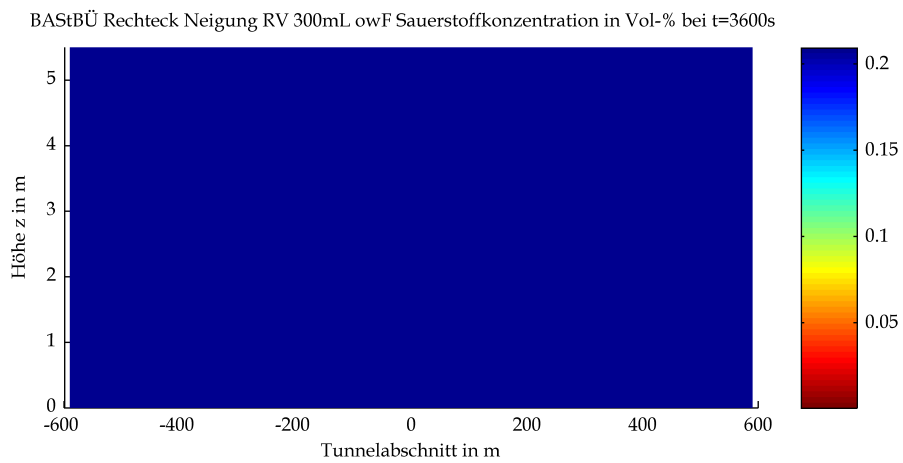
BAStBÜ Rechteck Neigung RV 300mL owF Sauerstoffkonzentration in Vol-% bei t=3000s



BAStBÜ Rechteck Neigung RV 300mL owF Sauerstoffkonzentration in Vol-% bei t=3300s



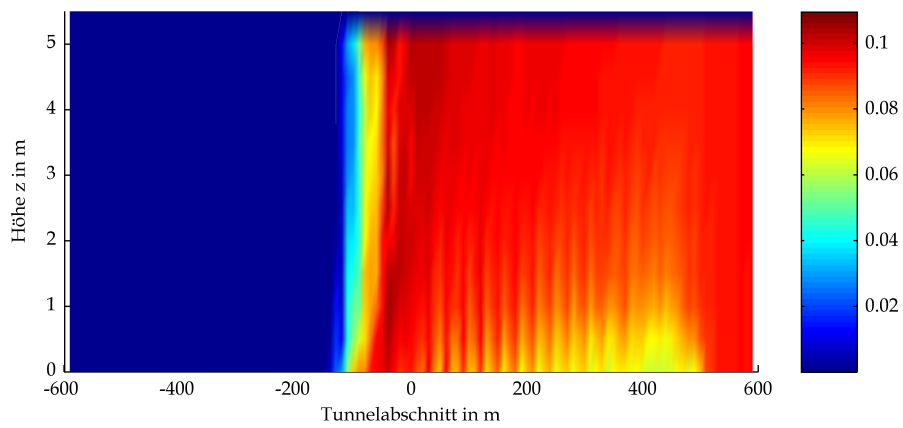
Mittels CFD-Berechnung ermittelte Sauerstoffgehalte



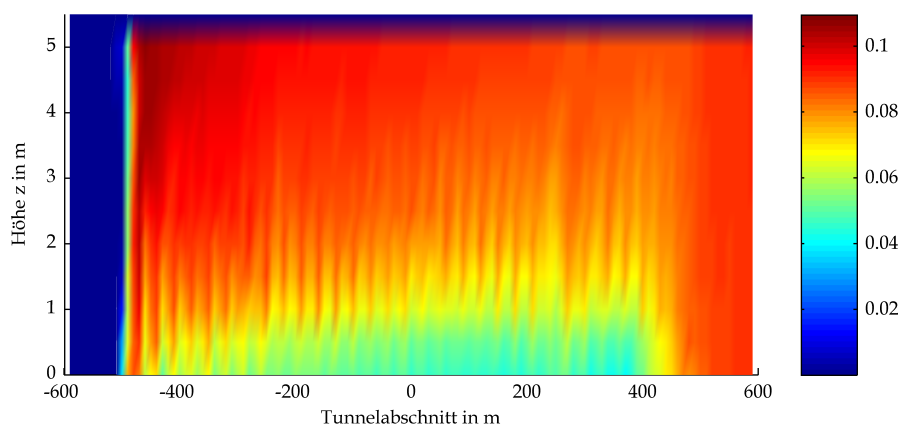
Mittels CFD-Berechnung ermittelte Sauerstoffgehalte

## 6 Kohlendioxidgehalt

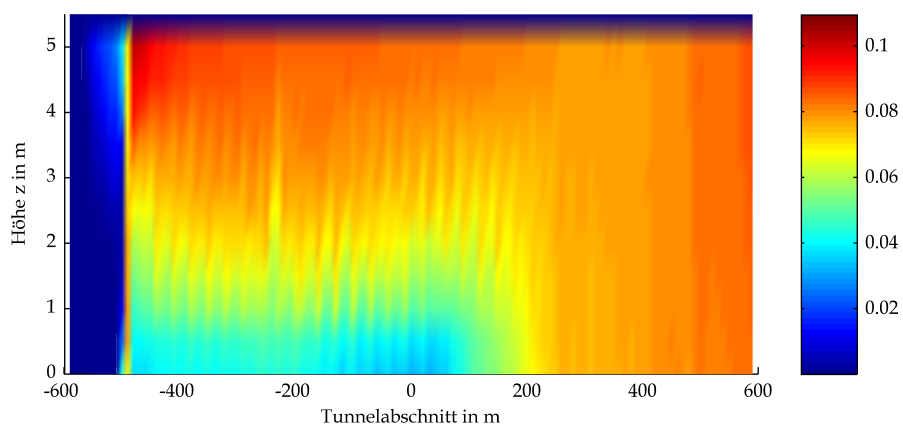
BASTBÜ Rechteck Neigung RV 300mL owF CO<sub>2</sub>-Gehalt in Masse-% bei t=60s



BASTBÜ Rechteck Neigung RV 300mL owF CO<sub>2</sub>-Gehalt in Masse-% bei t=120s

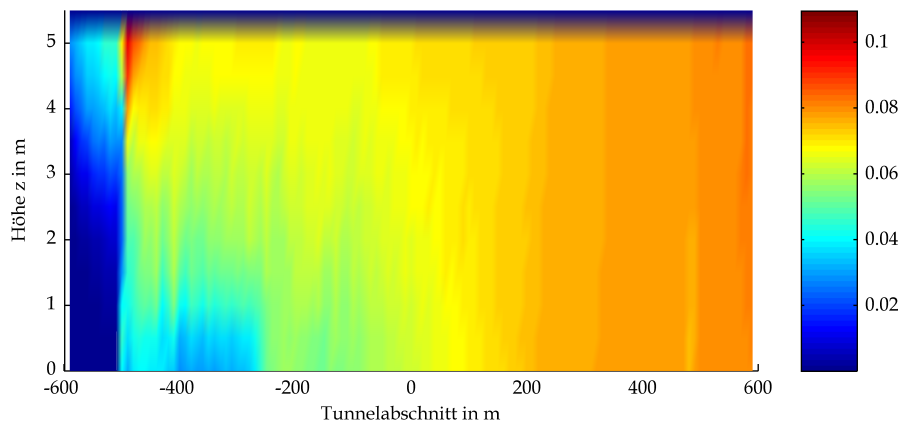


BASTBÜ Rechteck Neigung RV 300mL owF CO<sub>2</sub>-Gehalt in Masse-% bei t=180s

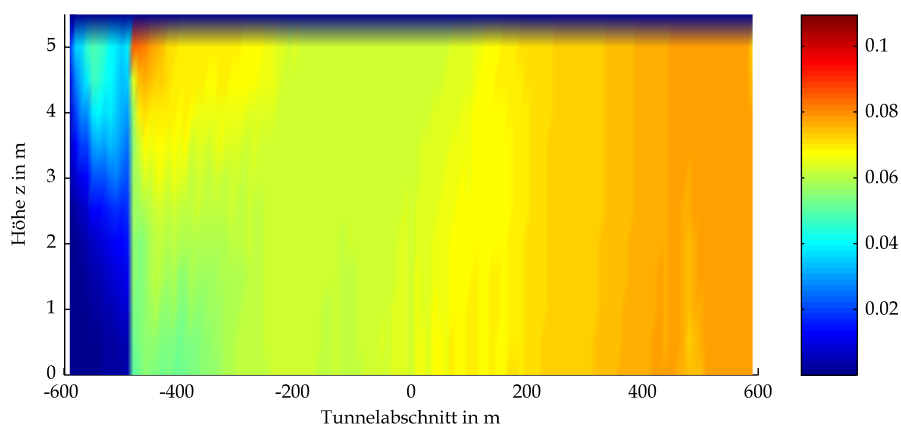


Mittels CFD-Berechnung ermittelte Kohlendioxidgehalte

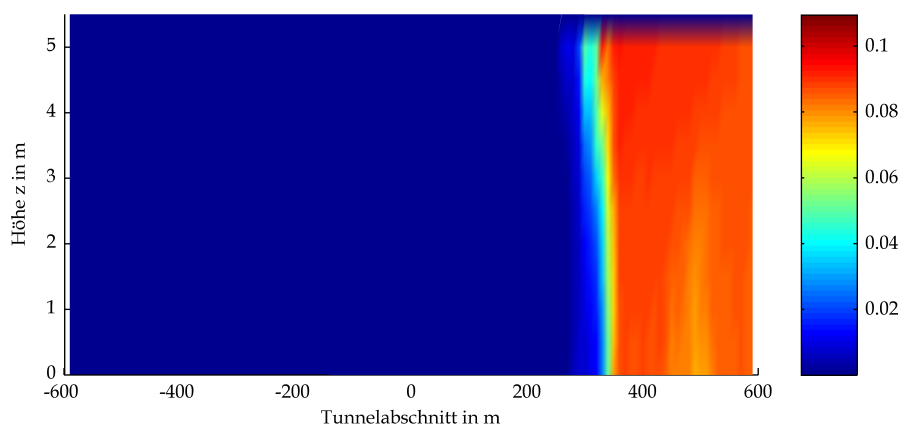
BAStBÜ Rechteck Neigung RV 300mL owF CO<sub>2</sub>-Gehalt in Masse-% bei t=240s



BAStBÜ Rechteck Neigung RV 300mL owF CO<sub>2</sub>-Gehalt in Masse-% bei t=300s

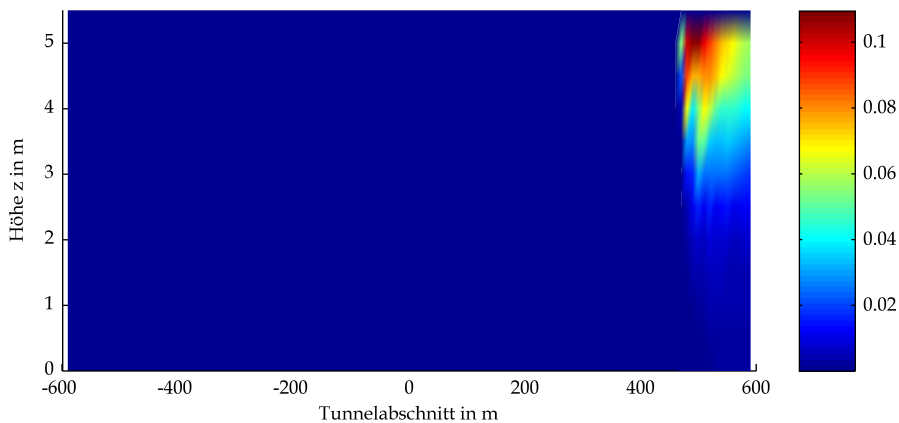


BAStBÜ Rechteck Neigung RV 300mL owF CO<sub>2</sub>-Gehalt in Masse-% bei t=600s

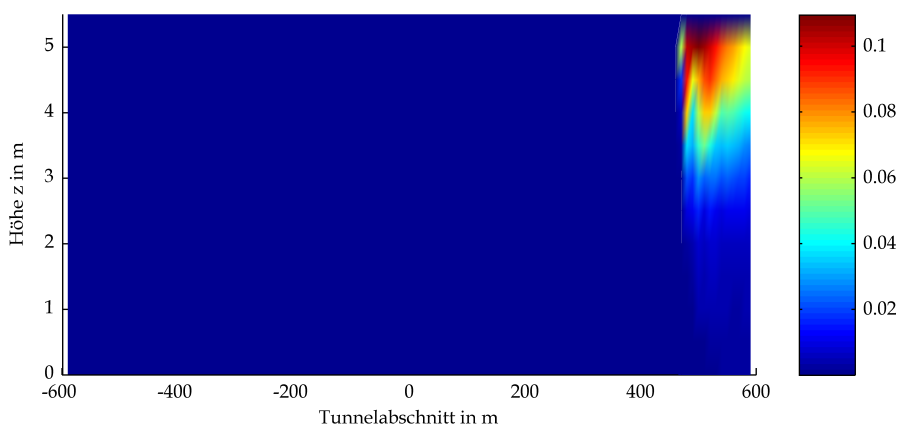


Mittels CFD-Berechnung ermittelte Kohlendioxidgehalte

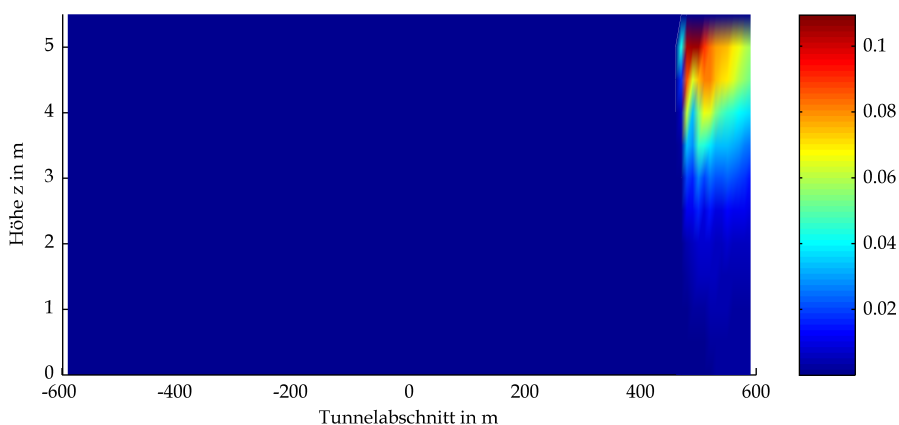
BAStBÜ Rechteck Neigung RV 300mL owF CO<sub>2</sub>-Gehalt in Masse-% bei t=900s



BAStBÜ Rechteck Neigung RV 300mL owF CO<sub>2</sub>-Gehalt in Masse-% bei t=1200s

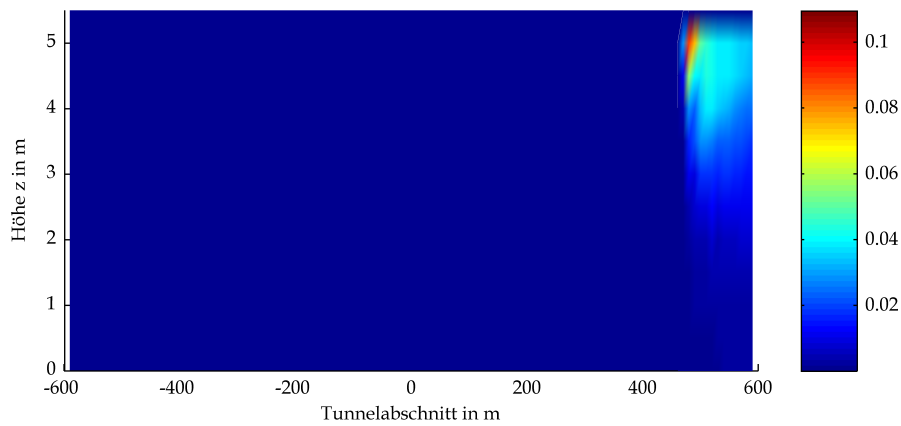


BAStBÜ Rechteck Neigung RV 300mL owF CO<sub>2</sub>-Gehalt in Masse-% bei t=1500s

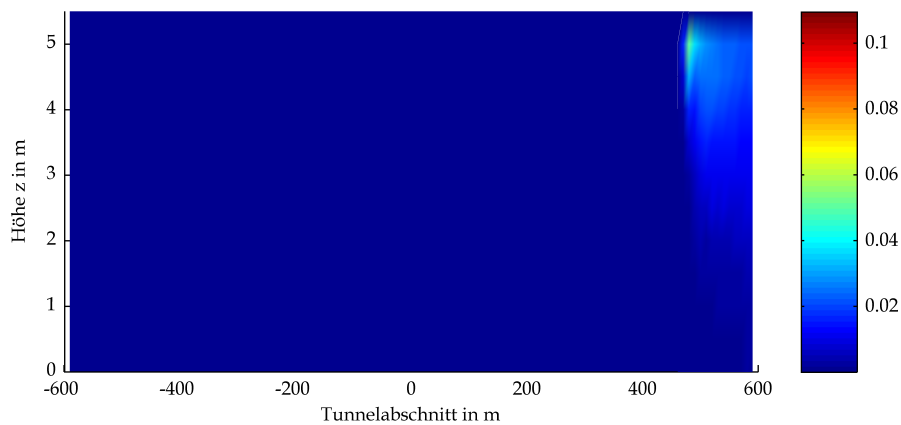


Mittels CFD-Berechnung ermittelte Kohlendioxidgehalte

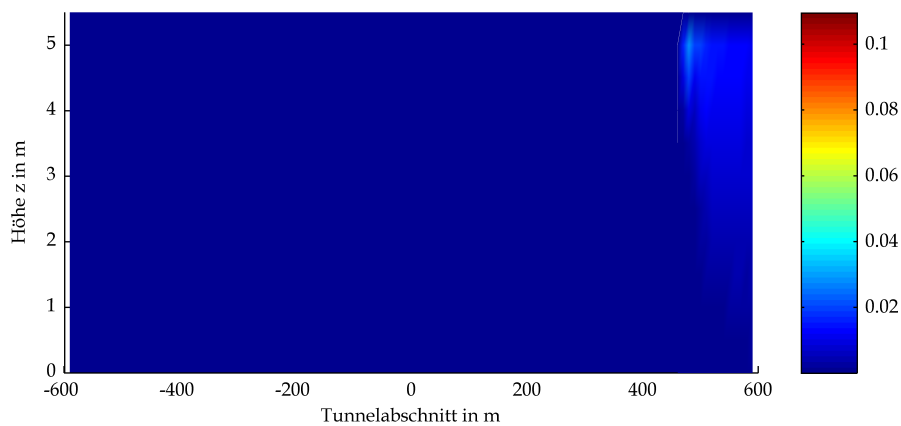
BAStBÜ Rechteck Neigung RV 300mL owF CO<sub>2</sub>-Gehalt in Masse-% bei t=1800s



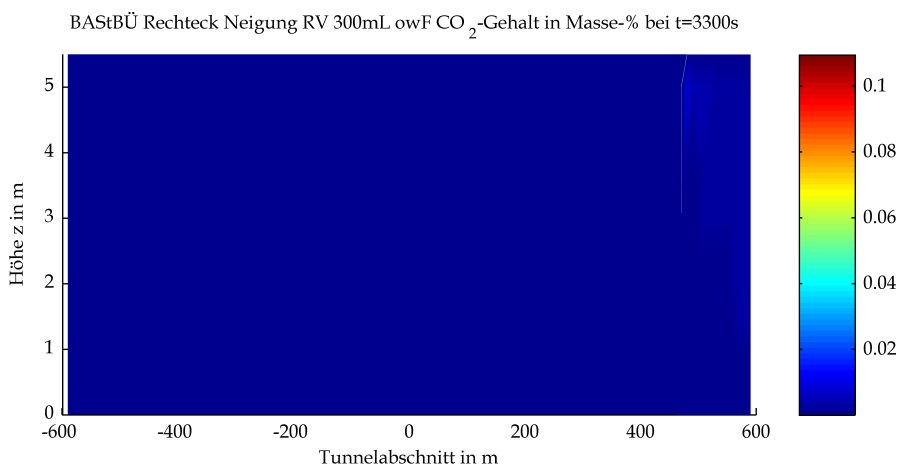
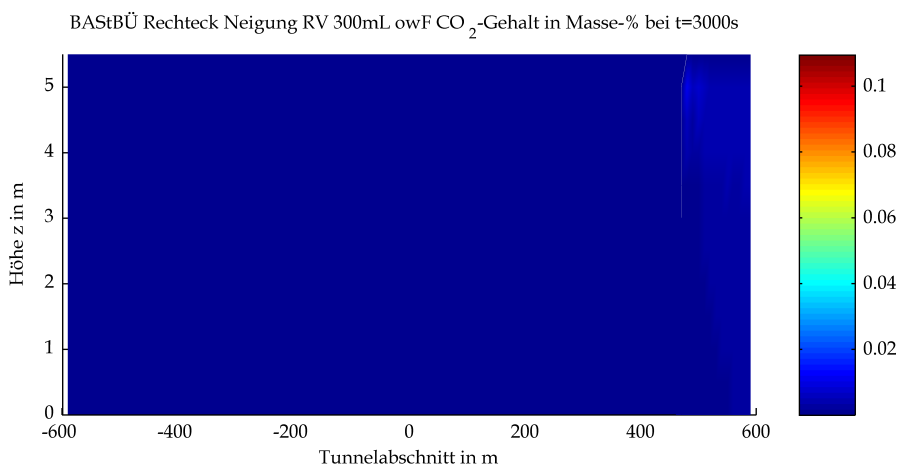
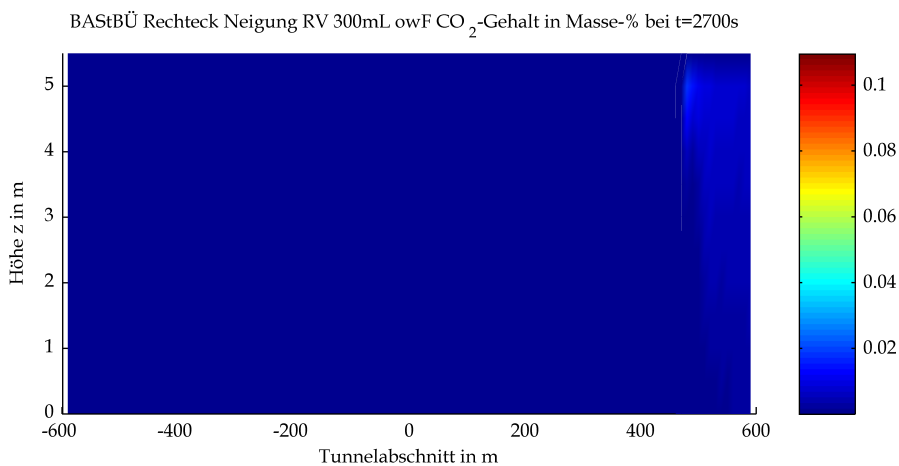
BAStBÜ Rechteck Neigung RV 300mL owF CO<sub>2</sub>-Gehalt in Masse-% bei t=2100s



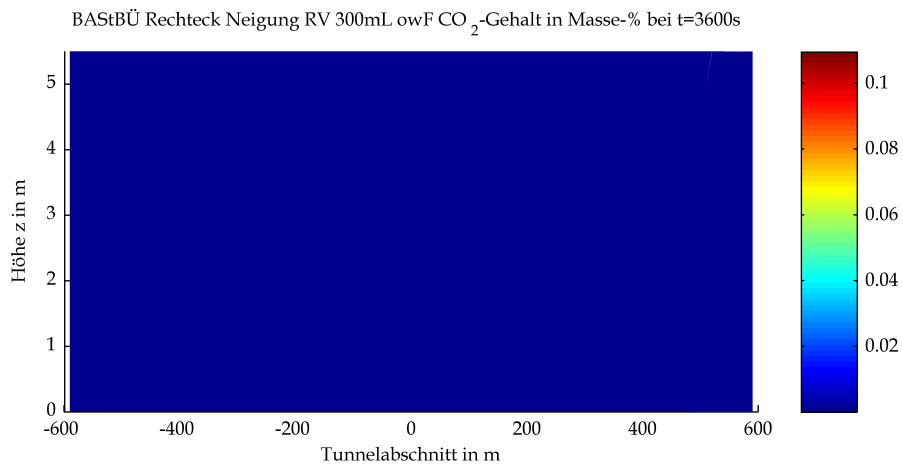
BAStBÜ Rechteck Neigung RV 300mL owF CO<sub>2</sub>-Gehalt in Masse-% bei t=2400s



Mittels CFD-Berechnung ermittelte Kohlendioxidgehalte

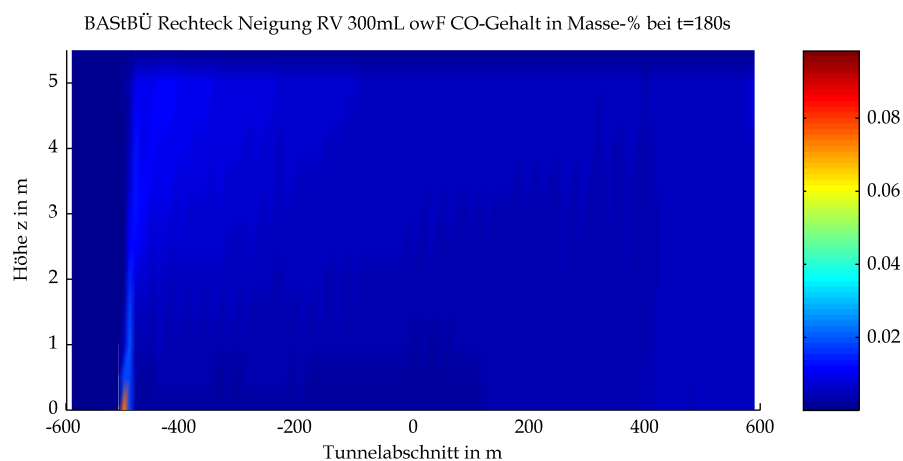
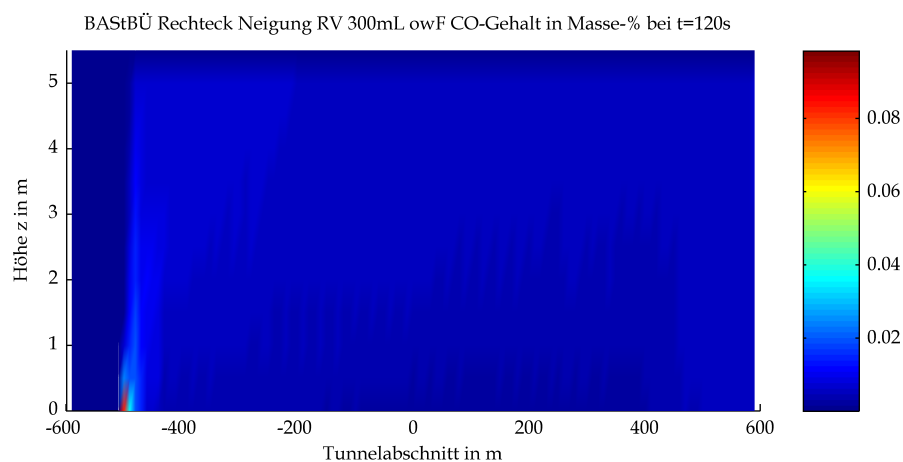
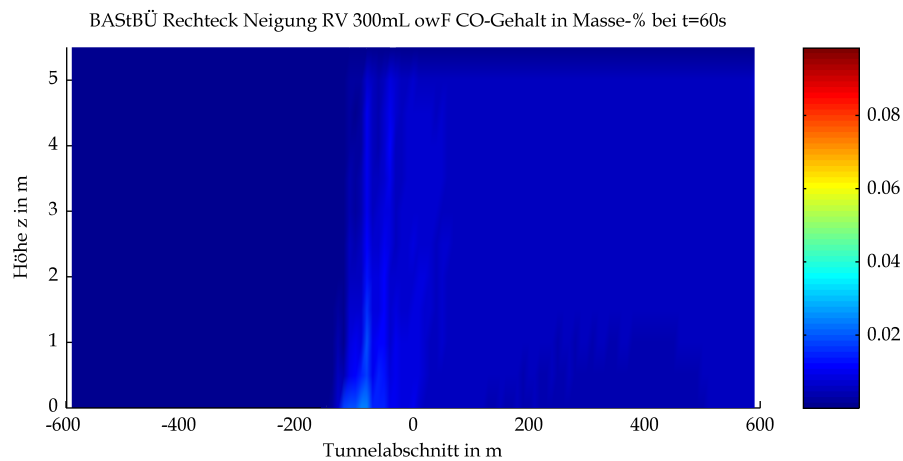


Mittels CFD-Berechnung ermittelte Kohlendioxidgehalte

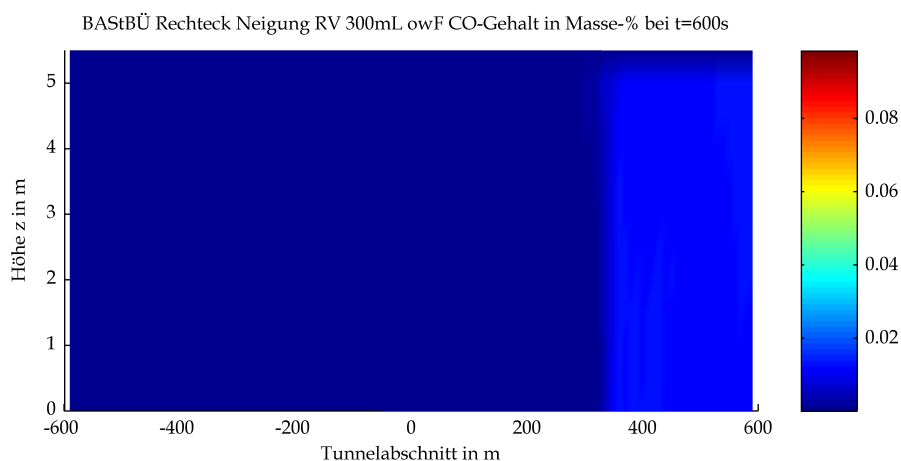
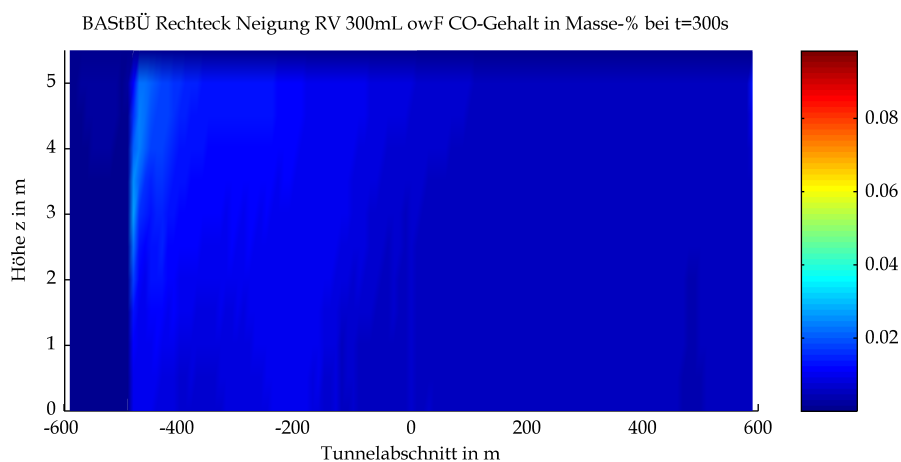
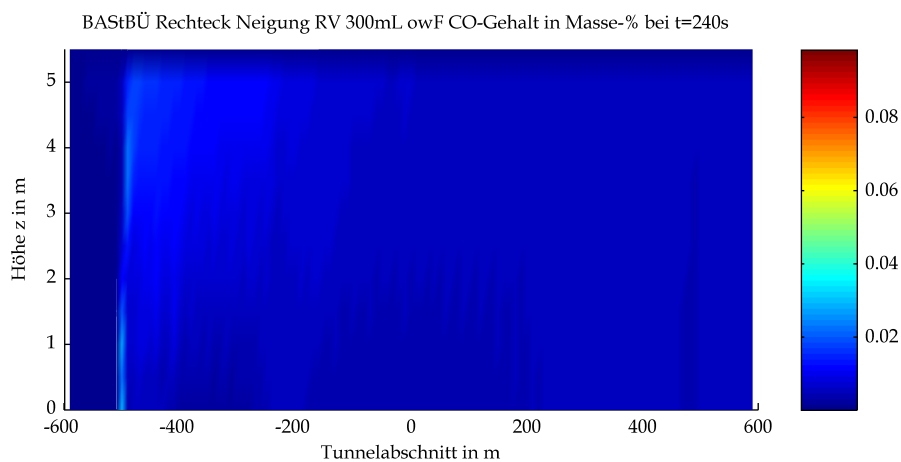


Mittels CFD-Berechnung ermittelte Kohlendioxidgehalte

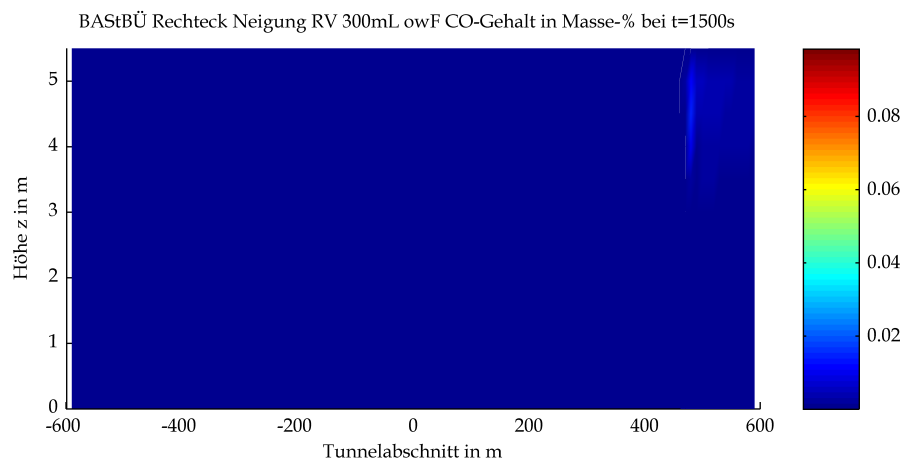
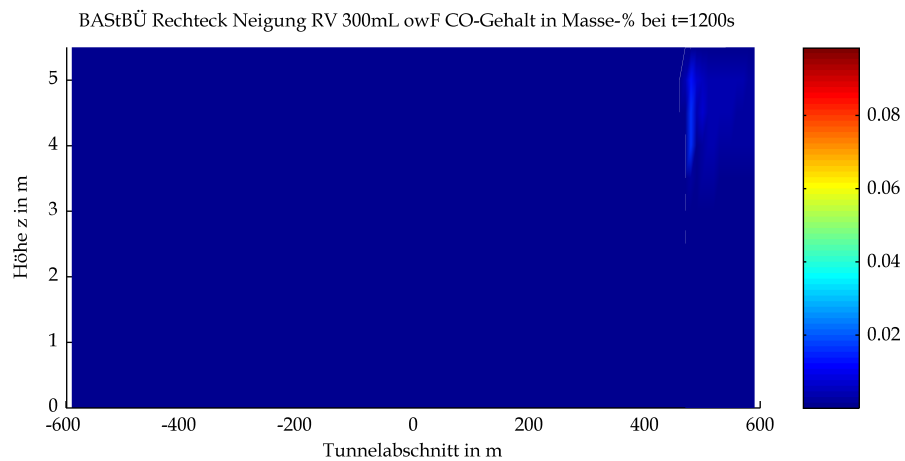
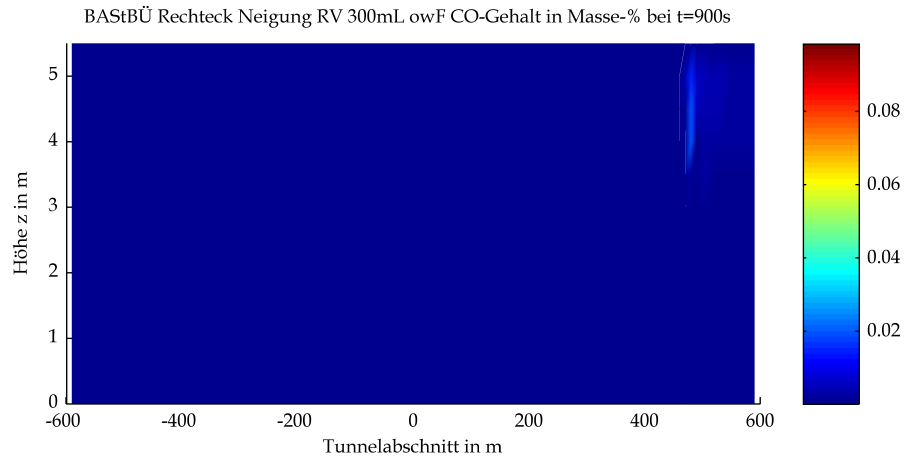
## 7 Kohlenmonoxidgehalt



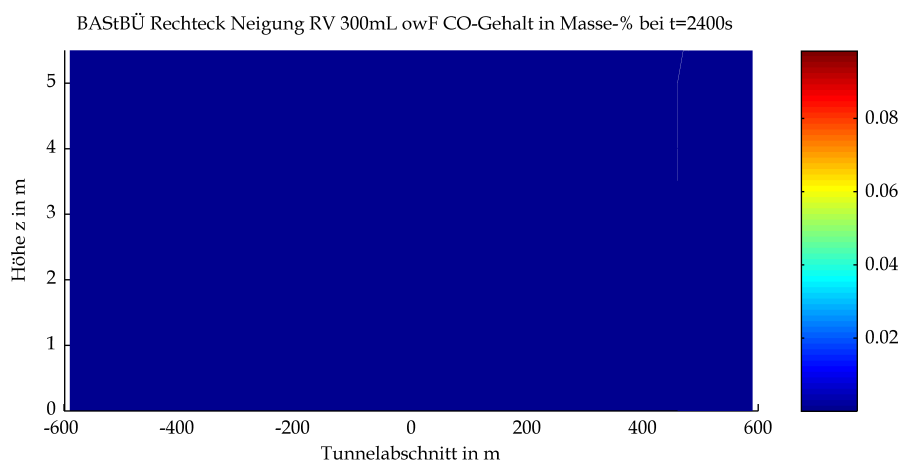
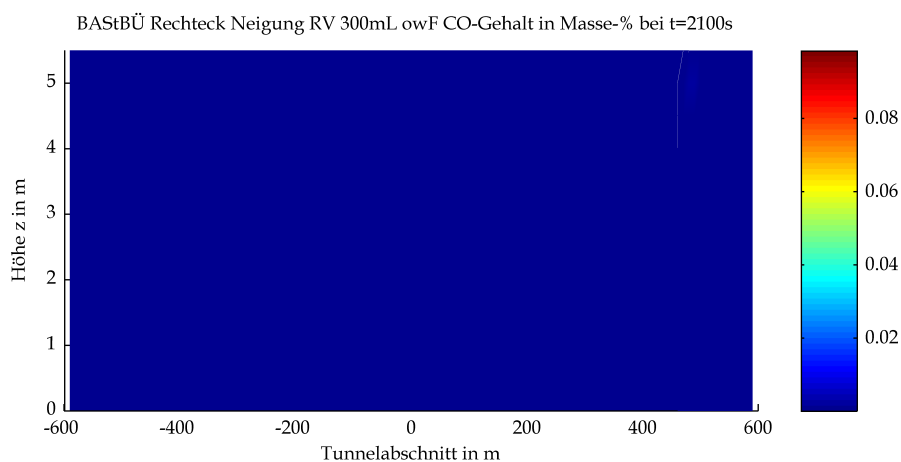
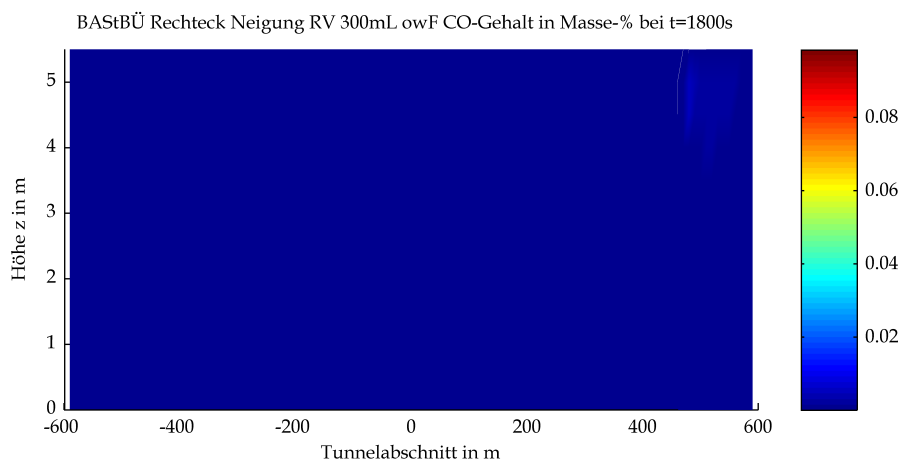
Mittels CFD-Berechnung ermittelte Kohlenmonoxidgehalte



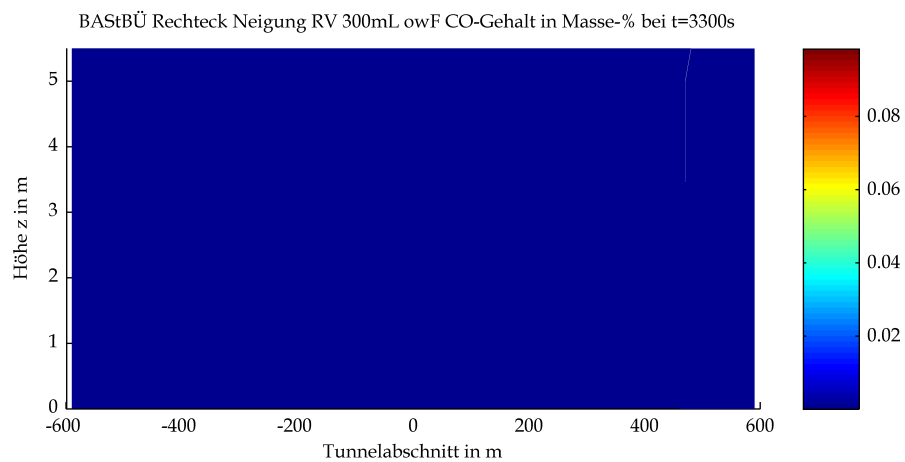
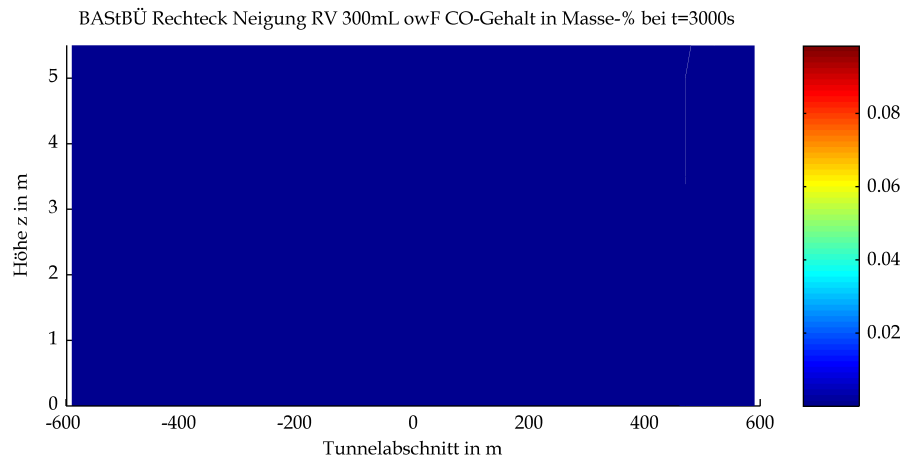
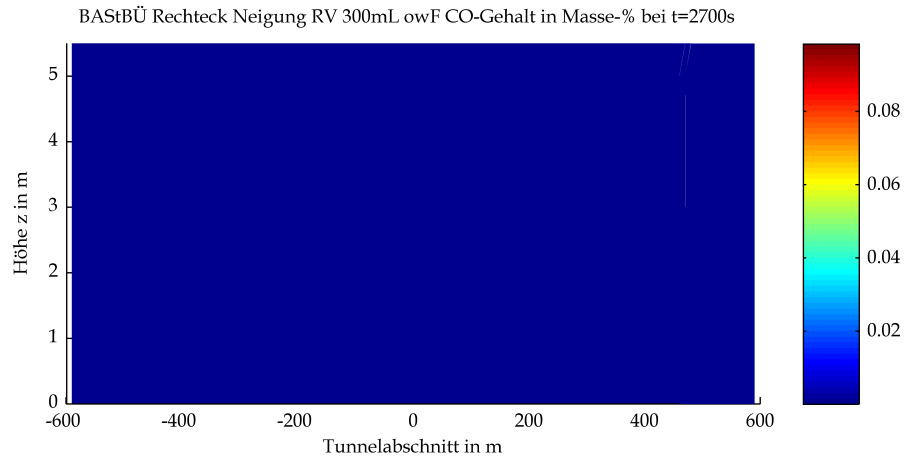
Mittels CFD-Berechnung ermittelte Kohlenmonoxidgehalte



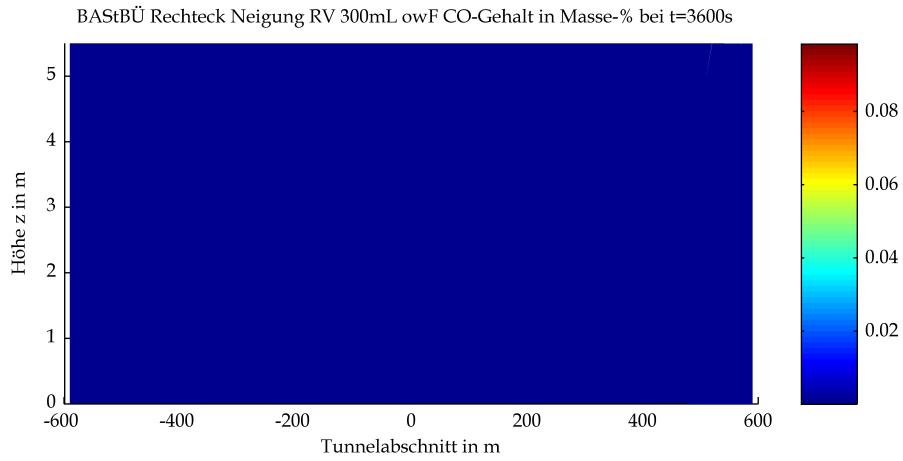
Mittels CFD-Berechnung ermittelte Kohlenmonoxidgehalte



Mittels CFD-Berechnung ermittelte Kohlenmonoxidgehalte

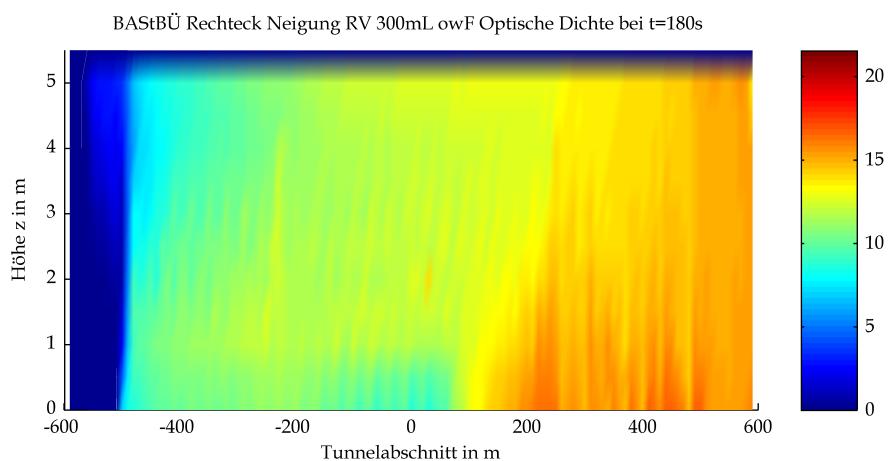
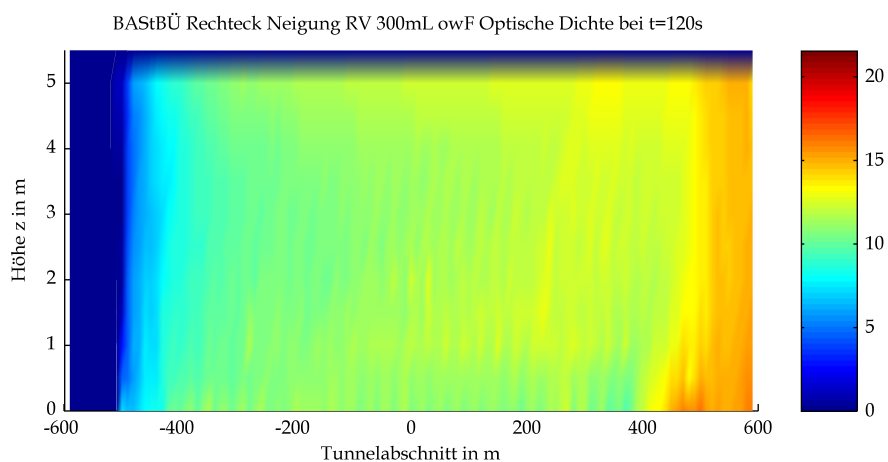
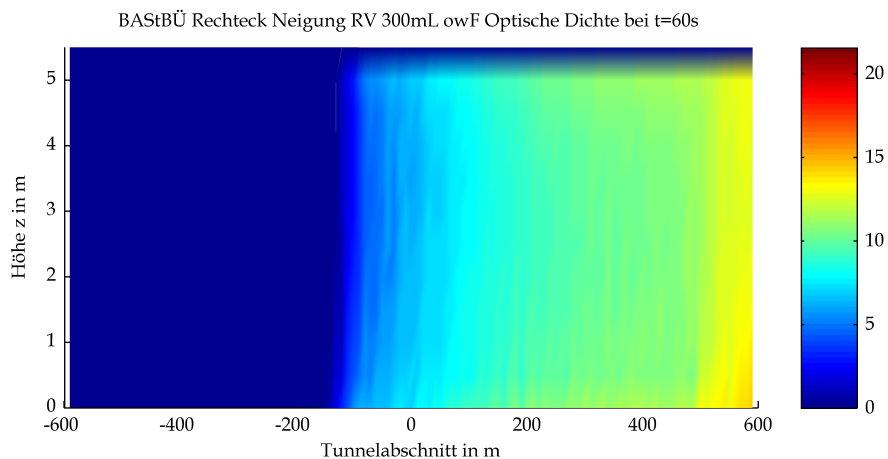


Mittels CFD-Berechnung ermittelte Kohlenmonoxidgehalte

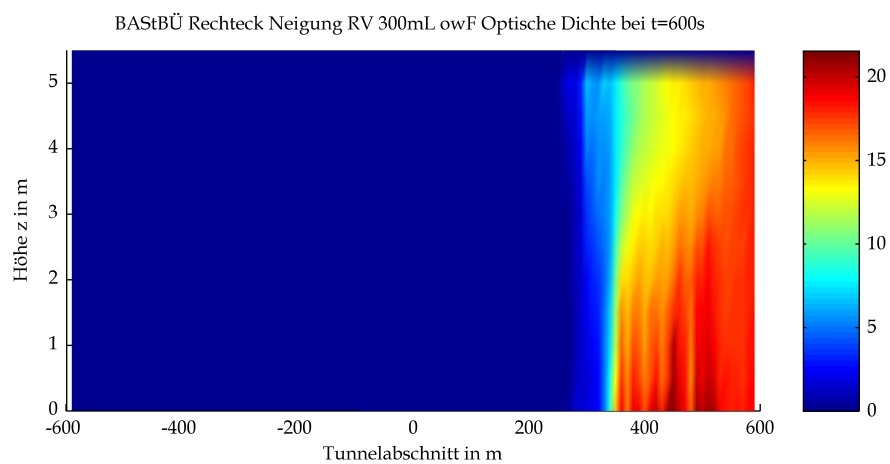
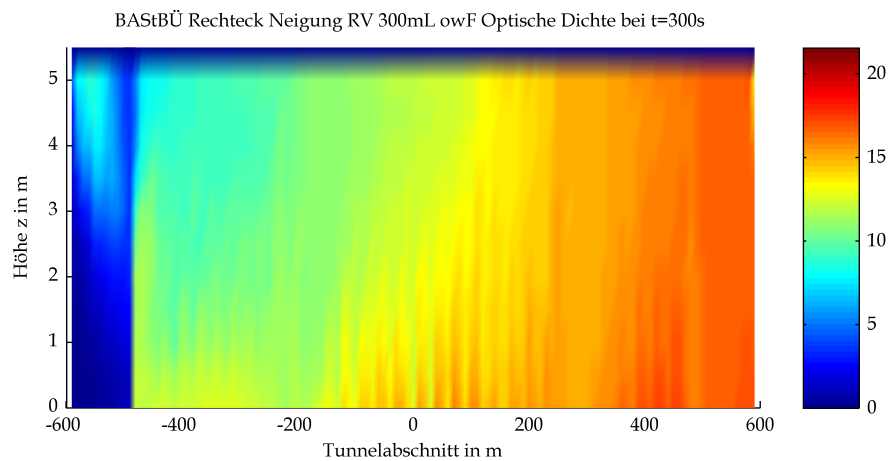
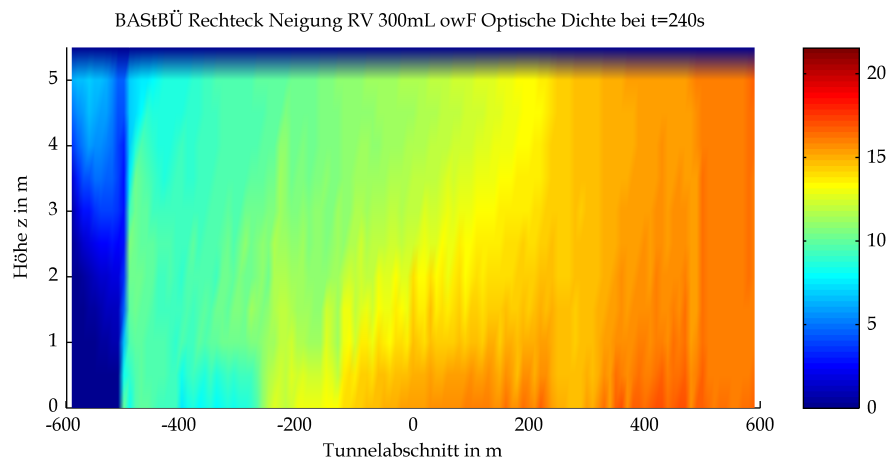


Mittels CFD-Berechnung ermittelte Kohlenmonoxidgehalte

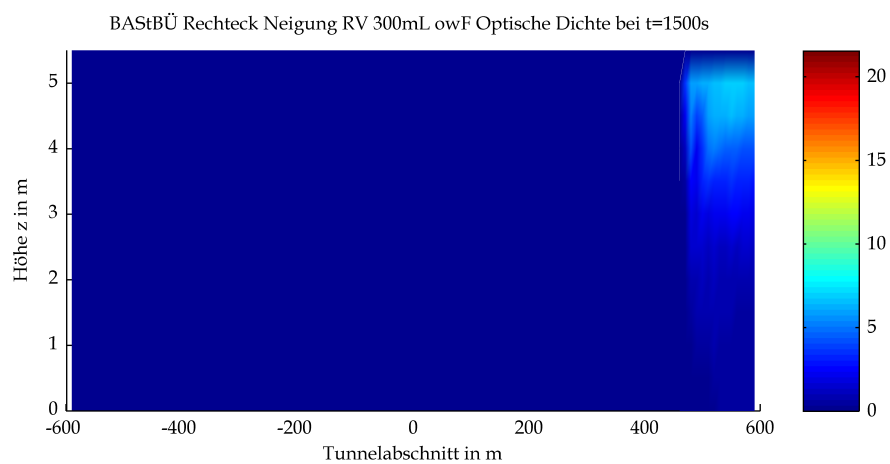
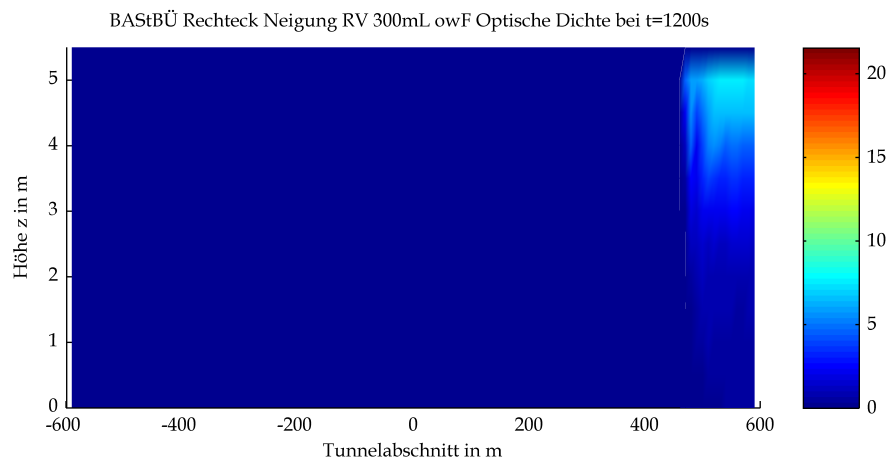
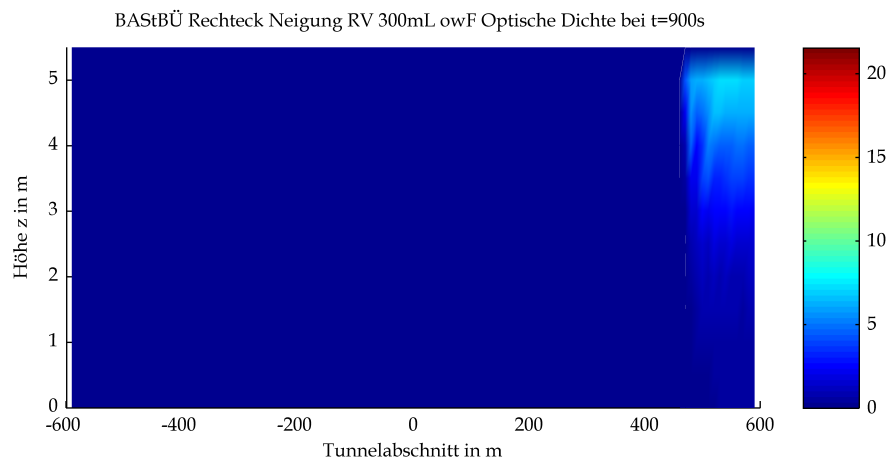
## 8 Optische Dichte



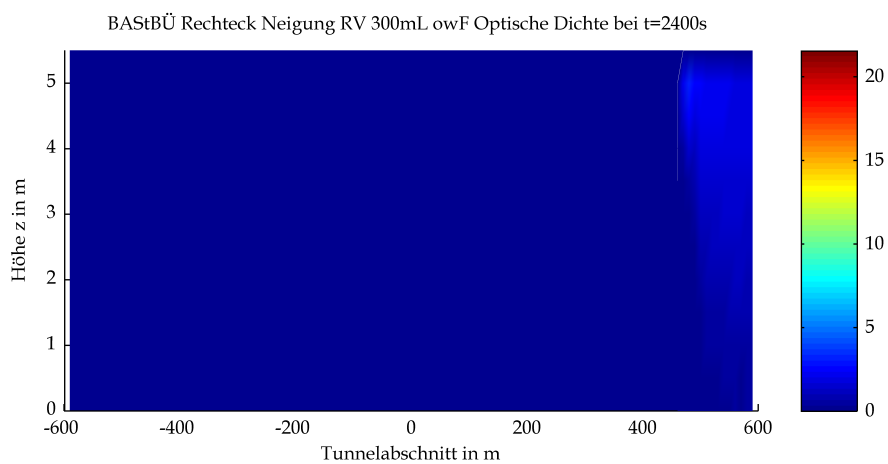
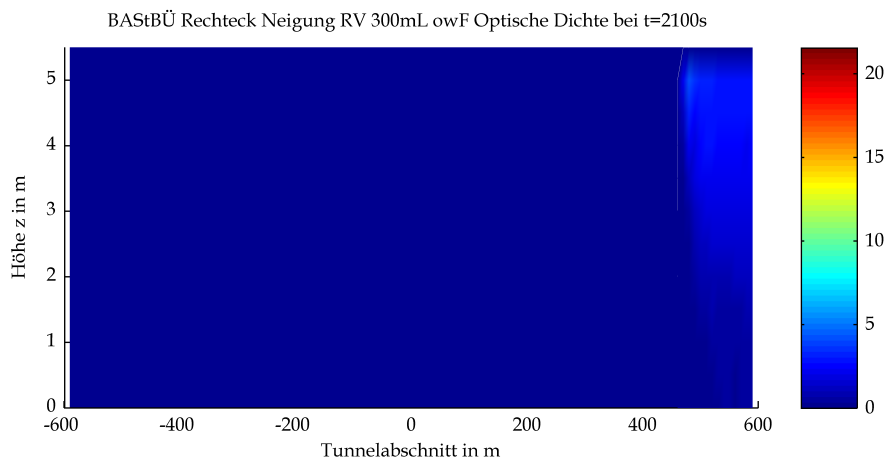
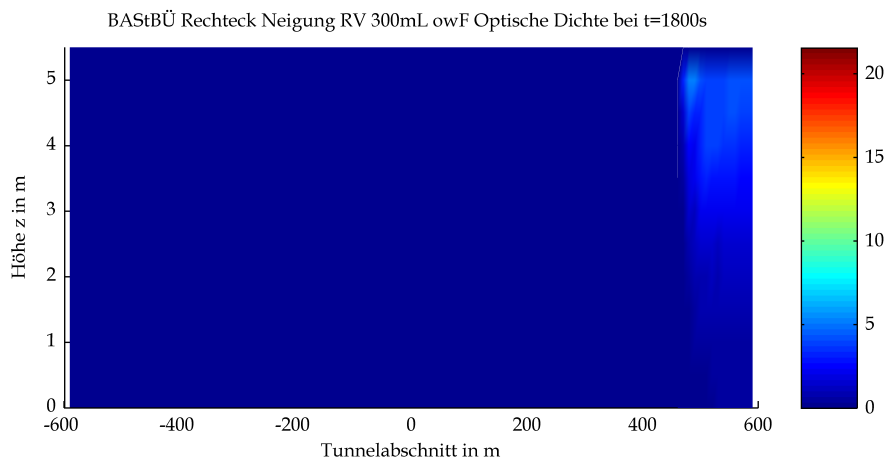
Mittels CFD-Berechnung ermittelte optische Dichten



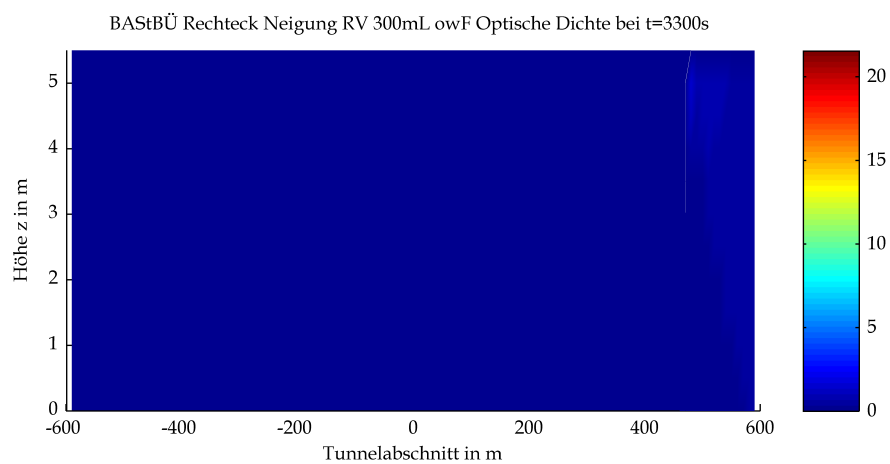
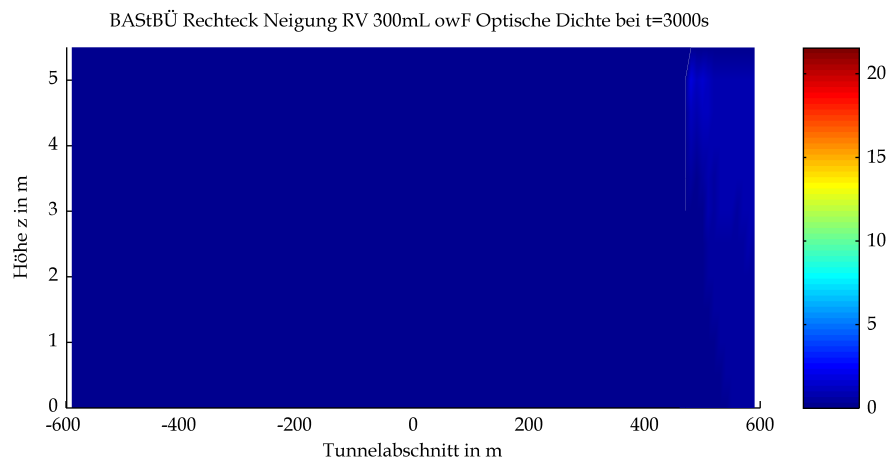
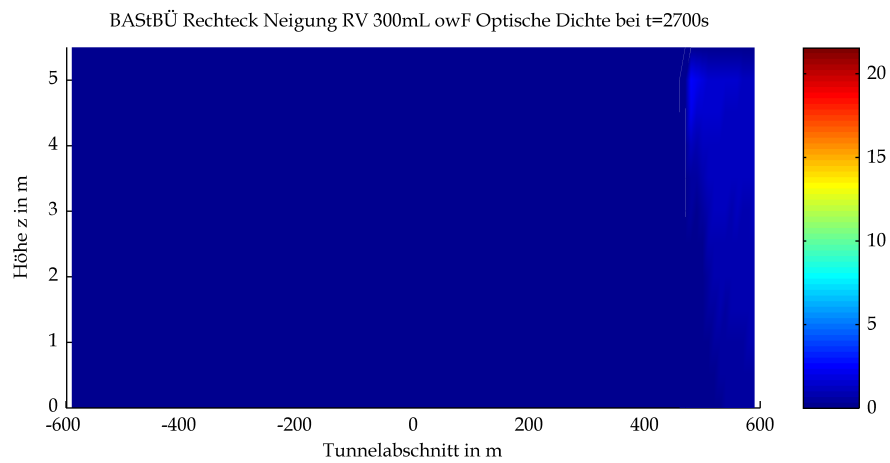
Mittels CFD-Berechnung ermittelte optische Dichten



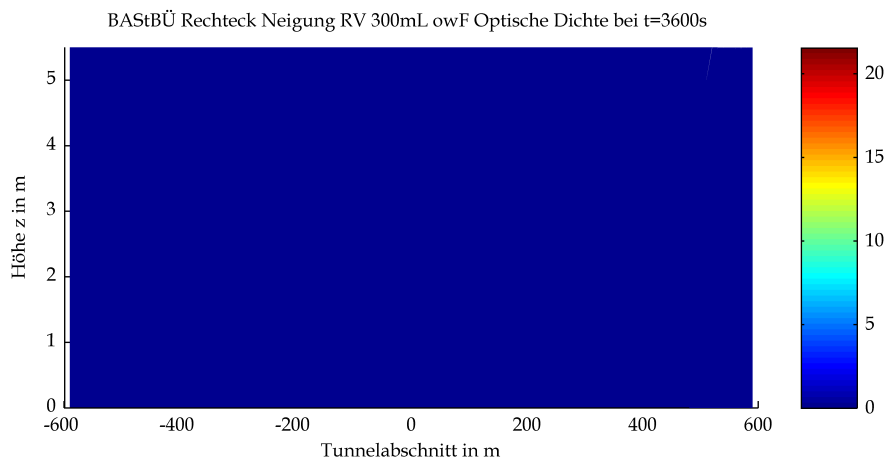
Mittels CFD-Berechnung ermittelte optische Dichten



Mittels CFD-Berechnung ermittelte optische Dichten

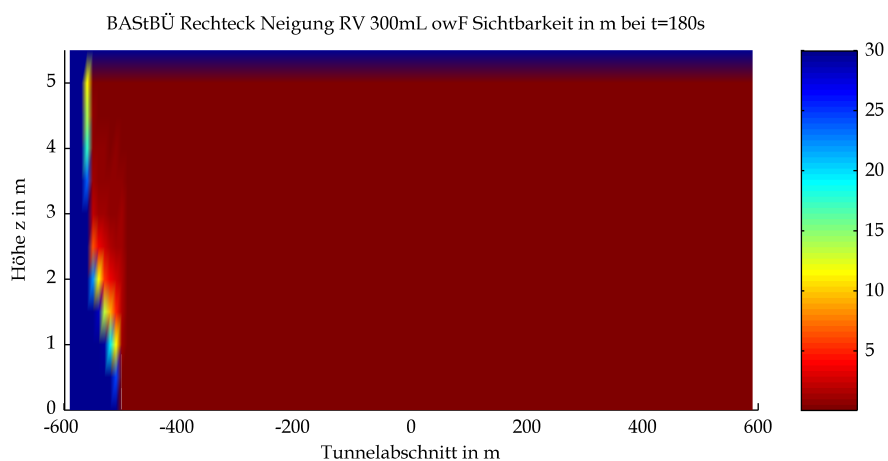
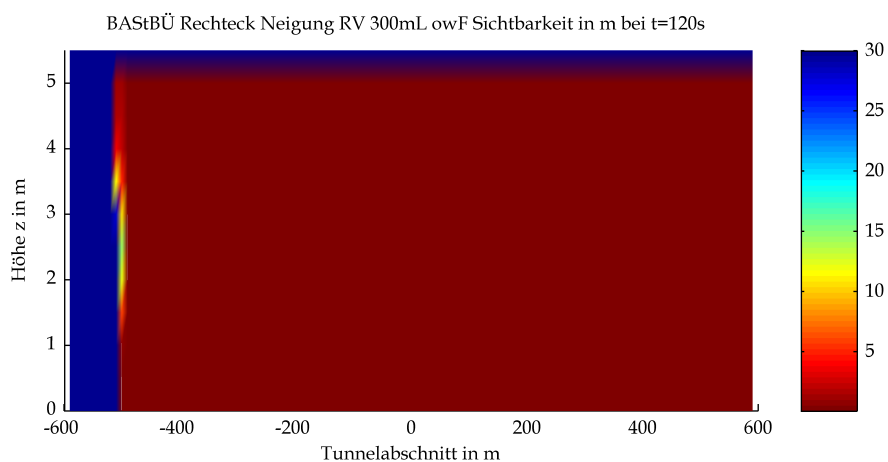
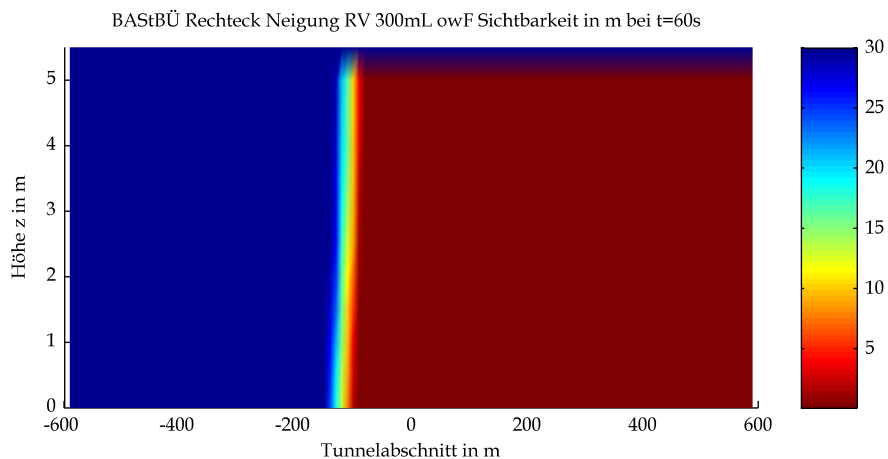


Mittels CFD-Berechnung ermittelte optische Dichten

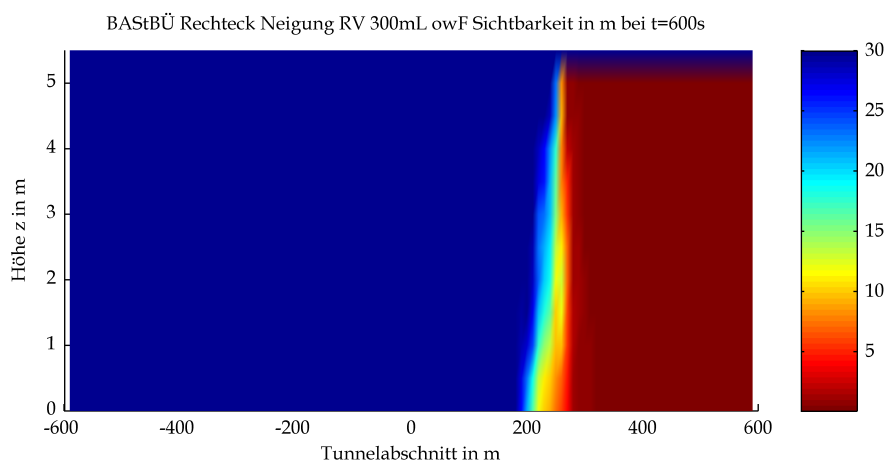
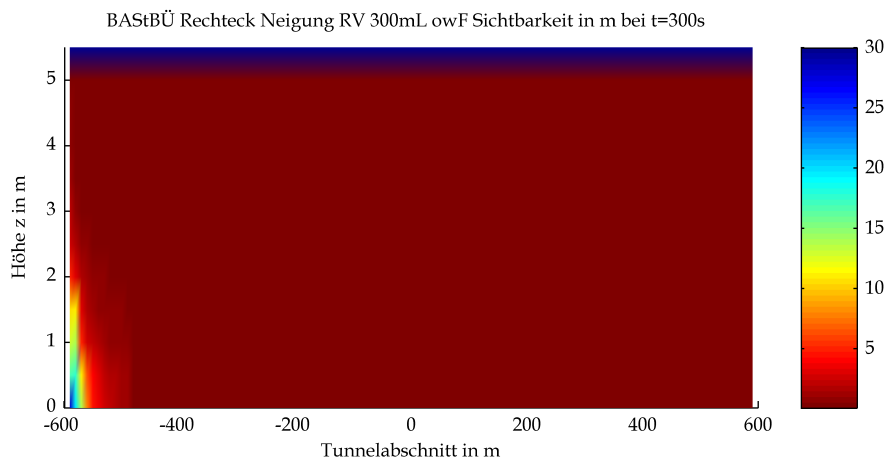
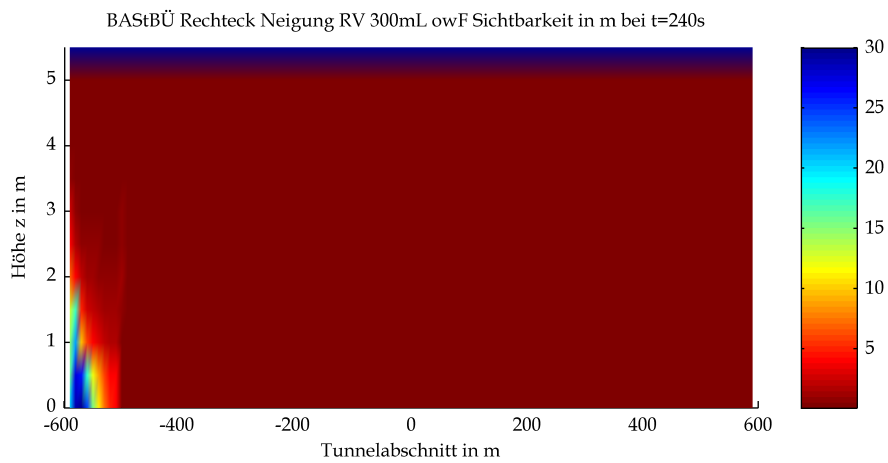


Mittels CFD-Berechnung ermittelte optische Dichten

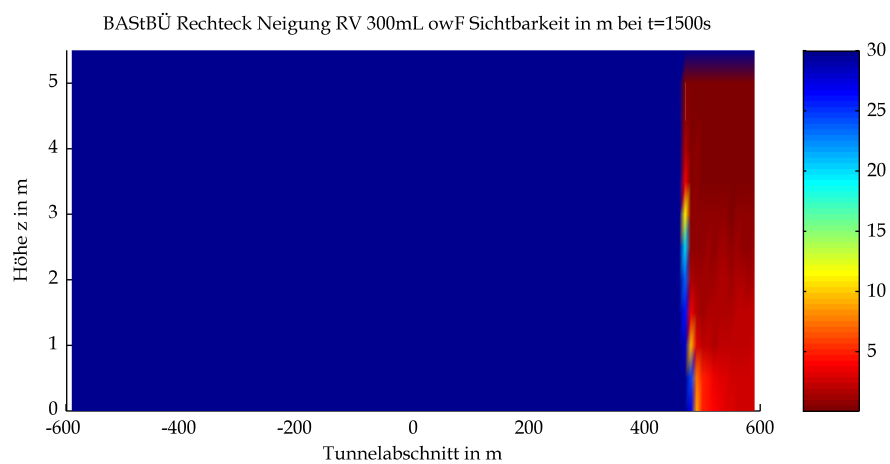
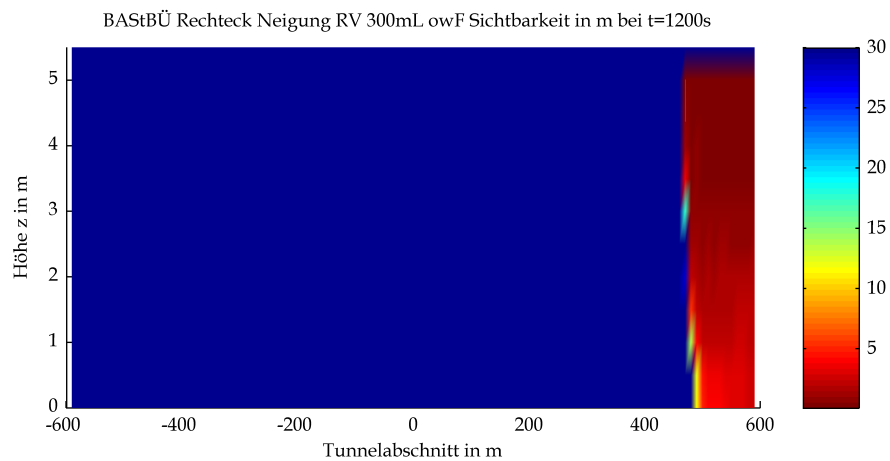
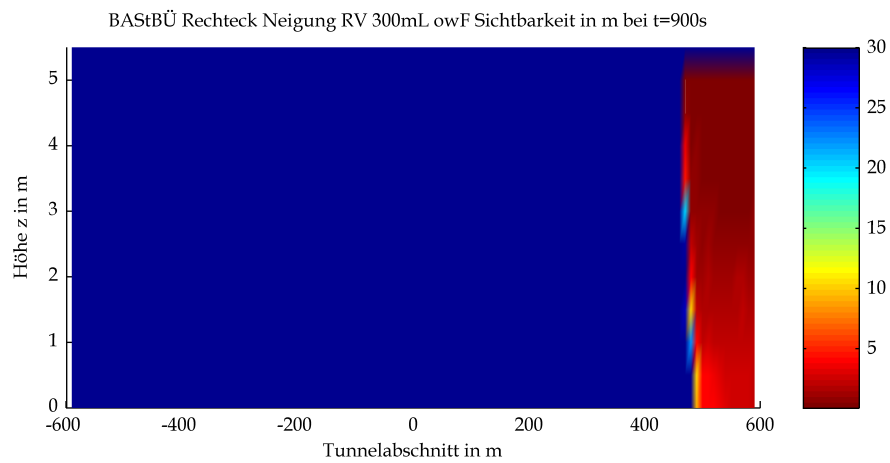
## 9 Sichtweiten



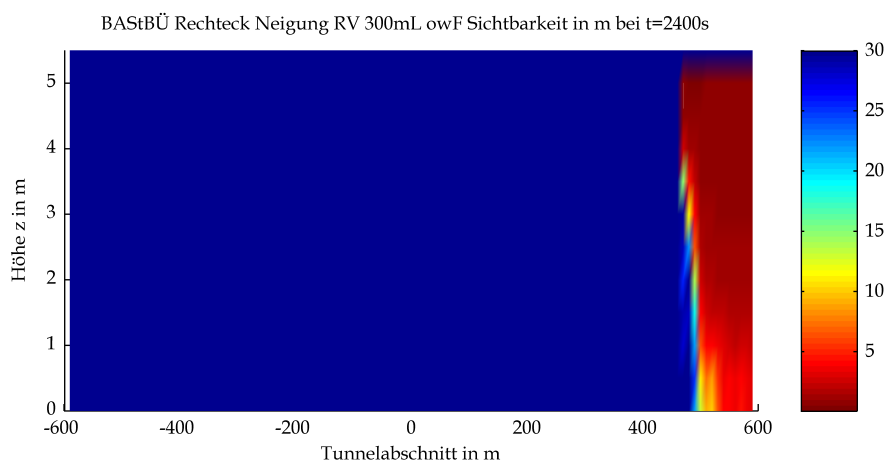
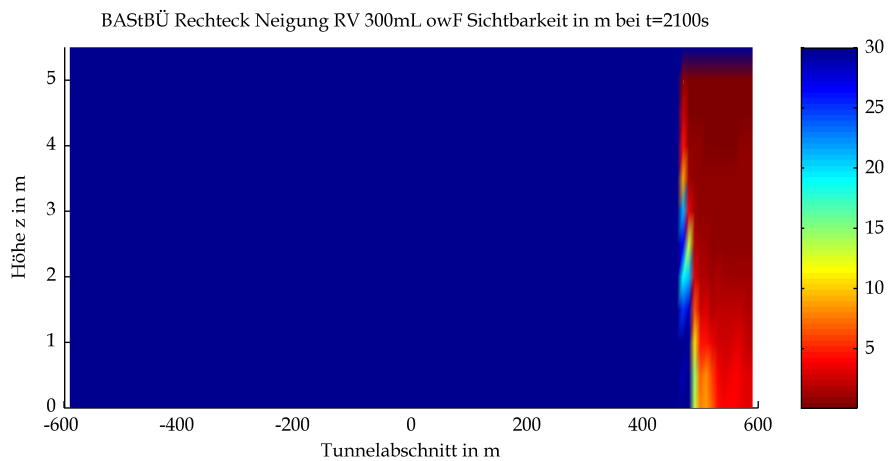
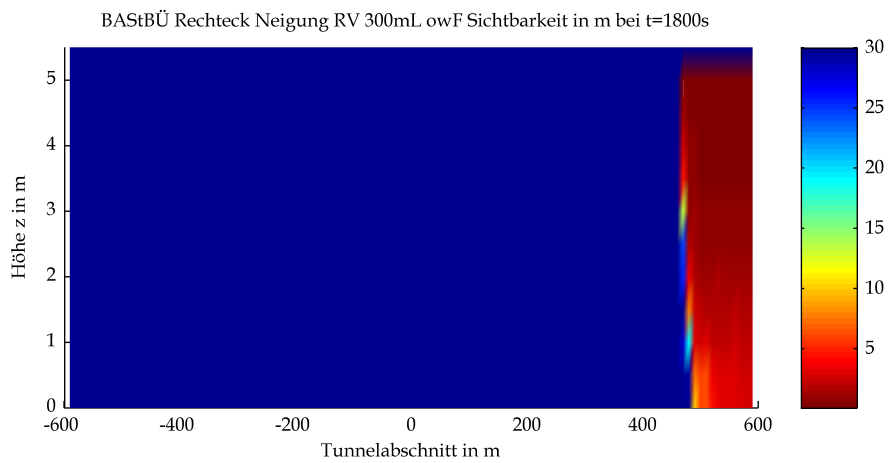
Mittels CFD-Berechnung ermittelte Sichtweiten



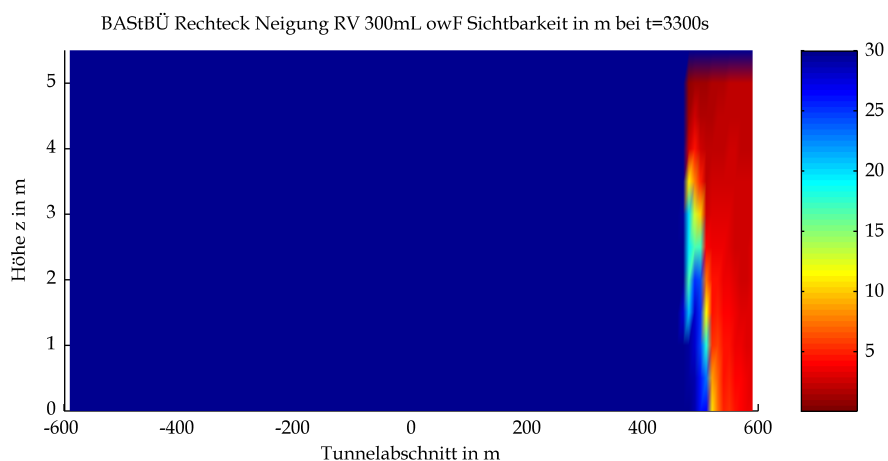
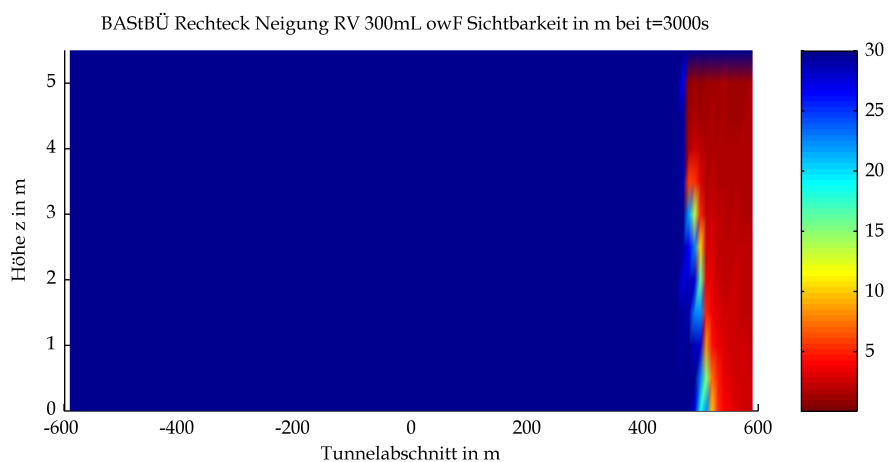
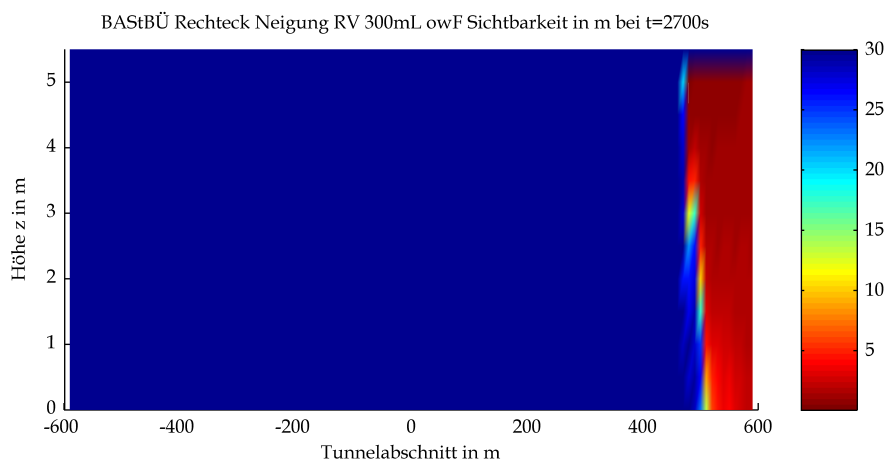
Mittels CFD-Berechnung ermittelte Sichtweiten



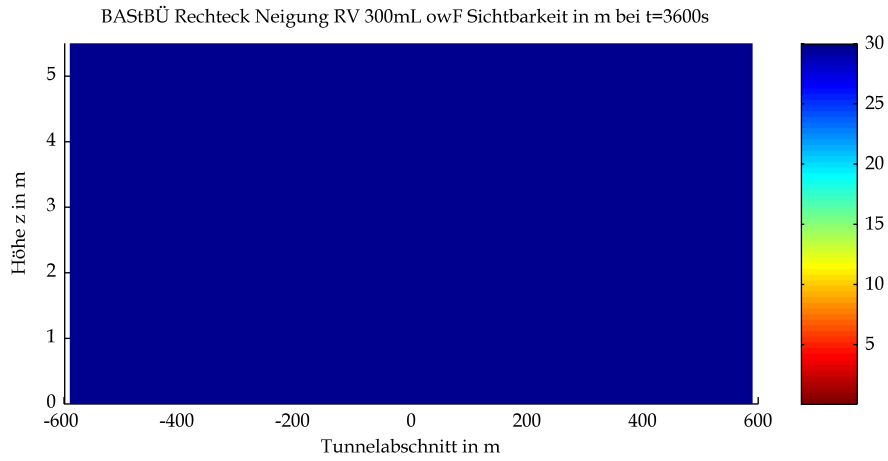
Mittels CFD-Berechnung ermittelte Sichtweiten



Mittels CFD-Berechnung ermittelte Sichtweiten

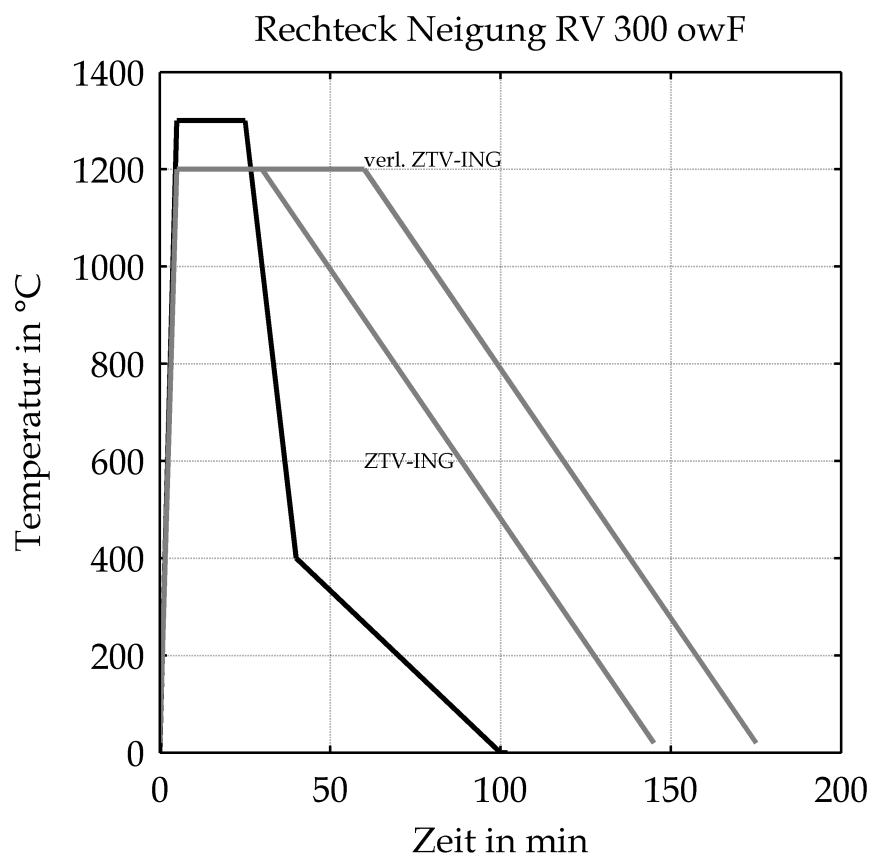


Mittels CFD-Berechnung ermittelte Sichtweiten



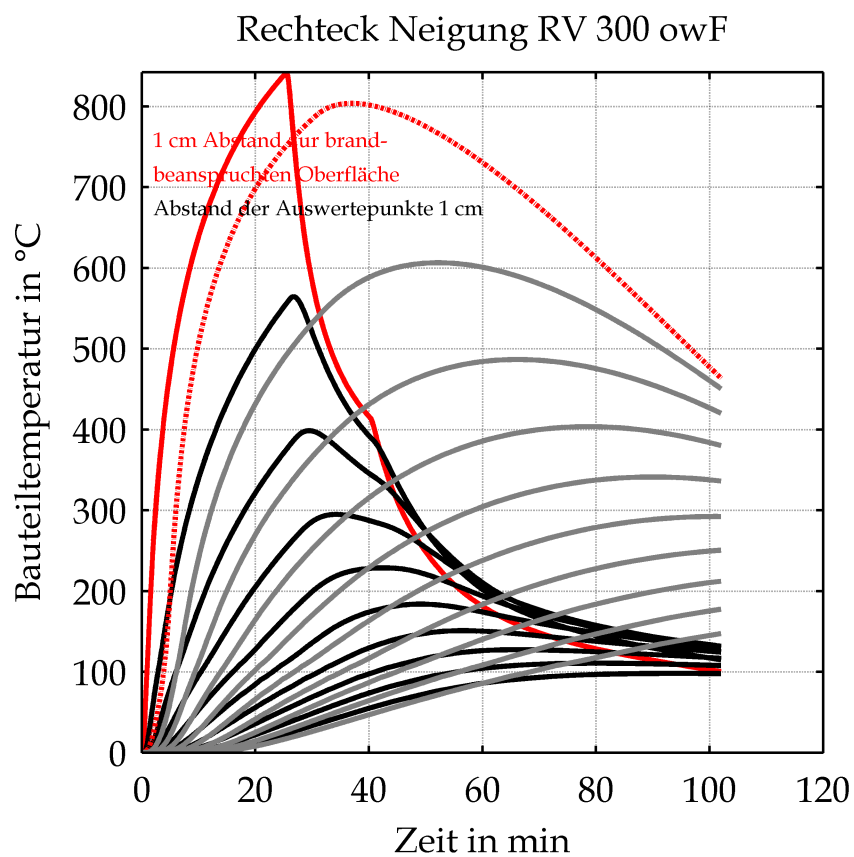
Mittels CFD-Berechnung ermittelte Sichtweiten

## IV Bewerteter Temperatur-Zeit-Verlauf



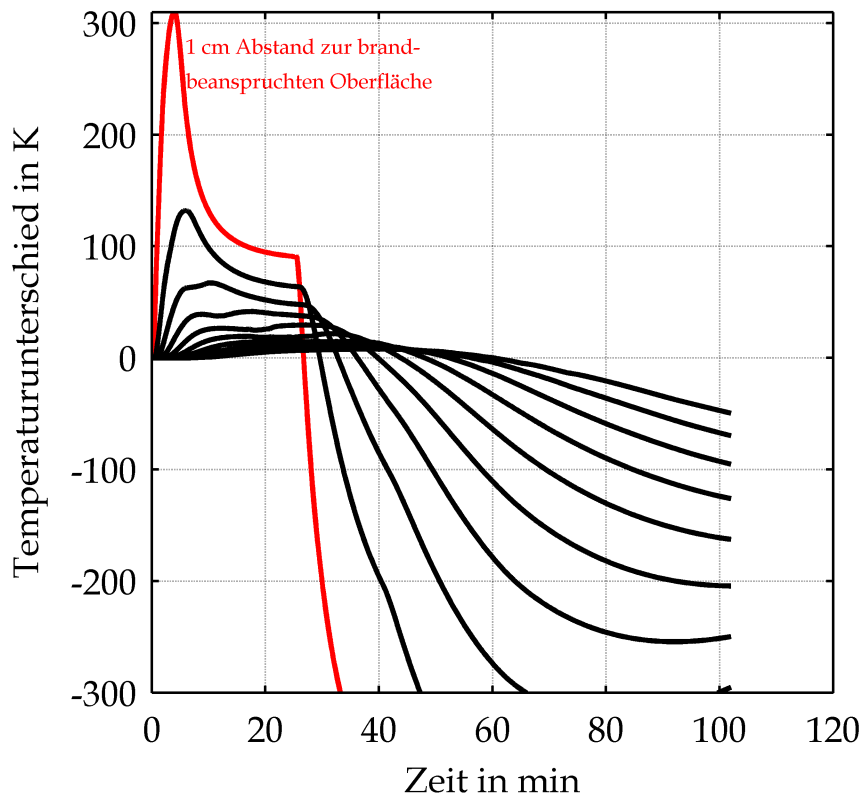
Bewerteter Temperatur-Zeit-Verlauf unter Berücksichtigung der Ventilationsbedingungen bzw. der Sauerstoffversorgung (schwarz) sowie Temperatur-Zeit-Verlauf nach ZTV-ING und RWS-Kurve (beide grau)

## V Durchwärmungsverhalten



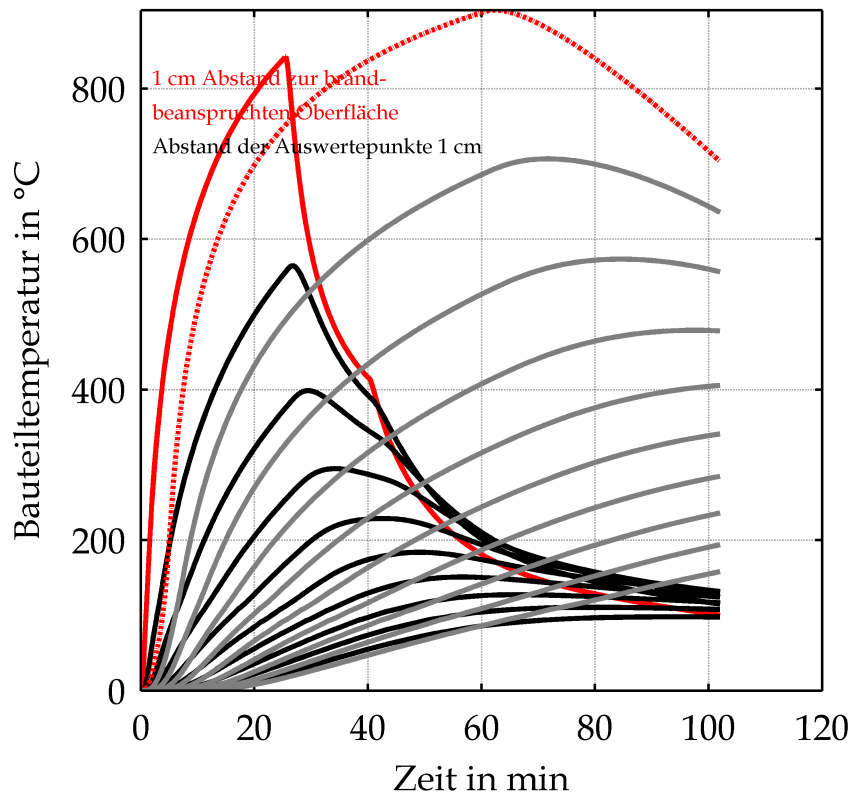
Bauteiltemperaturen in Abhängigkeit von der Zeit und dem Abstand zur Bauteiloberfläche für den bewerteten Temperatur-Zeit-Verlauf (rot und schwarz) und infolge ZTV-ING-Temperatur-Zeit-Kurve (rot gestrichelt, grau)

### Rechteck Neigung RV 300 owF

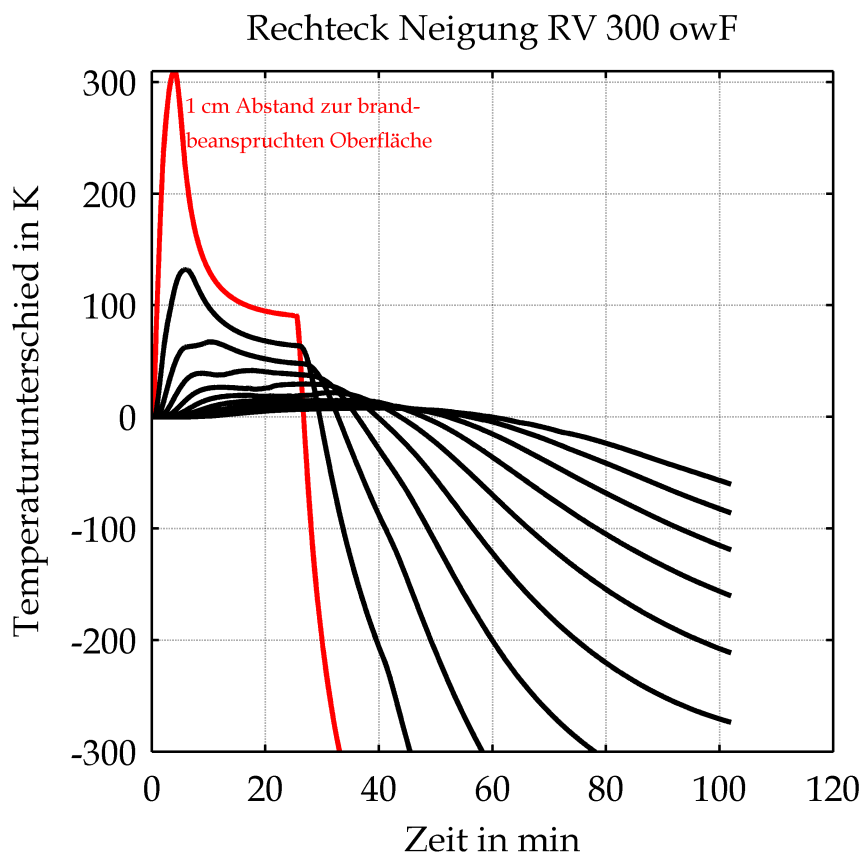


Temperaturdifferenz in Abhängigkeit von der Zeit und dem Abstand zur Bauteiloberfläche zwischen den Bauteiltemperaturen infolge des bewerteten Temperatur-Zeit-Verlauf und der ZTV-ING-Temperatur-Zeit-Kurve

### Rechteck Neigung RV 300 owF



Bauteiltemperaturen in Abhängigkeit von der Zeit und dem Abstand zur Bauteiloberfläche für den bewerteten Temperatur-Zeit-Verlauf (rot und schwarz) und infolge verlängerter ZTV-ING-Temperatur-Zeit-Kurve (rot gestrichelt, grau)



Temperaturdifferenz in Abhängigkeit von der Zeit und dem Abstand zur Bauteiloberfläche zwischen den Bauteiltemperaturen infolge des bewerteten Temperatur-Zeit-Verlauf und der verlängerten ZTV-ING-Temperatur-Zeit-Kurve